

وزارة التعليم و البحث العلمي
MINISTRE DE L'ENSEIGNEMENT ET DE LA RECHERCHE SCIENTIFIQUE

المدرسة الوطنية للعلوم الهندسية
ECOLE NATIONALE POLYTECHNIQUE D'ALGER

DEPARTEMENT : GENIE-CIVIL

PROJET DE FIN D'ETUDES

THEME

BATIMENT ADMINISTRATIF

R + 7

Proposé par :

Etudié par : NATIONAL POLYTECHNIC LIBRARY

Dirigé par:

TAZEN El-Hadi

ZOUAD Abdelkader

Promotion : Janvier 1985

الجمهوريّة الجزائريّة الديمقربطية الشعبيّة
REPUBLIQUE ALGERIENNE DEMOCRATIQUE ET POPULAIRE

وزارة التعليم و البحث العلمي
MINISTÈRE DE L'ENSEIGNEMENT ET DE LA RECHERCHE SCIENTIFIQUE

المدرسة الوطنية للعلوم الهندسية
ECOLE NATIONALE POLYTECHNIQUE D'ALGER

DEPARTEMENT : GENIE-CIVIL

PROJET DE FIN D'ETUDES



Proposé par :

Etudié par :

Dirigé par:

TAZEN El-Hadi
ZOUAD Abdelkader

Promotion : Janvier 1985



بِسْمِ اللَّهِ الرَّحْمَنِ الرَّحِيمِ

REMERCIEMENTS

Chères personnes à présenter nos plus sincères
remerciements.

A. M^e Sahraoui Samira pour ses encouragements
M^r Randani Mohamed pour son aide si précieuse
M^r Dahdoune Youcef pour sa collaboration
si amicale.

notre sympathie et profonde reconnaissance à
M^r Touati Ahmed Yagid pour l'assistance
technique qu'il nous a assurée.

El Othadi - Abdelkader

DEDICACES

je dedie cet ouvrage

A . la mémoire de mon père

ma mère

mes frères Touffik et Omar

ainsi que tous mes amis (ies)

El Hadi



DEDICACES

je dedie ce Travail

A .

Ma mère ,
mon père ,
mes frères et soeurs ,
tous mes cousins et cousines ,
ainsi qu'à tous mes amis(ies)

Abdelkader



TABLE DES MATIERES

Introduction

Présentation de l'ouvrage	1
caractéristiques des matériaux	2
charges et surcharges	3

Calcul des éléments

Acrotère	4
poutrelles	6
escaliers	12
palier extérieur	15

BLOC_A

prédimensionnement	18
calcul des efforts sous charges verticales	21
calcul des rigidités	28

Etude au séisme

Introduction	36
calcul des efforts sismiques	41

Superposition des sollicitations

Ferraillage des poutres	65
-------------------------	----

Ferraillage des poteaux	75
-------------------------	----

BLOC_B

prédimensionnement	90
calcul des efforts sous charges verticales	91
calcul des rigidités	96

Etude au séisme

Superposition des sollicitations	121
----------------------------------	-----

Ferraillage des poutres	128
-------------------------	-----

Ferraillage des poteaux	136
-------------------------	-----

Calcul des fondations	142
-----------------------	-----

Verification au renversement	153
------------------------------	-----

Longrine - Voile périphériques	154
--------------------------------	-----

plancher : à l'exception des planchers du RDC cette ligne
 offre plusieurs de types de plancher du RDC jusqu'à la dernière ligne
 dont certains sont fabriqués dans les autres lignes.

Acier : on utilise de l'acier - doux

- 175 kg d'acier
 - 350 kg de ciment C.P.B 325
 - 800 f de gravillons J₃ < 25 mm
 - 300 f de sable J₅ < 5 mm

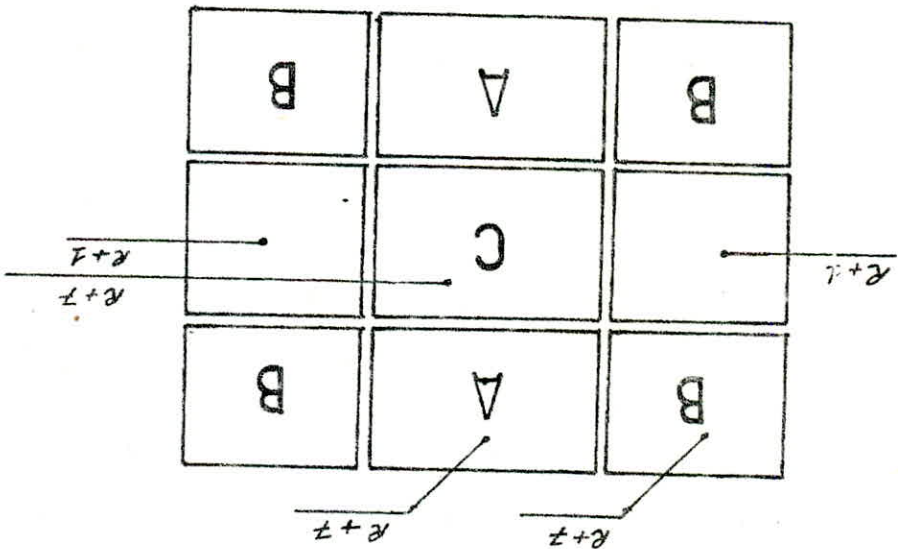
Bétonnage : conforme aux normes C.C.R.A.68 de la toute cette région montagneuse en

deux étages travail sur 30 f.
 Depuis les renouvellements futurs pour le BEUREG, sera également
 nécessaire de profondes (terrains rocheux, non remanié)

lorsque déclencheur difficile forme de fondation de 3,5 mètres à
 hauteur des niveaux de chantier = 3,75 m.

Autre bâtiement est parfaire, à 2,5 m en profondeur sans violer
 dalle empêche de pénétrer - pouilleux.

Des blocs (A.B.C) ont une hauteur de 3,95 m chacun.



Le projet de fin détaillé qui nous a été confié, pour le BEUREG
 consiste à établir la structure ferme dans les deux derniers

Le bâtiment sera implanté dans la région d'ALGER. (Zone II)

à comparez les blocs séparés pour desormais de différentes

Présentation de Louvragé

Caractéristiques des matériaux

Béton : contraintes admissibles

contraintes	$\bar{\epsilon}_{ba}$	$\bar{\epsilon}_b'$	$\bar{\epsilon}_b''$	$\bar{\epsilon}_b'''$
unités	bars	kg/cm^2	bars	kg/cm^2
Sous SP1	67,5	68,85	135	137,7
Sous SPC	101,25	103,275	204,5	206,55

Aciers : $\bar{\epsilon}_a = f_a \epsilon_{em}$: $f_a = 1/3$ sous SP1 $f_a = 1$ sous SPC

nature	ronds fines		haute adhérence		
puissance Δ	FeE24		FeE40 $\phi \leq 20$	FeE40 $\phi > 20$	
unités	bars	kg/cm^2	bars	kg/cm^2	bars
6en	2350	2400	4120	4200	3920
$\bar{\epsilon}_a$	SP1	1567	1600	2747	2800
	SPC	2350	2400	4120	4200

Sollicitations pondérées

G : sollicitations dues à la charge permanente.

P : sollicitations dues aux surcharges d'exploitation. y compris les majorations éventuelles pour l'effet dynamique.

V : sollicitations dues aux surcharges climatiques normales.

W : sollicitations dues aux surcharges climatiques extrêmes.

T : sollicitations dues aux effets de la température et au retrait ?

SI : sollicitations dues au séisme.

Sollicitation totale pondérée du 1^{er} genre: $S_1 = G + 1,2P + T$

$$S'_1 = G + P + V + T$$

Sollicitation totale pondérée du 2^{me} genre: $S_2 = G + 1,5P + 1,5V + T$

$$S'_2 = G + P + \gamma_W W + T$$

$$S''_2 = G + P + T + SI$$

$$\gamma_W = 1,1 - 0,5 \left(\frac{P_{\max}}{G} \right) \text{ si } \frac{P_{\max}}{G} < 0,26$$

$$\gamma_W = 1 \text{ dans le cas contraire.}$$

P_{\max} = la sollicitation maximale développée par les surcharges d'exploitation

Charges et surcharges

charges permanentes :
plancher terrasse :

5cm gravier	90	kg/m^2
Etanchéité multicouche	10	"
pare-Vapeur	5	"
4cm de liège	16	"
pare-Vapeur	5	"
forme de pente 10cm	260	"
table de compression + hourdis	330	"
enduit et plâtre 2cm	30	"
	<hr/>	
	$G_T = 706$	kg/m^2

plancher étage courant :

carrelage	44	kg/m^2
mortier de pose	40	"
sabot	36	"
table de compression + hourdis	330	"
enduit + plâtre	30	"
cloisons	75	"
	<hr/>	
	$G_{EC} = 555$	kg/m^2

plancher RDC

carrelage	44	kg/m^2
mortier déposé	40	"
sabot	36	"
dalle pleine B.A 15cm	375	"
cloisons	75	"
	<hr/>	
	$G_{RDC} = 570$	kg/m^2

Surcharges :

batiment à usage administratif :

- Terrasse inaccessible	100	kg/m^2
- plancher étage courant	150	"
- plancher RDC	400	"

4

Calcul de l'acrotère

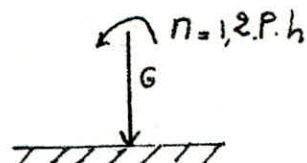
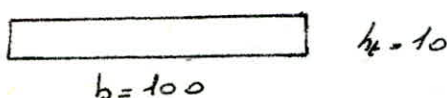
L'acrotère est assimilée à une console encastrée dans le plancher terrasse.

Il faut soumettre à son poids propre (G) et à la surcharge due à la main courante. soit $G + 1,2P$

$$G = 0,10 \times 1 \times 2,5 \times 1 = 0,25 \text{ t/m}^2$$

$$P = 0,1 \text{ t/m}^2$$

Schéma statique :



notre élément est soumis à :

$$\text{L'effort normal } N = G = 0,25 \text{ t/m}^2$$

$$\text{Le moment fléchissant } M = 1,2 \times 0,1 \times 1 = 0,12 \text{ t.m/m}^2$$

L'excentricité e_0 est :

$$\left. \begin{aligned} e_0 &= \frac{M}{N} = \frac{0,12 \cdot 10^5}{0,25 \cdot 10^3} = 48 \text{ cm} \\ e_1 &= \frac{h_t}{6} = \frac{10}{6} = 1,67 \text{ cm} \end{aligned} \right\} e_0 > e_1 \text{ Section partiellement comprimée.}$$

Calcul du moment résistant du béton :

$$M_{RB} = \frac{1}{2} b h^2 \bar{\sigma}_b' \bar{\chi} \bar{\gamma} = 1,608 \text{ t.m}$$

Calcul du moment par rapport aux aciers tendus

$$M_a = N \cdot e_a \quad e_a = \text{distance du C.G des aciers tendus au centre de pression.}$$

$$e_a = e_0 + \left(\frac{h_t}{2} - d \right) = 48 + \left(\frac{10}{2} - e \right) = 51 \text{ cm.}$$

$$M_a = 0,25 \times 0,51 = 0,128 \text{ t.m/m}^2$$

$M_{rb} > M_a \Rightarrow A' = 0$ pas d'acier comprimé.

Calcul des aciers tendus.

On calculera la section sous l'effet du moment M_a en flexion simple, puis on déduira la section en flexion composée.

$$A = A_1 - \frac{N}{\bar{\sigma}_a}$$

$$y = \frac{15 M_a}{6a b h^2} = \frac{15 \times 0,128 \cdot 10^5}{2800 \times 100 \times 8^2} = 9,0107 \xrightarrow[\text{charon.}]{\substack{\text{Tableau} \\ \text{K=93}}} \epsilon = 0,9537$$

$$\bar{\sigma}_b = \frac{\bar{\sigma}_a}{K} = \frac{2800}{93} = 30,1 < \bar{\sigma}_b' = 137,7 \text{ kg/cm}^2$$

5

$$A_s = \frac{M_a}{\bar{\sigma}_a \cdot b} = \frac{0,18710^5}{0,95537 \cdot 2800 \cdot 8} = 0,60 \text{ cm}^2 \Rightarrow A = 0,51 \text{ cm}^2$$

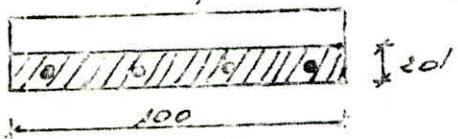
La section obtenue étant faible, on adoptera alors la section d'armature minimale imposée par la condition de non fragilité (Art 5.2 CCBA 69)

$$A \geq 0,69 \cdot b \cdot h = 0,69 \cdot 100 \cdot 8 = 5,52 \text{ cm}^2$$

on prend $4 \text{ t} / \text{m}^2$ (espacement de 25 cm) $A = 1,13 \text{ cm}^2$

Verifications

Verification à la fissuration.



$$\sigma_f = k \frac{\eta}{\phi} \frac{\bar{\omega} f}{1 + 10 \bar{\omega} f}$$

$$\sigma_f = 54 \sqrt{\frac{f}{\phi} \cdot k \cdot \bar{\sigma}_b}$$

$$\bar{\omega}_f = \frac{A}{B_f} = \frac{1,13}{2 \times 2 \times 100} = 1,82 \cdot 10^{-3}$$

$K = 10^6$ (fissuration prévisible : l'acrotère étant soumis aux intempéries)

$$\eta = 1,6 \text{ (HA)} \quad \phi = 6 \text{ mm} \quad \text{alors} \quad \sigma_f = 731,37 \text{ bars}$$

$$\sigma_f = 2984,76 \text{ bars} = 3044,4 \text{ kg/cm}^2$$

$\bar{\sigma}_a < \max(\bar{\sigma}_f, \sigma_f)$ donc il n'y a pas de risque de fissuration.

Verification au seisme local :

D'après le R.PA 81 Art 3.39 : l'acrotère est vérifié sous l'action de la force horizontale.

$$F_p = Z \cdot I \cdot C_p \cdot W_p$$

$$ZI = 0,6 \text{ (Zone II group 2) RPA 81 P.36}$$

$$C_p = 0,8 \text{ connue Tableau n° 4}$$

$$W_p = 250 \text{ kg} \text{ poids de l'acrotère}$$

$$\} F_p = 180 \text{ kg}$$

$F_p = 180$ donc on n'a pas à refaire le ferrailage

Le séisme local est vérifié.

Calcul des poutrelles

Les poutrelles seront calculées sous le 1^{er} Génie: $G+1,2P$
 Elles sont considérées comme simplement appuyée avant coulage
 et continues sur plusieurs appuis après coulage.
 Surface relevant à chaque poutrelle: $S = 0,65 \cdot L$ $L = \text{portée}$.

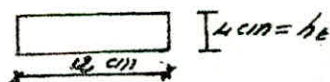
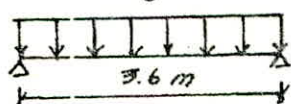
a) avant coulage

on calcule le talon préfabriqué, supportant:

son poids propre

le poids propre du corps creux

surcharge due à l'ouvrier.



$$\begin{aligned} \text{Poids propre de la poutrelle: } & 0,12 \times 0,04 \times 2500 = 12 \text{ kg/m} \\ \text{poids propre du corps creux: } & 7,5 \text{ kg/m} \\ \text{surcharge moyenne } & 78 \text{ kg/m} \\ & \hline q = 161,5 \text{ kg/m} \end{aligned}$$

ferrailage des poutrelles:

Méthode Pierre Charon:

$$d = 2 \text{ cm} \quad h = h_t - d = 2 \text{ cm}$$

$$M_{\max} = M_0 = \frac{q L^2}{8} = \frac{161,5 \times 3,6^2}{8} = 261,6 \text{ Kg.m}$$

$$T_{\max} = q \frac{L}{2} = 306,85 \text{ Kg}$$

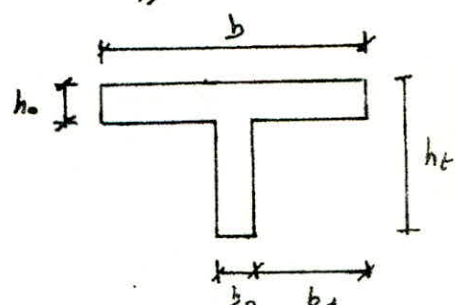
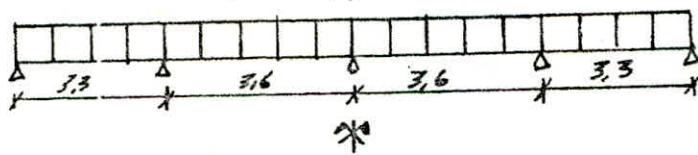
$$\gamma = \frac{15 M_0}{6a b h^2} = 2,916 \rightarrow (\epsilon = 0,6988, k = 1,6)$$

$$G_b = \frac{6a}{k} = \frac{2800}{1,6} = 1750 > \bar{\epsilon}_b = 137,7 \text{ kg/cm}^2 \Rightarrow A' \neq 0$$

ne pouvant pas placer les aciers comprimés, car la section du béton est trop petite, on prévoit des échappements

b) Après coulage:

schéma statique:



Determination de la largeur b (Art 23.31 CCBA68)

$L' = 0,53 \text{ m}$ distance entre 2 faces de nervures voisines

$L = 3,2 \text{ m}$ distance entre 2 des appuis.

$h_0 = 4 \text{ cm}$ hauteur de la table de compression.

$$b_1 = \frac{b - b_0}{2} \leq \frac{L'}{2} = 26,5 \text{ cm}$$

$$b_1 \leq \frac{L}{10} = 32 \text{ cm}$$

$$b_1 \leq (6 \div 8) h_0 = 24 \div 32 \text{ cm}$$

On prend:

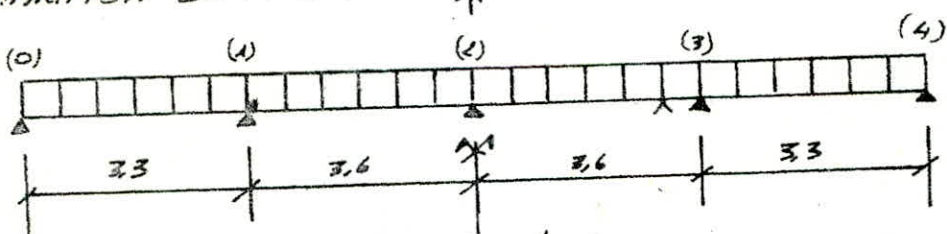
$$b_1 = 25 \text{ cm}$$

$$b = 2b_1 + b_0 = 62 \text{ cm}$$

comme nos poutrelles sont des éléments flexibles portant dans leur sens étique :

- $K = 1,5 \cdot 10^6$ fissuration non préjudiciable.
- $P \leq \ell G$
- les éléments rotatifs ont une même section constante
- les travées ne sont pas hétérogènes : $0,8 \leq \frac{p_i}{p_{i+1}} \leq 1,25$

détermination de M et T



$$M_0 = M_4 \quad \text{moment sur appui de droite}$$

$$M_1 = M_3$$

équation des 3 moments

$$M_0 P_1 + 2(P_1 + P_2) M_1 + P_2 M_2 = -6 \left[\frac{9P_1^3}{24} - \frac{9P_2^3}{24} \right] \quad \text{avec} \quad M_0 = M_4$$

$$P_1 = P_4$$

$$P_2 = P_3$$

$$M_1 = M_3$$

$$\begin{aligned} \text{lin : } & M_1 + 0,86 M_2 = -1,59 \\ & \rightarrow M_1 + 2M_2 = -3,249. \end{aligned}$$

$$\Rightarrow \begin{cases} M_1 = -1,769 \\ M_2 = -9 \end{cases} \quad \text{avec } q = 6+1,2P$$

$$\begin{aligned} \text{Terrasse : } & (706 + 1,2 \times 100) \times 0,65 = 536,9 \\ \text{étage courant : } & (555 + 1,2 \times 250) \times 0,65 = 555,75 \end{aligned}$$

	Etage Courant	Terrasse
$q = 6+1,2P$ kg/m ²	555,75	536,9
M_1 (kg.m)	-978,12	-944,94
M_2 (kg.m)	-555,75	-536,9

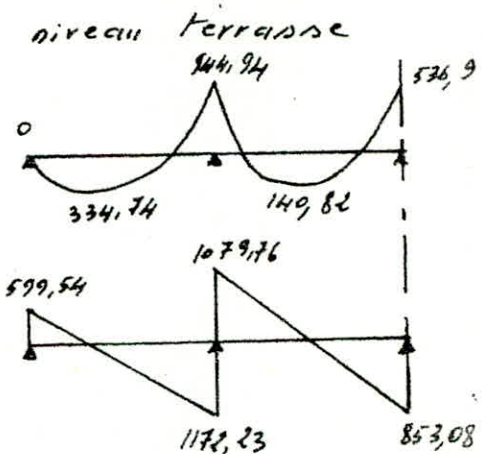
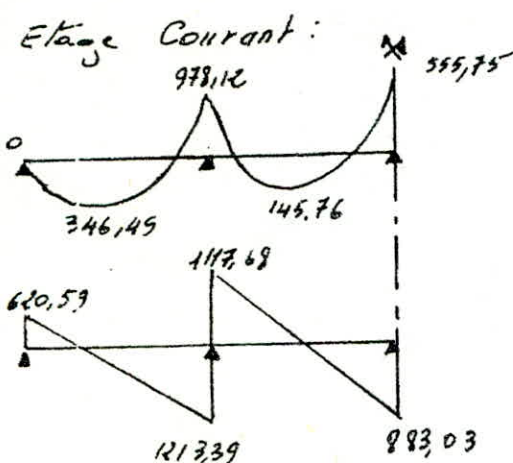
Les moments entreviers sont établis par les relations :

$$M(x) = y(x) + M_i + \frac{M_{i+1} - M_i}{P} \cdot x \quad \text{avec } y(x) = \frac{q_1}{2}x^2 - \frac{q_2}{2}x$$

$$\text{d'où l'effort tranchant : } T(x) = \frac{dy}{dx} = \frac{q_1}{2} - q_2 + \frac{P_{i+1} - P_i}{9P}$$

$$T(x) = 0 \Rightarrow x = \frac{P}{2} + \frac{M_{i+1} - M_i}{9P}$$

Travée	x (m)	$M(x)$ Etage (kg.m)	$M(x)$ Terr (kg.m)	$T(x=0)$	$T(x=3,3)$ $x=3,6$	$T(x=0)$	$T(x=3,3)$ $x=3,6$
0 - 1 $P = 3,3$	1,12	346,49	334,74	620,59	-121,39	599,54	-117,23
1 - 2 $P = 3,6$	1,01	145,76	140,82	113,68	-883,03	1079,76	-853,08



Calcul des armatures longitudinales

plancher étage courant:

$$M_E = M_{\max} = 346,49 \text{ kgm}$$

$$M_a = M_{\max} = 978,12 \text{ kgm}$$

$$h_o = 4 \text{ cm}$$

$$h_t = 24$$

$$b = 6 \text{ cm}$$

$$b_o = 12 \text{ cm}$$

$$\bar{G}_b' = 137,7 \text{ kg/cm}^2$$

$$\bar{G}_a = 2800 \text{ kg/cm}^2$$

$$d = 2 \text{ cm}$$

$$h = h_t - d = 22 \text{ cm}$$

Méthode Pierre Charon:

en entrée:

$$\gamma = \frac{15M}{\bar{G}_a b h^2} = 0,0061 \rightarrow (k = 426, \quad \alpha = 0,1064, \quad E = 0,9645)$$

$y = \alpha h = 0,1064 \times 22 = 2,34 \text{ cm} < h_o = 4 \text{ cm} \Rightarrow$ l'axe neutre tombe dans la table. Recalcul ne sera pour une section rectangulaire de largeur b et de hauteur h_t :

$$\bar{G}_b' = \frac{\bar{G}_a}{K} = 12,2 < \bar{G}_b' \quad \text{donc } A' = 0$$

$$A = \frac{M}{\bar{G}_a \cdot E \cdot h} = 0,58 \text{ cm}^2 \quad \text{prend ET 8} \quad A = 1,00 \text{ cm}^2$$

sur appuis:

$$\gamma = \frac{15M}{\bar{G}_a b h^2} = 0,0902 \rightarrow (k = 16,4; \quad \alpha = 0,3623; \quad E = 0,8792)$$

$y = \alpha h = 7,97 > h_o$ moment négatif: la-table de compression sera tendue: section rectangulaire: b_o, h_t

$$\bar{G}_b' = \frac{\bar{G}_a}{K} = 106,06 < \bar{G}_b' \quad A' = 0.$$

$$A = \frac{M}{\bar{G}_a \cdot E \cdot h} = 1,81 \quad \text{prend ET 12} \quad A = 2,26 \text{ cm}^2$$

Vérifications

Vérification des contraintes:

	$A \text{ cm}^2$	$\bar{w} = \frac{100A}{bh}$	k	E	$\bar{G}_a = \frac{M}{AEh}$	$\bar{G}_b' = \frac{\bar{G}_a}{K}$
TRAYEG	1,00	0,0732	94	0,9641	1651	18
APPLIIN	2,26	0,856	23	0,8684	2266	99

Verifiée
Verifiée

Condition de non fragilité :

entravée $A \geq 0,69 \frac{\bar{E}_b}{6en} b h = 1,32$ non vérifiée
en appui $A \geq 0,86 \text{ cm}^2$ vérifiée.

donc on adopte 2T10
 $A = 1,57 \text{ cm}^2$

condition de non fissuration :

$$\bar{\omega}_f = \frac{A}{B_f} = \frac{A}{2b_d d} = \frac{1,57}{2 \times 12 \times 2} = 0,0327$$

$\gamma = 1,6$ acier HA

$K = 1,5106$ fissuration peu préjudiciable

$$\bar{\omega}_f = 0,0327$$

$$\bar{E}_b = 5,9 \text{ kg/cm}^2$$

$$\phi = 10 \text{ mm}$$

$$\left. \begin{array}{l} \sigma_1 = 5915,23 \text{ bars} \\ = 6033,53 \text{ kg/cm}^2 \\ \sigma_2 = 2584,89 \text{ bars} \\ = 2636,58 \text{ kg/cm}^2 \end{array} \right\}$$

$$\sigma_a = \min \{ \bar{\sigma}_a = 2800 \text{ kg/cm}^2, \max(\sigma_1, \sigma_2) \} = \bar{\sigma}_a = 2800 \text{ kg/cm}^2$$

donc la fissuration n'est pas à croisillon.

Vérification de l'adhérence : (art 29. CCBA68)

$$\bar{T}_d = 2 \psi_d \bar{E}_b \quad | \quad \bar{T}_d = 2 \times 1,5 \times 5,9 = 17,7 \text{ kg/cm}^2$$

$$\psi_d = 1,5 (\text{HA})$$

$$T_{\max} = 1213,39 \text{ kg}_0 \quad | \quad \bar{T}_d = \frac{T_{\max}}{npz} = \frac{1213,39}{2 \times 12 \times 1 \times \frac{7}{8} 22} = 10,03 < \bar{T}_d$$

Vérifiée

Vérification de la flèche : (art 58.4 CCBA68)

$$\frac{h_t}{P} \geq \frac{1}{15} \frac{\pi L}{M_0}$$

$$M_e = 346,49 \text{ kg/m}$$

$$M_0 = 9 \frac{P_e}{8} = 756,51 \text{ kg/m}$$

soit vérifier que :

$$\bar{\omega}_o = \frac{A}{b_o h} < \frac{36}{6en} \quad \text{et} \quad \frac{h_t}{P} \geq 22,5$$

$$\frac{h_t}{P} \geq \frac{1}{15} \cdot \frac{346,49}{756,51} = 0,031 \quad h_t \geq 10,1 \text{ cm} \quad \text{vérifié}$$

$$h_t \geq \frac{1}{22,5} \cdot 16 \text{ cm} \quad \text{vérifié}$$

$$\bar{\omega}_o = \frac{A}{b_o h} < \frac{36}{6en} \Rightarrow A < \frac{36}{6en} b_o h = 2,26 \text{ cm}^2 \quad \text{vérifié}$$

Calcul des armatures transversales :

$$\text{on a: } T^{\max} = 1213,39 \text{ kg}_0$$

on utilisera des armatures perpendiculaires à la ligne moyenne pour cela on doit vérifier:

$$I_b \leq 3,5 \bar{G}_b \text{ si } G'_b \leq \bar{G}'_{b0}$$

$$I_b \leq (4,5 - \frac{G'_b}{\bar{G}'_{b0}}) \bar{G}_b \text{ si } \bar{G}'_{b0} \leq G'_b \leq 2 \bar{G}'_{b0}$$

avec $I_b = \frac{T_{max}}{b_0 \cdot z}$ $z = \frac{7}{8} \cdot h = \frac{7}{8} \cdot 22 = 19,25 \text{ cm}$

$$I_b = \frac{1213,39}{12 \cdot 19,25} = 5,25 \text{ kg/cm}^2$$

$$y = \frac{15,77}{6,2 \cdot b_0 \cdot h^2} = 0,0902 \rightarrow k = 26,4 \quad G'_b = 106,06 > \bar{G}'_{b0} = 68,85 \text{ kg/cm}^2$$

alors $I_b \leq (4,5 - \frac{106,06}{68,85}) 5,9 = 17,46 \text{ kg/cm}^2$ vérifiée. $I_b \leq \bar{I}_s$

on choisit un cadre $\phi 5 \Rightarrow A_t = 0,39 \text{ cm}^2$ (muance Fe E24)

Contraintes admissibles sole traction:

on suppose qu'il n'y a pas reprise de bétonnage:

$$\bar{G}_{at} = f_{at} \cdot b_0 \cdot h \quad f_{at} = \max\left(\frac{2}{3}, 1 - \frac{I_b}{9 \bar{G}_b}\right) = 0,9$$

$$\bar{G}_{at} = 0,9 \times 2400 = 2160 \text{ kg/cm}^2$$

Ecartements des armatures transversales.

L'écartement est donné par:

$$t = \frac{A_t \cdot Z \cdot \bar{G}_{at}}{T_{max}} = \frac{0,39 \cdot 19,25 \cdot 2160}{1213,39} = 13,4 \text{ cm}$$

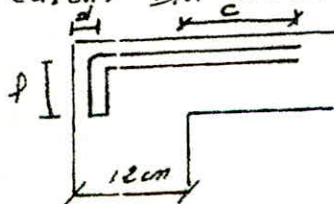
de plus t ne doit pas dépasser $\bar{E} = \max(t_1, t_2)$ art 25.12 CCBAG68

$$t_1 = h \left(1 - 0,3 \frac{I_b}{\bar{G}_b}\right) = 22 \left(1 - 0,3 \frac{5,25}{5,9}\right) = 16 \text{ cm}$$

$$t_2 = 0,2h = 0,2 \times 22 = 4,4 \text{ cm}$$

$t = 13 \text{ cm} < \bar{E} = 16 \text{ cm}$ donc on prend $t = 13 \text{ cm}$
pour la terrasse, et les échages courants
le premier cours sera à $\frac{t}{2}$ de l'appui pour les autres, on applique la règle de Cagnac.

Calcul du crochet:



$$c = \frac{2T}{b_0 \bar{G}'_{b0}} = 2,94 \text{ cm}$$

$$f_a = \frac{\phi}{4} \cdot \frac{G_a}{\bar{G}_b} \text{ avec } G_a = \frac{T}{l_1} = 193,2 \text{ kg/cm}^2$$

$$f_a = \frac{1,2}{4} \frac{193,2}{17,46} = 33 \text{ cm}$$

largeur d'appuis: $3,3 + 2,94 + 2 = 8,2 \text{ cm}$
 $L = 8,0 - 8,2 = 1,2 - 8,2 = 3,8 \text{ cm}$

$$L + 1,89 P = f_a + 5,2 \phi \Rightarrow f = 3 \text{ cm}$$

ferraillage de la table de compression: Art 582. CEBAG8

La table de compression sera armée par un treillis sonore dont les dimensions des mailles ne doivent pas dépasser

20 cm pour les armatures perpendiculaires aux nervures
33 cm pour les armatures parallèles aux nervures

on adoptera un treillis sonore de 20x20 ($\phi 5$)
d'où $5 \phi 5 / \text{m}^2 \rightarrow A = 0,98 \text{ cm}^2$

$\phi \leq 6 \text{ mm} \rightarrow 6 \text{ en } = 5300 \text{ kg/cm}^2$

ce treillis sera en mesure de:

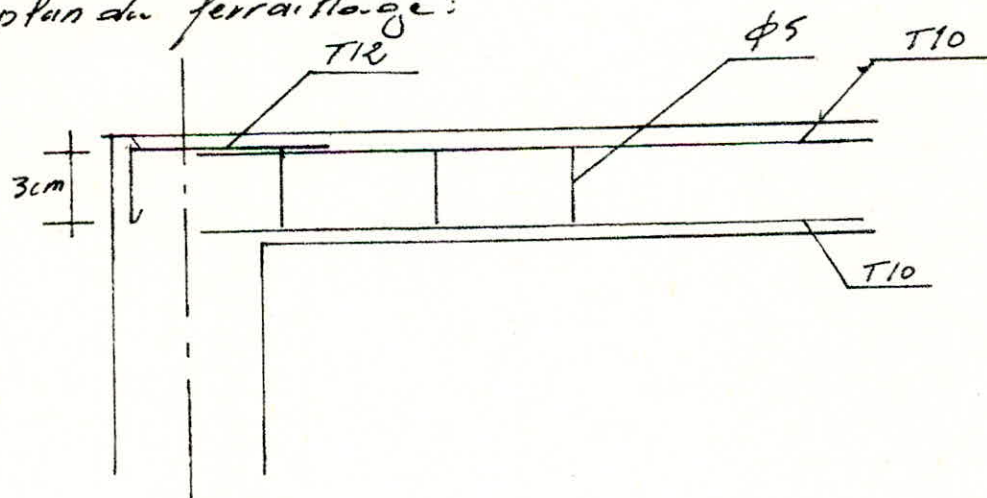
- limiter les risques de fissuration par retrait
- résister aux efforts des charges appliquées sur des surfaces résultées

écartement entre axe des nervures étant compris
entre 50 et 80 cm ($L_0 = 65 \text{ cm}$)

Armature I aux nervures: $A_{I \text{ ner}} \geq \frac{43 f_s}{6 \text{ en}} = 0,527 \text{ cm}^2$ vérifiée

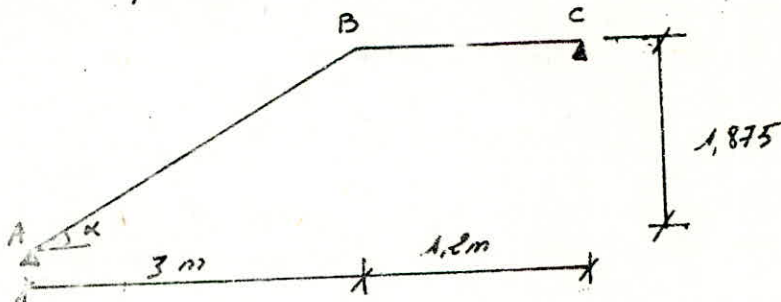
Armature II aux nervures: $A_{II \text{ ner}} \geq \frac{A_{I \text{ ner}}}{2} = 0,49 \text{ cm}^2$ vérifiée

plan du ferraillage:



Calcul des escaliers

Il se compose d'une paillasse et d'un palier intermédiaire
situé à mi-hauteur



$$\operatorname{tg} \alpha = \frac{1,875}{3,00} = 0,63 \Rightarrow l_1 = AB = \frac{3,00}{\cos \alpha} = 3,54 \text{ m.}$$

Prédimensionnement:
épaisseur de la paillasse et du palier:

$$\frac{l}{30} \leq c \leq \frac{l}{20} \quad \text{avec } l = ABC = 4,74 \text{ m} \Rightarrow 0,16 \leq c \leq 0,24$$

on prend une épaisseur $c = 16 \text{ cm}$
pour notre escravatana: 10 marches avec une largeur $g = 30 \text{ cm}$
11 contre marches avec une hauteur $h = 17 \text{ cm}$

Condition de BLONDEL

- $g > h$ vérifiée

$$0,59 \leq g + eh \leq 0,66 \quad \text{or} \quad g + eh = 0,3 + 11 \times 0,17 = 0,64$$

Charges et surcharges:

Le calcul se fait par metre de projection horizontale et pour un metre d'enancement:

Paillasse:

les dimensions des marches étant faible devant la portée de la paillasse on peut admettre que son poids propre est uniformément réparti

- poids paillasse:	471,7 kg/m ²
- poids des marches	187,0 kg/m ²
- revêtement	84,0 kg/m ²
- garde-corps	10,0 kg/m ²

$$G = 752,7 \text{ kg/m}^2$$

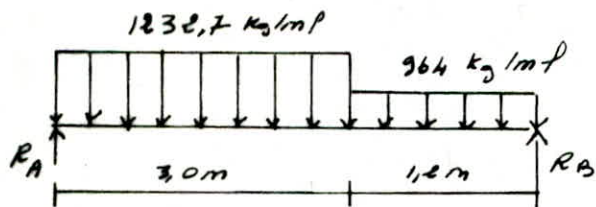
$$\text{Surcharge d'exploitation } 1,2 \times 400 = 480 \text{ kg/m}^2$$

$$q = G + 1,2P = 1232,7 \text{ kg/m}^2$$

palier:

- poids propre de la dalle	400 kg/m ²	$q_1 = 964 \text{ kg/m}^2$
- revêtement	84 kg/m ²	
- surcharge majorée	480 kg/m ²	

Schema statique :



$$R_A = 2542,6 \text{ kg}_J \\ R_B = 2312,3 \text{ kg}_J$$

Determination des efforts :

$$0 \leq x \leq 1,2 \text{ m} \quad M(0) = 0 \text{ kgm} \\ M(1,2) = 3468,8 \text{ kgm}$$

$$T(0) = -2312,3 \text{ kg}_J \\ T(1,2) = -1155,5 \text{ kg}_J$$

$$1,2 \leq x \leq 4,2 \quad M(1,2) = 3468,8 \text{ kgm} \\ M(4,2) = 0 \text{ kgm}$$

$$T(1,2) = -1155,5 \text{ kg}_J \\ T(4,2) = 2542,6 \text{ kg}_J$$

Moment max : $T(x) = 0$ pour $x = 2,14 \text{ m} \Rightarrow M^{\max} = 2623 \text{ kgm}$

Calcul des Armatures : $b = 16 \text{ cm}$ donc $b = 100 \text{ cm}$
on tient compte des semi-enca斯特rements aux appuis :

$$\text{En travée : } M_f = 0,75 M_0(x) = 3586,9 \text{ kgm}$$

$$\text{avec } M_0 = \frac{PL^2}{8} \quad P = 2169,6 \Rightarrow M_0 = 4789,6 \text{ kgm}$$

$\gamma = 0,098 \quad K = 25,1 \quad E = 0,8753 \quad \sigma_b' = 11,5 \text{ kg/cm}^2$ donc les armatures comprimées ne sont pas nécessaires.

$$A = \frac{M}{Eh\bar{b}a} = 10,45 \text{ cm}^2 \Rightarrow \text{on adopte } 10T10 \quad A = 11,31 \text{ cm}^2$$

$$A_{\text{repartition}} = \frac{A}{4} = 2,82 \text{ cm}^2 \Rightarrow 4T10 = 3,14 \text{ cm}^2$$

$$\text{En appui : } M_a = 0,5 M_0(x) = 2391,3 \text{ kgm}$$

$$\gamma = 0,0654 \quad E = 0,8945 \quad K = 32,4 \quad \sigma_b' = 86,4 \text{ kg/cm}^2 \Rightarrow A' = 0$$

$$A = 6,81 \text{ cm}^2 \Rightarrow 9T10 \quad A = 7,06 \text{ cm}^2$$

Dans l'autre sens $4T8 \quad A = 2,01 \text{ cm}^2$

Vérification des contraintes.

$$\text{en travée} \quad A = 11,31 \text{ cm}^2 \quad \bar{w} = 100 \frac{A}{bh} = 0,8 \quad K = 23,9 \quad E = 0,8715$$

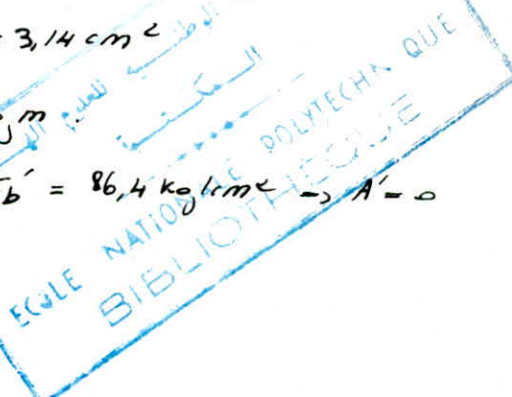
$$\sigma_a = \frac{M_a}{AEh} = 2600 < 2800 \text{ kg/cm}^2 \text{ vérifiée}$$

$$\sigma_b' = \frac{2600}{23,9} = 108,78 < \bar{\sigma}_b = 137,7 \text{ kg/cm}^2$$

$$\text{en appui : } A = 7,06 \text{ cm}^2 \quad \bar{w} = 0,5043 \quad E = 0,8932 \quad K = 31,8$$

$$\sigma_a = 1709 < 2800 \text{ kg/cm}^2 \text{ vérifiée}$$

$$\sigma_b' = 85,17 < \bar{\sigma}_b \text{ vérifiée}$$



Vérification de la non fragilité:

$$A \geq 0,69 \text{ b}h \quad \frac{\bar{G}_b}{6cm} = 0,69 \times 100 \times 14 \times \frac{5,3}{4200} = 1,35 \text{ cm}^2 \text{ vérifiée}$$

Vérification de la flèche:

$$\frac{A}{bh} \leq \frac{43}{6cm} \quad A \leq \frac{43 \times 100 \times 14}{4200} = 14,3 \text{ cm}^2 \text{ vérifié}$$

Vérification de la contrainte de cisaillement:

$$T^{max} = 2542,6 \text{ kg}$$

$$S = \frac{7}{8} h = 10,25 \text{ cm}$$

$$I_b = \frac{T^{max}}{bS} = 2,07 \text{ kg/cm}^2$$

$$\bar{I}_b = 1,15 \bar{G}_b = 6,78 \text{ kg/cm}^2 \text{ (considérations obliques)}$$

$I_b < \bar{I}_b$ donc les armatures transversales ne sont pas nécessaires, on dispose des aciers de construction T6 avec $t=25 \text{ cm}$

Vérification de l'effort tranchant à l'appui.

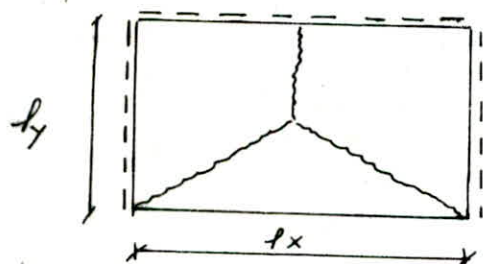
$$A\bar{G}_a \geq T + \frac{M}{8} \quad A\bar{G}_a = 19768 \text{ kg} \\ T + \frac{M}{3} = 2542,6 \text{ kg} \quad \} \text{ vérifiée}$$

Donc la section d'acier suffit pour équilibrer l'effort tranchant.

Calcul du palier extérieur

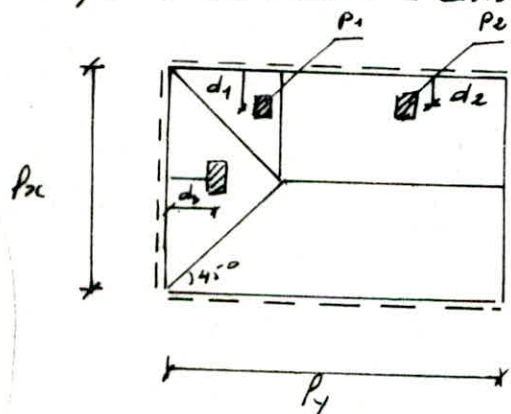
Ce palier est constitué de deux appuis sur 3 cotés.
d'épaisseur $e = 20 \text{ cm}$.

Determination des efforts :



La charge par m² de dalle est : $q = 980 \text{ kg/m}^2$

D'après la théorie des lignes de ruptures on aura :



$$\rho = 980 \text{ kg/m}^2$$

dans notre cas on a toujours

$$l_y \geq \frac{l_x}{2}$$

$$M_x = P_1 d_1 + P_2 d_2 \quad \text{avec} \quad P_1 = \frac{1}{2} \left(\frac{l_x}{2} \cdot \frac{l_x}{2} \right) \rho = \frac{\rho l_x^2}{8} \quad d_1 = \frac{l_x}{6}$$

$$P_2 = \left(l_y - \frac{l_x}{2} \right) \frac{l_x}{2} \cdot \rho \quad d_2 = \frac{l_x}{4}$$

$$M_x = \frac{\rho l_x^2}{8} \left(l_y - \frac{l_x}{2} \right) + \frac{\rho l_x^3}{48}$$

$$M_y = P_3 d_3 = \frac{1}{2} l_x \cdot \frac{l_x}{2} \rho = \frac{\rho l_x^3}{24} \quad d_3 = \frac{l_x}{6}$$

P_x N	P_y N	M_x Nm	M_y Nm	I_x	E_x	K_x	T_y	E_y	K_y	A_x cm^2	A_y cm^2
2,3	3,2	1,48	0,47	0,0106	0,9539	93,5	0,0024	0,9773	205	3,08 7T8	0,195 6T8
3,0	3,2	2,28	1,04	0,0126	0,9500	85,0	0,0054	0,9664	134	4,76 10T8	2,14 6T8
3,3	3,2	2,63	1,38	0,0136	0,9490	83,0	0,0071	0,9618	116	5,5 11T8	2,85 6T8
4,45	3,2	3,91	3,38	0,0145	0,9465	78,5	0,0175	0,9419	71,0	8,2 18T8	7,12 15T8
6,3	3,2	4,85	9,59	0,0127	0,9498	84,5	0,0496	0,9064	38,4	10,13 22T8	20,99 48T8

Verification de la condition de non fragilité

$$A_x \geq 0,69 b h \quad \frac{1-p}{2} \quad \frac{\overline{G}_b}{6cm}$$

$$A_y \geq 0,69 b h \quad \frac{1+p}{4} \quad \frac{\overline{G}_b}{6cm}$$

$$\rho = \frac{f_a}{P_y}$$

- | | |
|-------------------------|----------------------|
| a) $A_x \geq 2,54 cm^2$ | $A_y \geq 2,40 cm^2$ |
| b) $A_x \geq 2,78 cm^2$ | $A_y \geq 2,70 cm^2$ |
| c) $A_x \geq 2,79 cm^2$ | $A_y \geq 2,84 cm^2$ |
| d) $A_x \geq 2,37 cm^2$ | $A_y \geq 3,34 cm^2$ |
| e) $A_x \geq 0,17 cm^2$ | $A_y \geq 4,14 cm^2$ |

Verifiée.

Verification des contraintes:

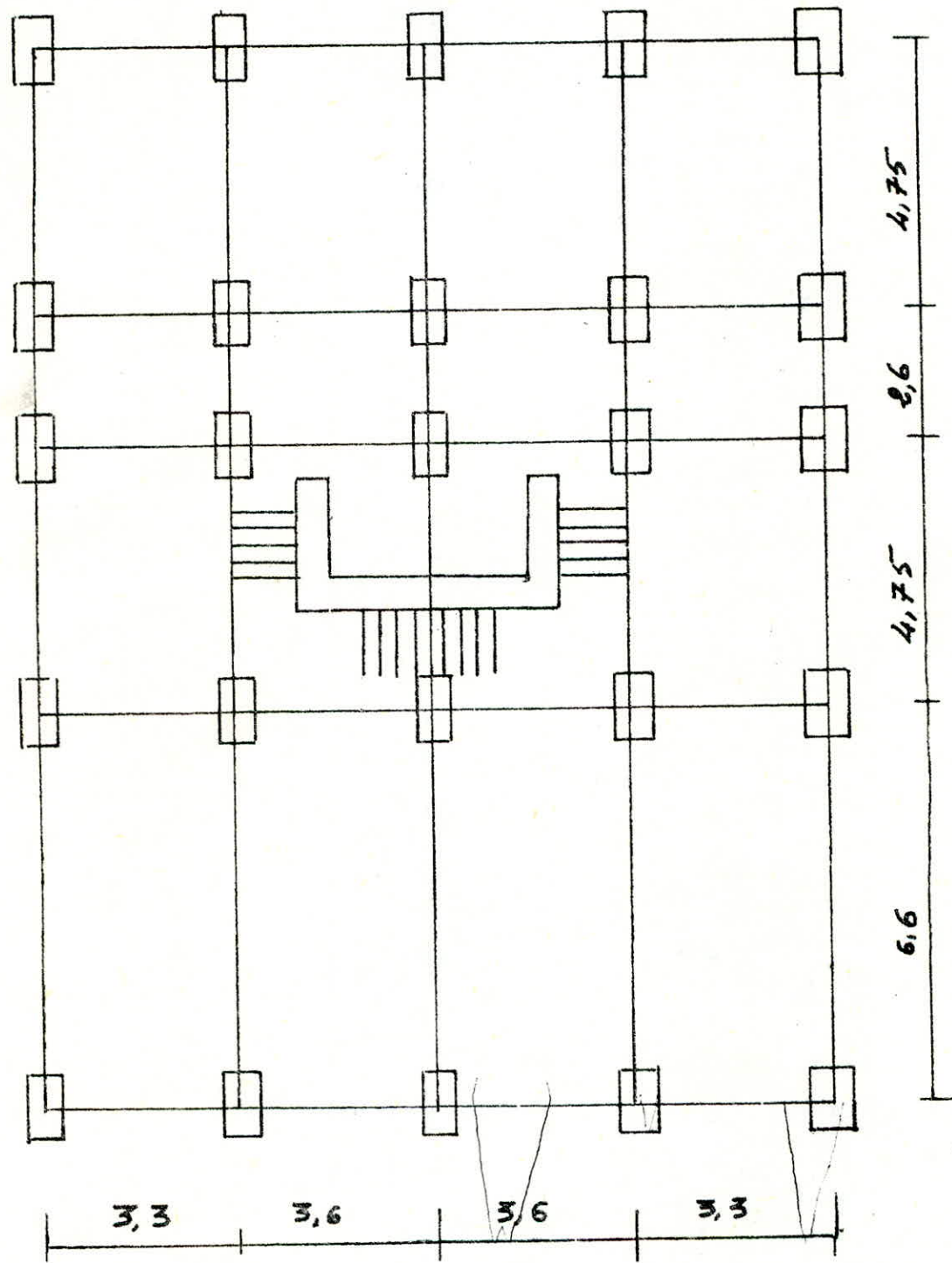
a) $\sigma_{ax} = 2456 kg/cm^2$	$\sigma_{ay} = 887 kg/cm^2$	$\sigma'_{bx} = 87 kg/cm^2$	$\sigma'_{by} = 5 kg/cm^2$
b) $\sigma_{ax} = 2398 "$	$\sigma_{ay} = 1987 "$	$\sigma'_{bx} = 89 "$	$\sigma'_{by} = 15 "$
c) $\sigma_{ax} = 2512 "$	$\sigma_{ay} = 2649 "$	$\sigma'_{bx} = 31 "$	$\sigma'_{by} = 23 "$
d) $\sigma_{ax} = 2691 "$	$\sigma_{ay} = 2349 "$	$\sigma'_{bx} = 35 "$	$\sigma'_{by} = 34 "$
e) $\sigma_{ax} = 2570 "$	$\sigma_{ay} = 2290 "$	$\sigma'_{bx} = 31 "$	$\sigma'_{by} = 61 "$

Toutes les contraintes sont vérifiées

Verification de la flèche

$$\frac{A}{bh} < \frac{c_0}{6en} \quad \text{Vérifiée pour toutes les dalles}$$

VUE EN PLAN



PREDIMENSIONNEMENT POUTRES & POTEAUX

PRedimensionnement des poutres

Poutres longitudinales

$$L = 6,6 \text{ m} \quad \frac{l}{15} \leq h_t \leq \frac{l}{10} \Rightarrow 44 \leq h_t \leq 66 \text{ cm} \quad h_t = 50 \text{ cm}$$

$$\text{Pargeur de poutre: } 0,3h_t \leq b \leq 0,7h_t \Rightarrow 15 \leq b \leq 35 \quad b = 30 \text{ cm}$$

$$h_t = 50 \text{ cm} \quad b = 30 \text{ cm}$$

Poutres transversales

$$L = 3,6 \text{ m} \quad \frac{L}{15} \leq h_t \leq \frac{L}{10} \Rightarrow 24 \leq h_t \leq 35 \quad h_t = 35 \text{ cm}$$

$$\text{Pargeur de poutre: } 0,3h_t \leq b \leq 0,7h_t \Rightarrow 10,5 \leq b \leq 24,5 \quad b = 25 \text{ cm}$$

$$h_t = 35 \text{ cm} \quad b = 25 \text{ cm}$$

PRedimensionnement des poteaux

Le predimensionnement des poteaux se fera conformément à la règle préconisée par le RPA81.

$$A = b_1 \times b_2 \geq \frac{k \cdot N'}{\sigma_{\text{es}}} \quad \text{avec} \quad \begin{aligned} k &= 1,1 \text{ en zone II} \\ N' &= \text{effort normal} \\ \sigma_{\text{es}} &= \text{résistance nominale} \end{aligned}$$

$\text{à la compression à } 285$

La descente de charge portera sur les poteaux de la file la plus sollicitée à avoir la file (I.4), et ceci en tenant compte de la dégression des surcharges.

$$\text{Surface de plancher: } \left(\frac{4,75 + 2,6}{2} - 0,25 \right) (3,6 - 0,3) = 11,3 \text{ m}^2$$

$$\text{Surface de charge: } \frac{4,75 + 2,6}{2} \times 3,6 = 13,23 \text{ m}^2$$

Charges permanentes

$$\text{Terrasse: plancher: } 0,706 \times 11,3 = 7,98 \text{ t}$$

$$\text{poutres: } 85 \times 0,3 \times 2,5 \times \left(\frac{4,75 + 2,6}{2} \right) + 85 \times 0,25 \times 0,35 \times (3,6 - 0,3) \\ = 2,1 \text{ t}$$

$$G = 10,08 \text{ t}$$

Etage Courant:

$$\text{plancher: } 0,555 \times 11,3 = 6,27t \\ \text{poutre: } 2,1t$$

$$G_t = 8,37t$$

Surcharges

$$\text{Terrasse: } P.S = 0,1 \times 13,23 = 1,32t$$

$$\text{Etage courant: } P(a).S = 0,25 \times 13,23 \times \alpha = 3,308 \times t$$

α : coefficient de réduction des surcharges qui prend les valeurs suivantes en fonction du niveau. n.

niveau	T	VII	VI	V	IV	III	II	I
α	1	1	0,9	0,8	0,7	0,6	0,5	0,5

Remarque: Les cloisons intérieur [0,075 t/m²] sont considérées comme surcharge permanente.

Nous supposerons que notre structure est formée de poteaux de sections 40x40 cm² (minimum exigé par le R.OA 81: (25x25 en zone II) art 4.2.11)

Poids d'un poteau 1m²: $h = 3,75 \text{ m} = \text{côte: } G_{pt} = 1,5t$

niv	G/niv [t]	1,2 P/niv [t]	G+1,2P/niv [t]
T	11,58	1,584	13,164
VII	9,87	3,97	13,840
VI	9,87	3,57	13,440
V	9,87	3,18	13,050
IV	9,87	2,78	12,650
III	9,87	2,38	12,250
II	9,87	1,98	11,850
I	9,87	1,98	11,850
		$\Sigma =$	102,094

Dès la section du poteau au niveau I:

$$A \geq \frac{R_{N'} N'}{628} = \frac{4 \times 102,94 \cdot 10^3}{628} = 1498 \text{ cm}^2$$

Doit $A = 40 \times 50 \text{ cm}^2 = 2000 \text{ cm}^2$:

$a = 40 \text{ cm}$	$b = 50 \text{ cm}$
---------------------	---------------------

Verification des prescriptions relatives au coffrage RPA81

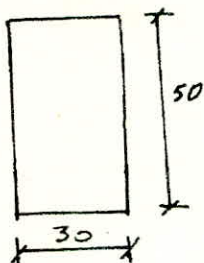
a) $\min(A, B) \geq 25 \text{ cm}$ (en zone II) (Vérifiée)

b) $\frac{1}{3} \leq \frac{A}{B} \leq 3$ $\frac{A}{B} = \frac{50}{40} = 1,25$ (Vérifiée)

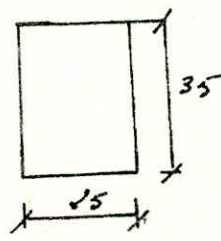
c) $\min(A, B) \geq \frac{h}{20}$ $\min(A, B) = 40 \geq \frac{375}{20} = 18,75$ (Vérifiée)

Poutres:

longitudinales



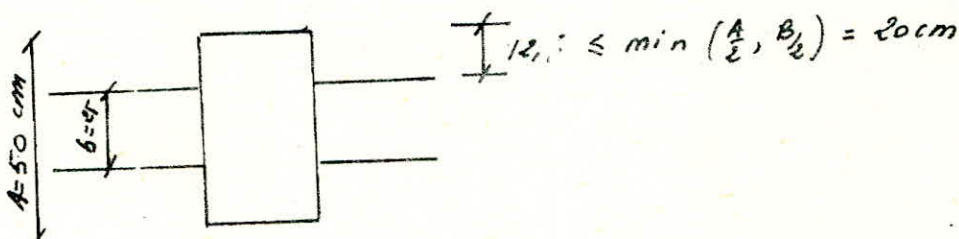
transversales



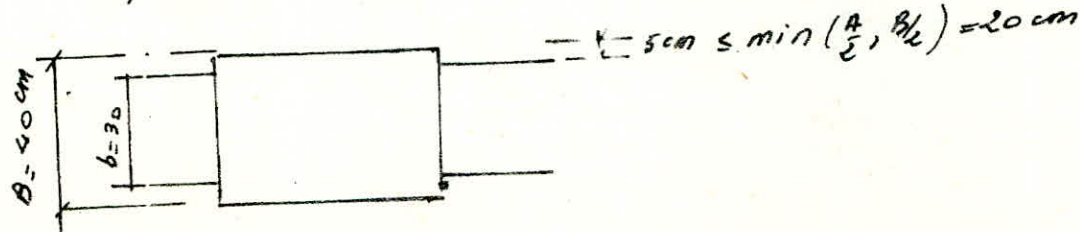
a) $b = 35 \text{ cm} \geq 20 \text{ cm}$ (Vérifiée)

b) $\frac{a}{b} = \frac{50}{35} = 1,67 < 3$ (Vérifiée)

c) poutres longitudinales:



poutres longitudinales:



Calcul Des Efforts Sous Charges Verticales

La méthode de calcul que nous utilisons, pour la détermination des efforts dans les poutres sous l'action des charges verticales est celle de M^e CAQUOT méthode exposée dans le CCBA 68 en Annexe A.

- Efforts tranchants dans les poteaux:

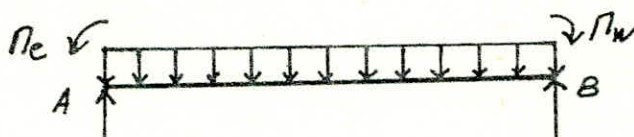
Efforts normaux dans les poutres:

Par simplification, on ne fait pas état dans les calculs des efforts tranchants dans les poteaux; ni des efforts normaux dans les poutres. (CC.B.A 68. Annexe A. A15)

Efforts tranchants dans les poutres:

Méthode de calcul:

Conformément à l'annexe A13 CCBA 68, les efforts tranchants sont calculés en considérant la travée indépendante, et en faisant état des moments de continuité et de la charge qui lui est appliquée :



$$\sum M_B = 0 \Rightarrow R_A = q \frac{l}{2} + \frac{N_e - N_w}{p}$$

$$\text{d'où pour } x=0 \quad T = q \frac{l}{2} + \frac{N_e - N_w}{p}$$

$$x=l \quad T = \frac{N_e - N_w}{p} - q \frac{l}{2}$$

Efforts normaux dans les poteaux:

Les réactions aux appuis (i-1) et (i) donnent les efforts de compression dans les poteaux:

$$N_{i-1} = T_{(i-1).e} - T_{(i-1).w}$$

$$N_i = T_{i.e} - T_{i.w}$$

Tes efforts tranchants $T_{(i-1).e}$, $T_{(i-1).w}$, $T_{i.e}$, $T_{i.w}$ sont pris en valeurs algébriques.

$N > 0$ compression

$N < 0$ traction.

Schémas des portiques

Transversal :

1	2	3	
4	5	6	
7	8	9	
10	11	12	
13	14	15	
16	17	18	
19	20	21	
22	23	24	
25	26	27	
m	3,3	m	3,6
m	3,6	m	3,6
m	3,3	m	3,3

Longitudinal.

1	2		
3	4		
5	6		
7	8		
9	10		
11	12		
13	14	15	16
18	19	20	21
23	24	25	26
m	m	m	m
3,3	6,6	4,75	2,6
m	m	m	m
3,3	6,6	4,75	2,6

Caractéristiques géométriques

Portique transversal:

noeuds	L_w (m)	L_e (m)	h_n, h_o (m)	$I_{n,n}$ $10^4 m^4$	I_{e,T_n} $10^4 m^4$	L'_w (m)	L'_e (m)	h'_n (m)	h'_o (m)	k_w	k_e	k_n	K_o	D	χ
1	2,9	3,75	2,6,67	8,93		2,32		3		3,85			8,89	12,74	0,8
2	2,9	3,2	3,75	26,67	8,93	2,32	2,56		3	3,85	3,49		8,89	16,63	0,8
3	3,2	3,2	3,75	26,67	8,93	2,56			3	3,49	3,49		8,89	15,87	0,8
4	2,9	3,75	26,67	8,93		2,32	3,375	3		3,85	3,89	3,9	8,89	20,64	0,8
5	2,9	3,2	3,75	26,67	8,93	2,32	2,56	3,375	3	3,85	3,89	3,9	8,89	24,13	0,8
6	3,2	3,2	3,75	26,67	8,93	2,56	2,56	3,375	3	3,49	3,49	3,9	8,89	23,77	0,8
7	2,9	3,75	26,67	8,93		2,32	3	3		3,85	3,89		8,89	24,63	0,8
8	2,9	3,2	3,75	26,67	8,93	2,32	2,56	3	3	3,85	3,49	3,89	8,89	25,12	0,8
9	3,2	3,2	3,75	26,67	8,93	2,56	2,56	3	3	3,49	3,49	3,89	8,89	24,75	0,8
10	2,9	3,75	26,67	8,93		2,32	3	3		3,85	3,49	3,89	8,89	25,12	0,8
11	2,9	3,2	3,75	26,67	8,93	2,32	2,56	3	3	3,85	3,49	3,89	8,89	24,63	0,8
12	3,2	3,2	3,75	26,67	8,93	2,56	2,56	3	3	3,49	3,49	3,89	8,89	24,75	0,8
13	2,9	3,75	26,67	8,93		2,32	3	3		3,85	3,89		8,89	24,63	0,8
14	2,9	3,2	3,75	26,67	8,93	2,32	2,56	3	3	3,85	3,49	3,89	8,89	25,12	0,8
15	3,2	3,2	3,75	26,67	8,93	2,56	2,56	3	3	3,49	3,49	3,89	8,89	24,75	0,8
16	2,9	3,75	26,67	8,93		2,32	3	3		3,85	3,89		8,89	25,12	0,8
17	2,9	3,2	3,75	26,67	8,93	2,32	2,56	3	3	3,49	3,49	3,89	8,89	24,75	0,8
18	3,2	3,2	3,75	26,67	8,93	2,56	2,56	3	3	3,49	3,49	3,89	8,89	24,63	0,8
19	2,9	3,75	26,67	8,93		2,32	3	3		3,85	3,89		8,89	24,63	0,8
20	2,9	3,2	3,75	26,67	8,93	2,32	2,56	3	3	3,85	3,49	3,89	8,89	25,12	0,8
21	3,2	3,2	3,75	26,67	8,93	2,56	2,56	3	3	3,49	3,49	3,89	8,89	24,63	0,8
22	2,9	3,75	26,67	8,93		2,32	3	3		3,85	3,89		8,89	24,63	0,8
23	2,9	3,2	3,75	26,67	8,93	2,32	2,56	3	3	3,85	3,49	3,89	8,89	24,75	0,8
24	3,2	3,2	3,75	26,67	8,93	2,56	2,56	3	3	3,49	3,49	3,89	8,89	24,75	0,8

charges verticales revenant au portique:

- Surface revenant au portique: $S = 0,65 \times 13,8 = 8,97 \text{ m}^2$

- charges permanentes:

niveau terrasse: plancher: $0,706 \times 0,65 = 0,459 \text{ t/m}^2$
poutre: $0,25 \times 0,35 \times 0,5 = 0,219 \text{ t/m}^2$
 $G = 0,678 \text{ t/m}^2$

niveau étage courant: plancher: $0,555 \times 0,65 = 0,364 \text{ t/m}^2$
poutre: $= 0,219 \text{ t/m}^2$
 $G = 0,58 \text{ t/m}^2$

- Surcharges:

niveau terrasse: $P = 0,1 \times 0,65 = 0,065 \text{ t/m}^2$
niveau étage courant: $P = 0,25 \times 0,65 = 0,163 \text{ t/m}^2$.

Sous G

Moments aux appuis										Efforts Tranchants				
niveau nœud	L'_e [m]	L'_w [m]	$q_e q_w$ [kN/m]	M'_e [Nm]	M'_w [Nm]	M_e [Nm]	M_w [Nm]	M_n [Nm]	M_s [Nm]	Travée	q [kN/m]	$T_{x=0}$	$T_{x=L}$	
T	1	2,32	0,678	0,469		0,30		0	0,3	1-2	0,678	9,81	-1,15	
	2	2,32	2,56	0,679	0,523	0,489	0,501	0,451	0	2-3	0,678	1,06	-1,10	
	3	2,56	2,56	0,678	0,523	0,523	0,523	0,523	0	3-2'	0,618	1,08	-1,08	
VII	4	2,32	2,32	0,58	0,367		0,299		0,141	0,158	4-5	0,58	0,69	-0,99
	5	2,32	2,56	0,58	0,447	0,367	0,436	0,38	0,026	0,029	5-6	0,58	0,90	-0,94
	6	2,56	2,56	0,58	0,447	0,447	0,447	0,447	0	6-5'	0,58	0,98	-0,92	
VI, V	7 10 13 16 19 22	2,32	2,32	0,58	0,367		0,302		0,159	0,151	7-8	0,58	0,68	-0,99
	8 11 14 17 20 23	2,32	2,56	0,58	0,447	0,367	0,436	0,38	0,028	0,028	8-9	0,58	0,90	-0,90
II, I	9 10 15 18 21 24	2,56	2,56	0,58	0,447	0,447	0,447	0,447	0	0	9-8'	0,58	0,98	-0,92

Sous P

Moments aux appuis										Efforts Tranchants				
niveau	nœud	L'_e [m]	L'_w [m]	$q_e q_w$ [kN/m]	M'_e [Nm]	M'_w [Nm]	M'_n [Nm]	M'_s [Nm]	Travée	q [kN/m]	$T_{x=0}$	$T_{x=L}$		
T	1	2,32		0,065	0,041		0,029		0	0,049	1-2	0,065	0,09	-0,46
	2	2,56	2,32	0,065	0,050	0,041	0,048	0,043	0	0,005	2-3	0,065	0,07	-0,08
	3	2,56	2,56	0,065	0,050	0,050	0,050	0,050	0	0	3-2'	0,065	0,07	-0,07
VII	4	2,32		0,163	0,103		0,072		0	0,072	4-5	0,163	0,19	-0,67
	5	2,56	2,32	0,163	0,183	0,103	0,112	0,107	0,007	0,008	5-6	0,163	0,26	-0,86
	6	2,56	2,56	0,163	0,186	0,186	0,186	0,186	0	0	6-5'	0,163	0,26	-0,86
VI, V	7 10 13 16 19 22	2,32		0,163	0,103		0,085		0,048	0,042	7-8	0,163	0,19	-0,67
	8 11 14 17 20 23	2,56	2,32	0,163	0,126	0,103	0,113	0,107	0,008	0,008	8-9	0,163	0,25	-0,86
II, I	9 10 15 18 21 24	2,56	2,56	0,163	0,126	0,126	0,126	0,126	0,0	0,0	9-8'	0,163	0,26	-0,86

Caractéristiques géométriques

Portique longitudinal.

nœud	L_w (m)	L_e (m)	h_n, h_o (m)	I_n, I_o 10^4 m^4	I_c, I_m 10^{-6} m^6	L'_w (m)	L'_e (m)	h'_n (m)	h'_o (m)	K_w	K_c	K_n	K_o	D	χ
1		4,25	3,75	11,67	31,65		3,4		3		9,19		13,89	23,08	0,8
2	4,25	2,1	3,75	11,67	31,65	3,4	1,68		3	9,19	18,6		13,89	41,68	0,8
3		4,25	3,75	11,67	31,65		3,4	3,375	3		9,19	18,6	13,89	35,40	0,8
4	4,25	2,1	3,75	11,67	31,65	3,4	1,68	3,375	3	9,19	18,6	18,34	13,89	54,04	0,8
5		4,25	3,75	11,67	31,65		3,4	2	3		19,9	13,89	13,89	36,96	0,8
6	4,25	2,1	3,75	11,67	31,65	3,4	1,68	3	3	9,19	18,6	13,89	13,89	55,57	0,8
7		4,25	3,75	11,67	31,65		3,4	3	3		9,19	13,89	13,89	36,96	0,8
8	4,25	2,1	3,75	11,67	31,65	3,4	1,68	3	3	9,19	18,6	13,89	13,89	55,57	0,8
9		4,25	3,75	11,67	31,65		3,4	3	3		9,19	13,89	13,89	36,96	0,8
10	4,25	2,1	3,75	11,67	31,65	3,4	1,68	3	3	9,19	18,6	13,89	13,89	55,57	0,8
11		4,25	3,75	11,67	31,65		3,4	3	3		9,19	13,89	13,89	36,96	0,8
12	4,25	2,1	3,75	11,67	31,65	3,4	1,68	3	3	9,19	18,6	13,89	13,89	55,57	0,8
13		6,1	3,75	11,67	31,65		4,88		3		6,404		13,89	80,59	0,8
14	6,1	4,25	3,75	11,67	31,65	4,88	3,4	3,375	3	6,404	9,19	13,89	13,89	43,37	0,8
15	4,25	2,1	3,75	11,67	31,65	3,4	1,68	3	3	9,19	18,6	13,89	13,89	55,57	0,8
16	2,1	4,25	3,75	11,67	31,65	1,68	3,4	3	3	18,6	9,19	13,89	13,89	55,57	0,8
17		6,1	3,75	11,67	31,65	3,4		3	3	9,19		13,89	13,89	36,96	0,8
18		6,1	3,75	11,67	31,65		4,88	3	3		6,404	13,89	13,89	94,19	0,8
19	6,1	4,25	3,75	11,67	31,65	4,88	3,4	3	3	6,404	9,19	13,89	13,89	43,37	0,8
20	4,25	2,1	3,75	11,67	31,65	3,4	1,68	3	3	9,19	18,6	13,89	13,89	55,57	0,8
21	2,1	4,25	3,75	11,67	31,65	1,68	3,4	3	3	18,6	9,19	13,89	13,89	55,57	0,8
22	4,25		3,75	11,67	31,65	3,4		3	3	9,19		13,89	13,89	36,96	0,8

Charges verticales revenant au portique :

- Surface revenant au portique : $S = \frac{3,3 + 3,6}{2} \times 18,7 = 64,51 \text{ m}^2$

- charges permanentes.

niveau terrasse . plancher : $0,706 \times 3,45 = 2,436 \text{ t/m}^2$
poutre : $0,5 \times 0,3 \times 2,1 = 0,375 \text{ t/m}^2$
 $G = 2,811 \text{ t/m}^2$

niveau étage courant : plancher : $0,555 \times 3,45 = 1,915 \text{ t/m}^2$
poutre : $= 0,375 \text{ t/m}^2$
 $G = 2,29 \text{ t/m}^2$.

- Surcharges

niveau terrasse : $P = 0,4 \times 3,45 = 0,345 \text{ t/m}^2$.

niveau étage courant $P = 0,25 \times 3,45 = 0,863 \text{ t/m}^2$.

Sous G

Moments aux appuis

Efforts tranchants

niv	noeud	L_e (m)	L_w (m)	τ_e t/m	τ_w t/m	M_e t/m	M_w t/m	M_n t/m	M_s t/m	Travée	q t/m ²	T_{xx0} t	T_{xx1} t
I	1	3,4		2,84	3,86		3,32		9,0	2,34	1-1	2,84	5,5
	2	1,68	3,4	2,84	0,943	3,86	2,84	3,22	0,0	-9,95	2-6'	2,84	2,986 -2,98
VII	3	3,4		2,89	3,11		2,306		1,085	1,89	3-4	2,89	4,43 -5,23
	4	1,68	3,4	2,89	0,76	3,114	1,571	2,71	-0,538	-0,605	4-4'	2,89	2,405 -2,405
IV II	5	7	3,4		2,89	3,11		2,34		1,17	1,17		
	9	11										5-6	2,89 4,5 -5,23
IV III	6	8	1,68	3,4	2,89	0,76	3,114	1,55	2,72	-0,588	-0,588	6-6'	2,89 2,4 -2,4
	10	12											
II	13	4,88		2,89	6,416		4,39		9,0	4,39	13-14	2,89	6,36 -7,6
	14	3,4	4,88	2,89	3,114	6,41	3,81	5,92	-1,05	-1,05	14-15	2,89	5,89 -3,24
	15	1,68	3,4	2,89	0,76	3,114	1,549	2,725	-0,588	0,588	15-16	2,89 2,4 -2,4	
	16	3,4	1,68	2,89	3,114	0,76	2,72	1,549	0,588	0,588	16-17	2,89 5,831 -4,50	
	17		3,4	2,89		3,114		2,34	1,17	1,17			.
	18	4,88	3,05	2,89	6,41	MW1	8,02	6,717		-0,653	-0,653	18-19	2,89 7,70 -6,26
I	19	3,4	4,88	2,89	3,11	5,60	3,64	5,84	0,80	-0,80		19-20	2,89 5,73 -3,99
	20	1,68	3,4	2,89	0,76	3,114	1,55	2,72	-0,588	-0,588		20-21	2,89 6,40 2,40
	21	3,4	1,68	2,89	3,114	0,76	2,72	1,55	0,588	0,588		21-22	2,89 5,83 -4,5
	22		3,4	2,89		3,114		2,34	1,17	1,17			

Sous P

Moments aux appuis											Efforts tranchants			
niv	noeud	Lc (m)	Zw (m)	qc fm	Mé Nm	Mw Nm	Mc Nm	Mw Nm	Mn Nm	Ms Nm	Travée	q Nm/m	T _{z=0} t	T _{z=t} t
I	1	3,4	/	0,345	0,40	/	0,88	/	0,0	0,88	1-1	0,345	0,67	-0,79
	2	1,68	3,4	0,345	0,195	0,469	0,273	0,39	0,0	-0,118	2-3'	0,345	0,36	-0,36
II	3	3,4	/	0,863	1,17	/	0,87	/	0,41	0,41	3-4	0,863	1,69	-1,97
	4	1,68	3,4	0,863	0,287	1,174	0,59	1,00	-0,10	-0,66	4-4'	0,863	0,90	-0,90
III	5	3,4	/	0,863	1,174	/	0,882	/	0,441	0,441	5-6	0,863	1,69	-1,97
	6	1,68	3,4	0,863	0,287	1,174	0,584	1,00	-0,10	-0,66	6-6'	0,863	0,90	-0,90
IV	7	3,4	/	0,863	1,174	/	1,655	/	0,0	1,655	13-14	0,863	2,39	-1,86
	8	1,68	3,4	0,863	0,287	1,174	1,437	2,34	-0,398	-0,398	14-15	0,863	2,22	-1,44
	9	3,4	4,88	0,867	1,17	2,418	1,437	2,34	-0,398	-0,398	15-16	0,863	0,90	-0,90
	10	1,68	3,4	0,863	0,287	1,174	0,584	1,00	-0,10	-0,66	16-17	0,863	1,97	-1,69
	11	3,4	4,88	0,867	1,17	2,418	1,655	/	0,0	1,655				
	12	1,68	3,4	0,863	0,287	1,174	0,584	1,00	-0,10	-0,66				
	13	4,88	/	0,863	2,418	/	1,655	/	0,0	1,655				
V	14	3,4	4,88	0,867	1,17	2,418	1,437	2,34	-0,398	-0,398	18-19	0,863	3,06	-1,19
	15	1,68	3,4	0,863	0,287	1,174	0,584	1,00	-0,10	-0,66	19-20	0,863	2,14	-1,52
	16	3,4	4,88	0,867	1,17	2,418	1,655	2,34	-0,398	-0,398	20-21	0,863	0,90	-0,90
	17	1,68	3,4	0,863	0,287	1,174	0,584	1,00	-0,10	-0,66	21-22	0,863	1,97	-1,69
	18	4,88	4,05	0,863	2,418	1,437	2,71	/	-0,65	-0,65				
	19	3,4	4,88	0,863	1,174	2,018	1,353	1,89	-0,67	-0,67				
	20	1,68	3,4	0,863	0,287	1,174	0,584	1,00	-0,10	-0,66				
VI	21	3,4	1,68	0,863	1,174	0,287	1,00	0,584	0,22	0,22				
	22	3,4	0,863	/	1,174	/	0,88	0,441	0,441	0,441				

Calcul des rigidités

Le calcul des efforts sous les charges horizontales se fera par la méthode de MUTO.
Exposé de la méthode : voir Bulletin CTC 5.

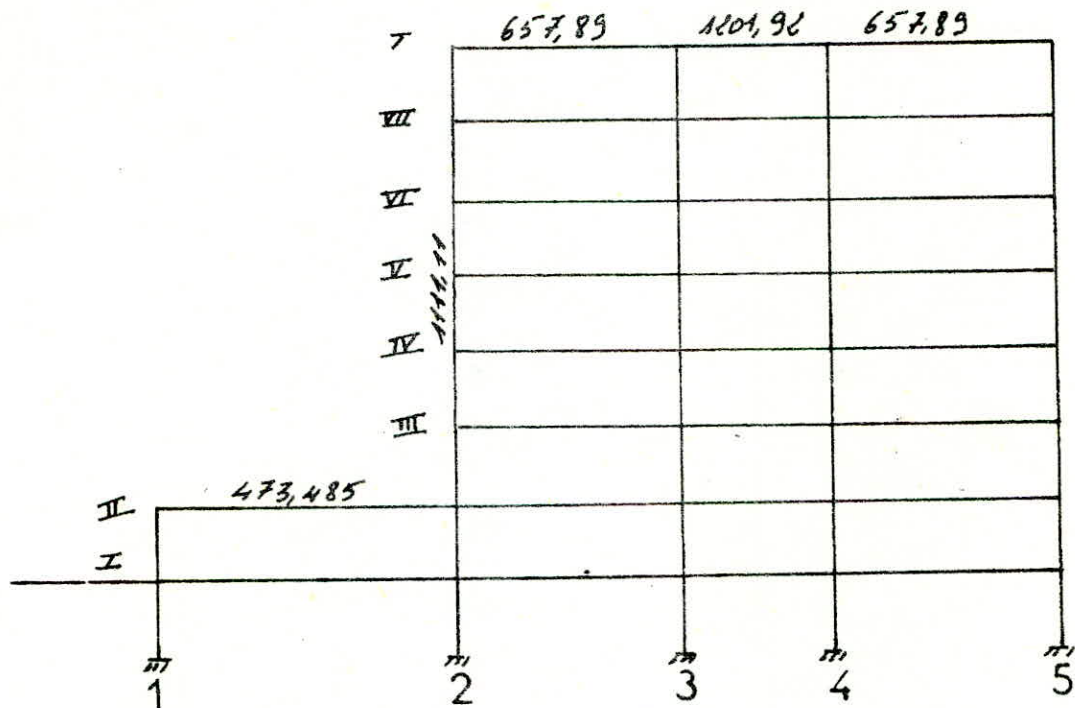
Conditions d'application de cette méthode :

- elle est applicable pour les batiments à étages rigides dans leur plan ayant une ossature composée portiques autostables reprenant la totalité des charges horizontales et verticales.
 - les charges sont supposées concentrées aux niveaux des planchers
 - le diagramme de répartition des charges en élévation est rectangulaire (cas du vent) ou triangulaire (seisme)
 - la raideur $\frac{I}{P}$ des poutres ne doit pas être trop faible devant la raideur $\frac{E}{P}$ des poteaux
 - la raideur $\frac{I}{P}$ des travées adjacentes d'une même portée ne doivent pas être trop différentes (rapport 0,5-2)
 - la raideur d'un poteau ne doit pas trop varier entre étages adjacents 0,5-2
 - absence de variation brusque de rigidité entre 2 niveaux adjacents
 - les poteaux dont $R < 0,1$ doivent être considérés comme ne faisant pas partie de l'ossature resistante aux charges horizontales
- Principe de la méthode :
- on distribue l'effort tranchant d'étage aux différents portiques proportionnellement à leur rigidité de niveau puis on distribue cet effort tranchant de niveau du portique aux différents poteaux composant le portique proportionnellement à leur rigidité, et enfin à partir des efforts tranchants affectant les poteaux on déduit les contraintes dans les poteaux et les poutres.

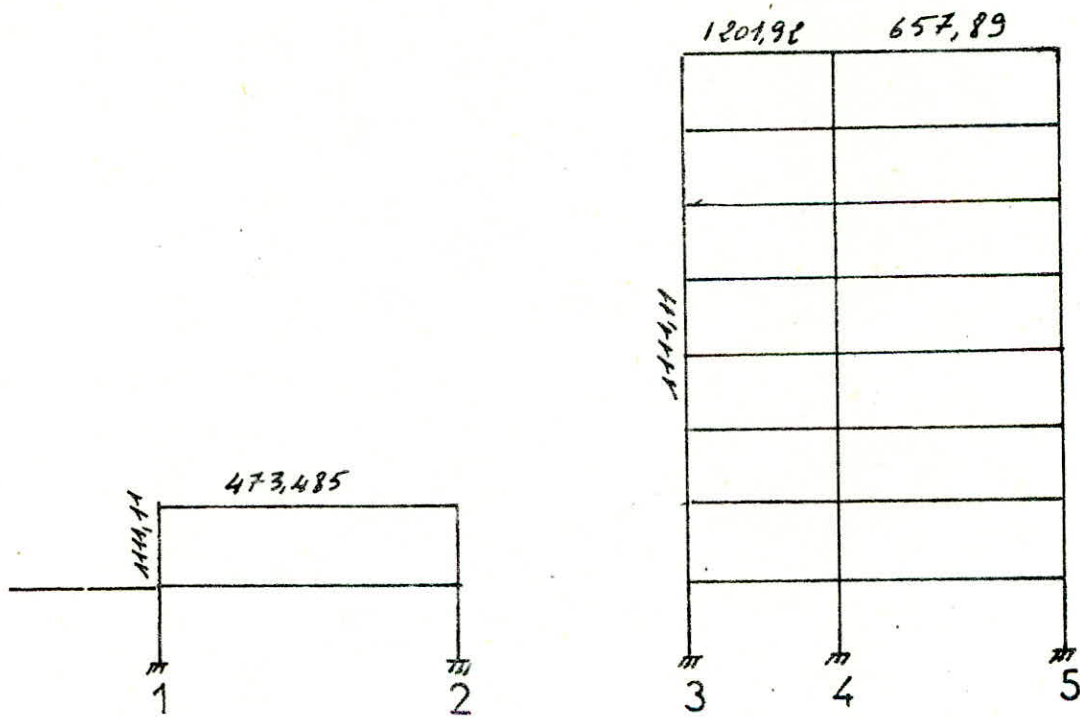
Etape du calcul

- 1 - calcul des rigidités linéaires des poteaux et des poutres
- 2 - calcul des coefficients R dans les sens x et y
- 3 - calcul des coefficients de correction a_{ij} des rigidités des poteaux, dans les deux sens.
- 4 - calcul des raideurs des poteaux corrigés $a_{ij}R$ dans les deux sens.
- 5 - calcul de la quantité $D_j = \sum_{i=1}^{n_p} a_{ij} k_i^j$ pour chaque niveau des différents portiques.
- 6 - calcul des rigidités de niveau R_{Jx}, R_{Jy}
- 7 - détermination du centre de torsion et la rigidité de torsion R_{Jz}
- 8 - calcul des efforts tranchants de niveau j revenant à chaque portique.
- 9 - calcul des moments dans les poutres et poteaux
- 10 - calcul des efforts tranchants et des efforts normaux.

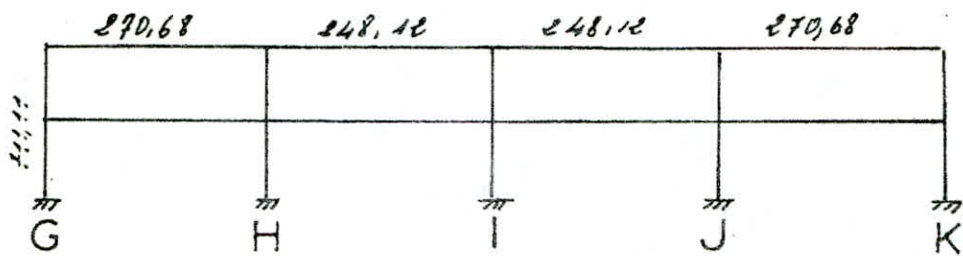
Portique longitudinal - GG - HH - JJ - KK -



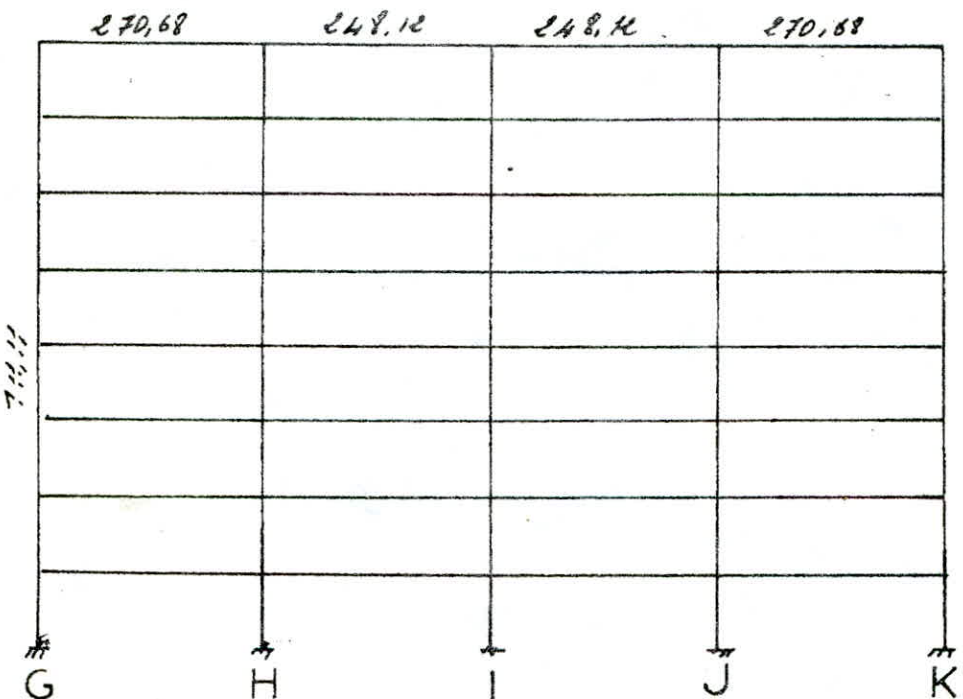
Portique longitudinal - II -



Portique transversal - 11 -



Portique transversal - 22 - 33 - 44 - 55 -



Rigidités relatives de niveau des portiques.

Portique transversal (11)

niv	file de poteau	\bar{k}	a	$K_p = \frac{I}{h} \text{ cm}^3$	$aK_p \text{ cm}^3$	$D_J = \sum aK_p$	$R_{Sj} = \frac{K_p E D_j}{h_j^2} (kg/km)$
R-I	G, K	0,38	0,37	711,11	263,11	1479,11	48664,37
	H, J	0,73	0,45	714,11	320,0		
	I	0,70	0,44	714,11	312,19		
I-II	G, K	0,38	0,16	411,11	143,78	796,45	26204,10
	H, J	0,73	0,27	714,11	196,0		
	I	0,70	0,26	714,11	184,89		

Portique transversal (2,2), (3,3), (4,4), (5,5)

niv	flé d'ac Poteau	\bar{K}	α	$K_P \text{ cm}^3$	$\alpha K_P \text{ cm}^3$	$D_J = \sum \alpha K_P$	$R_{JY} = \frac{12}{h_J^2} E D_J \text{ kg/cm}$
R-I	G.K	0,38	0,37	741,11	263,41	1479,11	48664,37
	H,J	0,73	0,45	741,11	320,0		
	I	0,70	0,44	741,11	312,89		
I.T	G.K	0,38	0,16	741,11	113,78	796,45	26204,10
	H,J	0,73	0,27	741,11	198,0		
	I	0,70	0,26	741,11	184,89		

Portique longitudinal (I,I)

niv	flé d'ac Poteau	\bar{K}	α	$K_P \text{ cm}^3$	$\alpha K_P \text{ cm}^3$	$D_J = \sum \alpha K_P$	$R_{JY} = \frac{12}{h_J^2} E D_J \text{ kg/cm}$
R-II	1	0,43	0,38	111,1	42,22	844,44	27783,03
	2	0,43	0,38	111,1	42,22		
I-II	1	0,43	0,18	111,1	20,0	400,00	13160,45
	2	0,43	0,18	111,1	20,0		
R-I	3	1,08	0,51	111,1	56,67	1689,83	55566,37
	4	1,67	0,59	111,1	65,5		
	5	0,59	0,42	111,1	46,67		
I-T	3	1,08	0,35	111,1	38,9,89	1155,56	38019,22
	4	1,67	0,46	111,1	51,11		
	5	0,59	0,23	111,1	25,56		

Portique Longitudinal: (G,G), (H,H), (J,J), (K,K)

niv	file de poteau	\bar{K}	a	$K_p = \frac{I}{\text{cm}^3} \cdot h$	$a K_p$ cm^3	$D_J = \sum a K_p$	$R_{Jx} = \frac{12}{h_J^2} \cdot \frac{E D_J}{\text{kg/cm}^2}$
R-I	1	0,43	0,38	1111,1	424,2	2755,55	90660,68
	2	1,02	0,50	1111,1	555,56		
	3	1,67	0,59	1111,1	655,55		
	4	1,67	0,59	1111,1	655,55		
	5	0,59	0,42	1111,1	466,67		
I-II	1	0,43	0,18	1111,1	200,0	1855,56	61050,00
	2	1,02	0,34	1111,1	377,78		
	3	1,67	0,46	1111,1	511,11		
	4	1,67	0,46	1111,1	511,11		
	5	0,59	0,23	1111,1	255,56		
II-III	2	0,81	0,29	1111,1	323,22	1600,0	58641,79
	3	1,67	0,46	1111,1	511,11		
	4	1,67	0,46	1111,1	511,11		
	5	0,59	0,23	1111,1	255,56		
	2	0,59	0,23	1111,1	255,56		
III-T	3	1,67	0,46	1111,1	511,11	1533,34	50448,60
	4	1,67	0,46	1111,1	511,11		
	5	0,59	0,23	1111,1	255,56		

32

Rigidité d'étage "j" R_j

Dans le sens x

$$R_{Jx} = L R_{Jx}(e,e) + R_{Jx}(I,I)$$

J	R_{Jx} (kg/cm)
I	4459992,18
II	295379,67
III	248586,38
IV	239813,68
V	239813,68
VI	239813,68
VII	239813,68
T	239813,68

Dans le sens y

$$R_{Jy} = L R_{Jy}(ee) + R_{Jy}(I,I)$$

J	R_{Jy} (kg/cm)
I	243321,85
II	131020,50
III	104816,40
IV	104816,40
V	104816,40
VI	104816,40
VII	104816,40
T	104816,40

Determination du centre de masse

Les coordonnées du centre de masse sont données par application des formules classiques :

$$x_G = \frac{\sum m_i x_i}{\sum m_i}$$

$$y_G = \frac{\sum m_i y_i}{\sum m_i}$$

on a une sym.
dans le sens
dans les tableaux
suivants :

centre de masse niveau Terrasse :

Element	m_i [t]	x_{G_i} [m]	$m_i \cdot x_{G_i}$ t.m
poutre trans	14,04	12,90	142,24
poutre long	20,92	13,20	276,14
poteaux	18,75	12,9	241,88
plancher	68,13	13,87	944,96
Σ	118,84	13,51	1605,40

centre de masse niveau Etage courant (III → VII)

Element	m_i [t]	x_{G_i} [m]	$m_i \cdot x_{G_i}$ [t.m]
poutre trans	14,04	12,90	142,24
poutre long	20,92	13,20	276,14
poteaux	37,50	12,9	483,75
plancher	55,86	13,87	774,78
Σ	125,32	13,38	1677,09

centre de masse niveau Etage courant (II)

Element	m_i [t]	x_{G_i} [m]	$m_i \cdot x_{G_i}$ [t.m]
poutre trans	13,78	10,39	143,17
poutre long	33,27	9,62	463,23
poteaux	42,81	11,49	484,99
plancher	68,28	12,41	847,35
Σ	157,54	12,19	1980,90

centre de masse nivéau étage courant (I)

élément	m_i [t]	x_{G_i} [cm]	$m_i x_i$ [t.m]
poutre trans	13,78	10,39	143,17
poutre long	33,27	-9,62	320,06
poteaux	46,88	10,37	486,15
plancher	95,30	9,6	914,88
palier	20,36	-1,23	-25,04
Σ	209,59	8,78	1839,21

Rigidité relative de torsion

a) Centre de torsion:

- Sens transversal: vu la symétrie de notre construction, on prendra en compte la torsion accidentelle 5%.

$$5\%L = \frac{5 \times 13,8}{100} = 6,75 \text{ cm}$$

- Sens longitudinal: le centre de torsion est éloigné par rapport aux axes ox et oy extérieurs des portiques: (1,1) et (K-K)

ses coordonnées x_{C_J} et y_{C_J} sont données par

$$x_{C_J} = \frac{\sum R_{sy}^{(t)} x_s^{(t)}}{R_{sy}} \quad y_{C_J} = \frac{\sum R_{sx}^{(t)} y_s^{(t)}}{R_{sx}}$$

niv	centre de masse	centre de torsion	diffr. [m]	5%L (m)
I	8,78	10,37	1,59	0,675
II	12,19	10,37	1,82	0,675
III-IV	13,88	12,90	0,48	0,675
V	13,51	12,90	0,61	0,675

Coordonnées des portiques

par rapport au centre de torsion:

niveau I:

X_{11}	X_{22}	X_{33}	X_{44}	X_{55}	Y_{66}	Y_{1H}	Y_{33}	Y_{55}	Y_{1K}
-10,12	-3,52	1,83	3,83	8,58	7,575	1,875	0,675	-3,925	-6,825

niveau II

X_{11}	X_{22}	X_{33}	X_{44}	X_{55}	Y_{66}	Y_{1H}	Y_{1E}	Y_{55}	Y_{KK}
-10,12	-3,52	1,83	3,83	8,58	7,575	1,875	0,675	-2,925	-6,825

niveau III $\rightarrow T$

	X_{22}	X_{33}	X_{44}	X_{55}	Y_{66}	Y_{1H}	Y_{1E}	Y_{55}	Y_{KK}
	-6,05	-1,3	1,3	6,05	7,575	4,075	0,675	-6,925	-6,825

La rigidité à la torsion de l'étage J est donnée par la formule:

$$R_{J\theta} = \sum_{t=1}^n R_{JY}^{(t)} (X_J^{(t)})^2 + \sum_{p=1}^m R_{JX}^{(p)} (Y_J^{(p)})^2$$

où X_J et Y_J sont les coordonnées des portiques:

niveau	$R_{J\theta}$	k_{θ} , cm
I	17180000,15 10^4	
II	10810233,03 10^4	
III $\rightarrow T$	7439899,45 10^4	

Etude du séisme

Determination des charges soumises
à l'action sismique

Les charges soumises à l'action sismique sont supposées
concentrées au niveau des plancher, la charge sismique
est:

$$W = G + P/e$$

G = poids propre

P/e = une fraction des surcharges

poids de la structure:

niveau	W [t]	P/e [t]	S (m^2)	$W + P/e$ [t]
Terr	154,51	6,64	132,78	161,149
III → VII	159,37	16,59	132,78	175,969
II	231,37	27,98	223,86	259,359
I	255,98	33,67	269,4	289,659
R.D.C	79,65	44,77	223,86	124,421

$$W_1 = 1714,43 \text{ t}$$

Calcul des forces sismiques

RPA 81 Art 31

$$V = A \cdot D \cdot B \cdot Q \cdot W$$

Determination des différents paramètres:

$$A = 0,15 \text{ (groupe II zone II)}$$

$$D = \sqrt{\frac{0,5}{T}} \text{ sol meuble}$$

$$B = \frac{1}{4} \text{ portique autoportante}$$

$$Q = 1 + \sum_{q=1}^{q=6} P_q \quad Q_{long} = 1,3$$

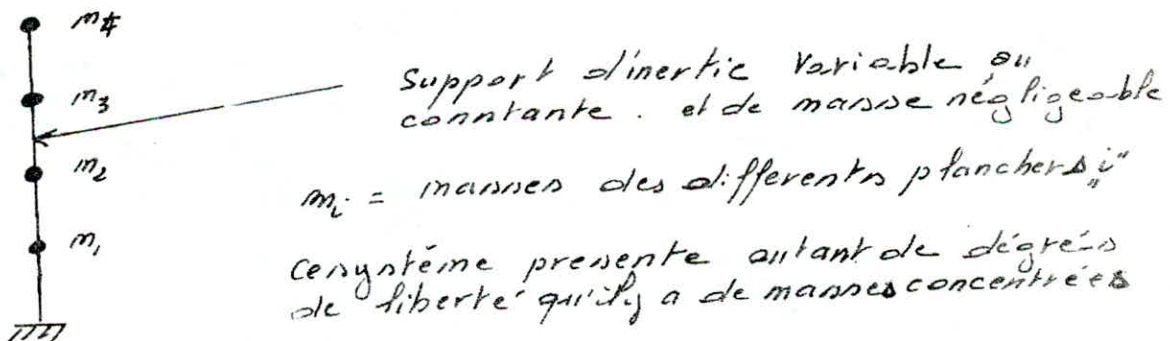
$$Q_{trans} = 1,1$$

valeur de pénalité P_g (RPA81 page 24)

n	CRITERE	Valeur de P_g			
		observé Long Trans	non observé Long Trans		
1	cond min des filos porteuses	0	91		
2	surabondance en plan	0,1	0		
3	Symétrie en plan	0	0		
4	regularité en élévation			0,1	0,1
5	contrôle de qualité const			0	0
6	contrôle de qualité matériau			0.	0

- Etude modale -

pour les bâtiments à étages tel que le notre, on pourra choisir un système de masses m_1, m_2, \dots concentrées au niveau de chaque plancher :



Méthode d'HOLZER transformée.

cette méthode numérique est une application directe de la méthode HOLZER utilisée normalement dans le calcul dynamique des machines outils.

Le principe de cette méthode est le suivant : on suppose l'existence d'un portique transversal faisant partie d'une structure à "mâts" et "rangées de poteaux" à chaque niveau K se trouve une masse concentrée m_K . lors d'un choc imposé la structure exécute un mouvement oscillatoire autour de sa position d'équilibre statique.

selon sa forme fondamentale, pendant ce mouvement, chaque point de la structure aura une pulsation $\omega_1, \omega_2, \omega_3$ donc une fréquence f_1, f_2 et f_3 donc une période T_1, T_2, T_3 .

Comme suite à l'existence des masses m_k , à chaque étage niveau agiront des forces F_k lesquelles auront comme valeurs maximales :

$$F_k = m_k \cdot \omega_i^2 \cdot x_k$$

$$\text{avec } x_k = x_{k+1} - \Delta_{k,k+1}$$

on détermine la pulsation ω_i par :

$$\omega_i^2 = q_i \cdot \frac{R_0}{m_0} \quad \text{avec } R_0 = \frac{K EI_0}{l_0^3}$$

I_0 et R_0 étant des valeurs de référence arbitrairement choisies, pour déterminer la pulsation ω_i , on doit passer par des tableaux de calcul de rigidité.

Ces dernières (ω_i) seront obtenues par un processus itératif.

Forme propre des niveaux ϕ_i

Longitudinal:

	ϕ_1	ϕ_2	ϕ_3	ϕ_4	ϕ_5	ϕ_6	ϕ_7	ϕ_8
1 ^{er} Node	1	0,9610	0,8927	0,7918	0,6621	0,5083	0,3359	0,1477
2 ^{eme} mode	1	0,6942	0,1338	-0,2934	-0,7367	-0,9694	-0,9248	-0,4955
3 ^{eme} mode	1	0,2418	-0,5788	-0,9891	-0,6982	0,0878	0,08115	0,6887

Transversal:

	ϕ_1	ϕ_2	ϕ_3	ϕ_4	ϕ_5	ϕ_6	ϕ_7	ϕ_8
1 ^{er} Node	1	0,9539	0,8792	0,7692	0,6286	0,4628	0,2785	0,1194
2 ^{eme} mode	1	0,6402	0,1545	-0,3794	-0,7948	-0,9622	-0,8293	-0,4255
3 ^{eme} mode	1	0,1479	-0,6384	-0,9527	-0,5630	0,2428	0,8692	0,6151

Vérification de l'orthogonalité

$$\sum_{i=1}^8 m_i x_i y_i = 0$$

avec m_i = masse du niveau i
 $x_i = \phi_{\text{longitudinal}}$ } 1^{er} Mode
 $y_i = \phi_{\text{transversal}}$ } 2^{eme} Mode

longitudinal:

$$\begin{aligned}
 & 161,149 \times 1 \times 1 \\
 & 175,969 \times 0,9610 \times 0,6942 \\
 & 175,969 \times 0,8927 \times 0,1338 \\
 & 175,969 \times 0,7918 \times (-0,2934) \\
 & 175,969 \times 0,6621 \times (-0,7367) \\
 & 175,969 \times 0,5083 \times (-0,9694) \\
 & 259,359 \times 0,3359 \times (-0,9248) \\
 & 289,659 \times 0,1477 \times (-0,4955)
 \end{aligned}$$

$$\Sigma = 0,083$$

transversal:

$$\begin{aligned}
 & 161,149 \times 1 \times 1 \\
 & 175,969 \times 0,9539 \times 0,6402 \\
 & 175,969 \times 0,8792 \times 0,1545 \\
 & 175,969 \times 0,7692 \times (-0,3794) \\
 & 175,969 \times 0,6286 \times (-0,7948) \\
 & 175,969 \times 0,4628 \times (-0,9622) \\
 & 259,359 \times 0,2785 \times (-0,8293) \\
 & 289,659 \times 0,1194 \times (-0,4255)
 \end{aligned}$$

$$\Sigma = 0,44$$

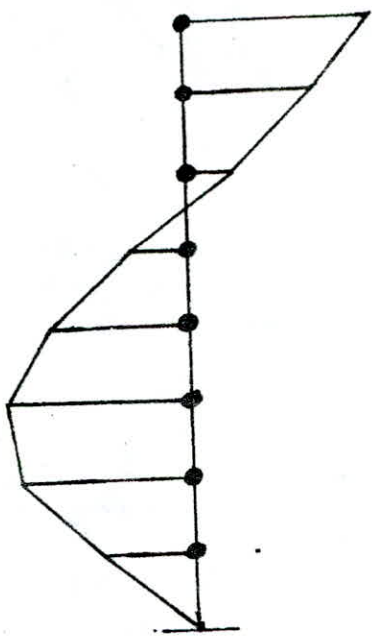
interprétation des tableaux précédents:



longitudinalement:
1^{er} mode

$$\omega_1 = 9,0741 \text{ rad/s}$$

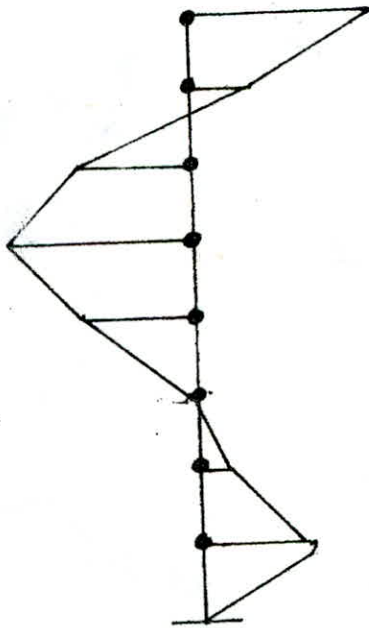
$$T_1 = 0,6984 \text{ s}$$



2^e mode

$$\omega_2 = 25,4246 \text{ rad/s}$$

$$T_2 = 0,1471 \text{ s}$$



3^e mode ..

$$\omega_3 = 40,0365 \text{ rad/s}$$

$$T_3 = 0,1570 \text{ s}$$

Remarque :

dans le sens longitudinal $T < 0,7 \text{ s}$ l'analyse modale ne s'impose pas

Transversalement:

1^{er} mode

$$\omega_1 = 8,1099 \text{ rad/s}$$

$$T_1 = 0,7748 \text{ s}$$

2^e mode

$$\omega_2 = 22,6594 \text{ rad/s}$$

$$T_2 = 0,2773 \text{ s}$$

3^e mode

$$\omega_3 = 34,8689 \text{ rad/s}$$

$$T_3 = 0,1802 \text{ s}$$

Determination des forces latérales

Sens transversal:
 Méthode de calcul: Après la détermination des périodes propres et des formes propres on détermine le facteur de contribution de chaque mode qui est:

$$\Gamma_i = \frac{\sum_{K=1}^n w_k \phi_{ki}}{\sum_{K=1}^n w_k \phi_{K,i}}$$

avec i rang du mode
 K indice d'étage
 n nbre total d'étage
 w_k poids total de l'étage K
 ϕ_{ki} = forme propre de l'étage K
 et du mode de vibration i

Détermination du facteur d'amplification dynamique moyen:

A chaque période T_i correspond un facteur d'amplification dynamique Δ_i donné par le spectre de réponse RPA 81.

Evaluation des forces sismiques:

L'effort au niveau K pour le mode i est donné par:

$$F_{Ki} = \Gamma_i \cdot w_k \cdot A \cdot D_i \cdot B \cdot Q \cdot \phi_{ki}$$

et l'application résultante des modes considérés est donnée par:

$$F_K = \sqrt{\sum_i F_{Ki}^2}$$

Sens transversal:

Niv	1 ^{er} Nœde	2 ^{em} Nœde	3 ^{eme} mode	Forme quadratig
1	19,196	38,0887	39,8062	54,614
2	21,089	34,956	40,9835	57,805
3	16,404	24,189	-8,2954	30,381
4	16,665	19,873	-18,719	28,887
5	-16,534	-9,9657	-7,787	20,816
6	-16,249	-3,8728	-1,722	16,793
7	-15,832	-11,814	2,549	19,762
8	-14,148	-9,814	7,336	18,6035

sens longitudinal:

La force latérale totale V doit être distribuée sur toute la hauteur du bâtiment selon:

$$V = F_L + \sum_{i=1}^n F_i \quad \text{Art 3.7A}$$

F_L = force concentrée au sommet de la structure

$$F_L = 0,077V \quad \text{Art 3.7B} \quad \text{avec } F_L < 0,25V$$

$$\text{et } F_L = 0 \text{ si } T \leq 0,7\Delta$$

La partie restante de la force totale V doit être distribuée sur la hauteur selon:

$$F_k = \frac{(V - F_L) W_k h_k}{\sum_{i=1}^n W_i h_i}$$

application:

$$V = 0,15 \cdot \frac{1}{4} \cdot 1,3 \cdot 1,7343 \cdot 1714,43 = 144,954$$

$$T = 0,665 < 0,7 \Rightarrow F_L = 0 \quad V = \sum_{j=1}^n F_j \quad \text{avec } F_j = V \cdot \frac{W_j h_j}{\sum_{i=1}^n W_i h_i}$$

longitudinal

transversal.

Niv	W_j [t]	h_j [m]	$W_j h_j$ [tm]	$F_{JX}(t)$	$F_{JX}^c(t)$	$F_{JY}(t)$	$F_{JY}^c[t]$
T	161,149	31,95	5148,71	28,807	28,807	18,603	18,603
VI	175,969	27,95	4918,85	27,518	56,325	19,7628	38,366
V	175,966	23,95	4244,45	23,580	79,905	16,793	55,159
IV	175,969	19,95	3510,58	19,642	99,547	10,816	75,975
III	175,969	15,95	2805,70	15,704	115,251	8,287	104,98
II	175,969	11,95	2148,83	11,766	127,07	30,382	134,664
I	259,359	7,95	2061,904	11,532	138,554	57,805	190,445
	289,424	3,95	1143,21	6,396	144,95	54,614	847,02

Effort tranchant de niveau "j"
revenant à chaque "portique"

La force F_j due au niveau appliquée au plancher "j" passe par le point G_j qui est le centre de masse du plancher "j".

Notons : T_{Jx} l'effort tranchant de l'étage "j" dans le sens longitudinal

T_{Jy} l'effort tranchant de l'étage "j" dans le sens transversal.

L'effort tranchant de l'étage "j". T_{Jx} dans la direction x passant par G_j est équivalente à T_{Jx} passant par C_j plus un couple de torsion :

$$M_{Jx}^{\text{torsion}} = T_{Jx} \cdot Y_G$$

Etant donné que le niveau n'agit pas simultanément dans les 2 directions :

- sous l'action de T_{Jx} , il en résulte un effort tranchant T_{Jx} de niveau "j" dans un portique longitudinal quelconque
- sous l'action de T_{Jy} il en résulte un effort tranchant T_{Jy} de niveau "j" dans un portique transversal.

$$\overline{T}_{Jx}^{(t)} = T_{Jx} \frac{R_{Jx}^t}{S_{Jx}^t} + T_{Jx} \frac{R_{Jx} Y_J}{S_{Jx}^t} Y_G$$

$$\overline{T}_{Jy}^{(t)} = T_{Jy} \frac{R_{Jy}^t}{S_{Jy}^t} + T_{Jy} \frac{R_{Jy} X_J}{S_{Jy}^t} X_G$$

LONGITUDINAL

niv	Partig	Z_{JX} [t]	P_{JX} kg/cm	R_{JX} kg/cm	$\gamma_3^{(g)}$ cm	P_{JZ} kg/cm	Y_G (cm)	$T_{JX}^{(h)}$ (t)
I	GG	28,807	50448,60	239813,62	757,5	7439899,45	67,5	7,059
	HH				427,5			6,624
	JJ				-292,5			6,06
	KK				-622,5			6,06
	II				67,5			4,634
VII	GG	56,325	50448,60	239813,62	757,5	7439899,45	67,5	13,802
	HH				427,5			10,951
	JJ				-292,5			11,849
	KK				-622,5			11,849
	II				67,5			9,061
VI	GG	79,905	50448,60	239813,62	757,5	7439899,45	67,5	19,580
	HH				427,5			18,373
	JJ				-292,5			16,809
	KK				-622,5			16,809
	II				67,5			18,854
V	GG	99,547	50448,60	239813,62	757,5	7439899,45	67,5	24,393
	HH				427,5			23,889
	JJ				-292,5			20,941
	KK				-622,5			20,941
	II				67,5			16,014
IV	GG	115,257	50448,60	239813,62	757,5	7439899,45	67,5	28,241
	HH				427,5			26,15
	JJ				-292,5			24,645
	KK				-622,5			24,645
	II				67,5			18,54
III	GG	127,017	52641,79	248586,38	757,5	7439899,45	67,5	31,493
	HH				427,5			29,491
	JJ				-292,5			26,899
	KK				-622,5			26,899
	II				67,5			19,222
II	GG	138554	61050,00	295379,67	427,5	10810233,33	182	39,424
	HH				407,5			34,784
	JJ				-292,5			28,637
	KK				-622,5			28,637
	II				67,5			18,438
I	GG	144,950	90660,68	445998,12	757,5	13180000,15	159	38,678
	HH				427,5			34,665
	JJ				-292,5			29,465
	KK				-622,5			29,465
	II				67,5			18,563

TRANSVERSAL

nir	partig	I_{JY} (t)	R_{JY} (kg/cm)	R_{sy} (kg/cm)	X_J^* (cm)	R_{JO} kg/cm	X_0 cm	T_{JY} (t)
T	22	18,603	26204,10	104816,4	-605	7439899,45 10 ⁴	67,5	4,651
	33				-130			4,651
	44				130			4,708
	55				605			4,918
VII	22	38,366	26204,10	104816,4	-605	7439899,45 10 ⁴	67,5	9,532
	33				-130			9,532
	44				130			9,710
	55				605			10,143
VI	22	55,159	26204,10	104816,4	-605	7439899,45 10 ⁴	67,5	13,79
	33				-130			13,79
	44				130			13,96
	55				605			14,583
IV	22	75,975	26204,10	104816,4	-605	7439899,45 10 ⁴	67,5	18,994
	33				-130			18,994
	44				130			19,829
	55				605			20,058
III	22	104,262	26204,10	104816,4	-605	7439899,45 10 ⁴	67,5	26,066
	33				-130			26,066
	44				130			26,388
	55				605			27,565
II	22	134,664	26204,10	104816,4	-605	7439899,45 10 ⁴	67,5	33,661
	33				-130			33,661
	44				130			34,077
	55				605			35,598
I	11	192,449	26204,10	131020,5	-1012	10810233,03 10 ⁴	67,5	34,442
	22				-352			38,412
	33				123			38,877
	44				383			39,696
	55				858			41,132
	11	247,063	48664,37	243384,85	-1012	1718000015 10 ⁴	67,5	49,413
	22				-352			49,413
	33				123			49,994
	44				383			51,222
	55				858			53,466

Remarque : les efforts tranchants négatifs ainsi que moments de torsions sont négligés.

Calcul des déplacements de niveau "j"

Le déplacement de niveau est donné par :

$$\text{la relation: } \Delta_j = \frac{T_j}{R_j}$$

avec T_j effort transversal de niv "j"

R_j rigidité relative de niv "j"

$$\text{La flèche du niveau "j" sera: } \delta_j = \sum_{j=1}^n \Delta_j$$

Dans le sens longitudinal portique G-G

sens transversal.

portique: 5,5

niv	R_{Jx} t/cm	T_{Jy} [t]	Δ_{Jx} cm	$S_{Jx} = \sum \Delta_{Jx}$ cm
I	50,44	7,059	0,14	3,517
VII	50,44	13,80	0,274	3,373
VI	50,44	19,58	0,388	3,103
II	50,44	24,39	0,484	3,715
IV	50,44	28,24	0,560	2,831
III	52,64	31,49	0,598	1,671
II	61,05	39,46	0,646	1,073
I	90,66	38,67	0,487	0,487

niv	R_{Jy} t/cm	T_{Jy} [t]	Δ_{Jy} cm	$S_{Jy} = \sum \Delta_{Jy}$ cm
T	26,20	4,918	0,188	6,881
VII	26,20	10,143	0,387	6,693
VI	26,20	14,583	0,557	6,306
II	26,20	20,087	0,767	5,749
IV	26,20	27,565	1,052	6,982
III	26,20	35,598	1,359	3,930
II	26,20	41,192	1,472	6,571
I	48,664	53,166	1,099	1,099

Verification des déplacements relatifs des niveaux.

Les déplacements relatifs de niveaux calculés à partir des forces laterales doivent être multipliés par le rapport $\frac{1}{\sqrt{B}}$. Il faut vérifier que $\frac{1}{\sqrt{B}} \Delta \leq 0,0075 h$ à tous les niveaux.

$$h=400 \text{ cm} \quad B=\frac{1}{4}$$

niv	Δ_{Jx} (cm)	$\frac{1}{\sqrt{B}} \Delta_{Jx}$ (cm)	Δ_{Jy} (cm)	$\frac{1}{\sqrt{B}} \Delta_{Jy}$ (cm)	$0,0075 h_j$ cm
I	0,140	0,376	0,188	0,476	3,0
VII	0,274	0,746	0,387	0,874	3,0
VI	0,388	0,776	0,557	1,114	3,0
II	0,484	1,068	0,767	1,534	3,0
IV	0,560	1,120	1,052	2,104	3,0
III	0,598	1,196	1,359	2,718	3,0
II	0,646	1,296	1,472	2,944	3,0
I	0,487	0,854	1,099	2,198	3,0

Calcul des efforts tranchants
revenant à chaque poteau:

47

des portiques longitudinaux et transversaux les plus sollicités

$$t_j^{(i)} = \frac{a_j^i}{\sum_{j=1}^n k_p^i} K_p^i T_j$$

longitudinal

niv	file de poteau	$\frac{a_k p}{\sum a_k p}$	T_{Jx} [t]	t_{Jx}^i [r]
T	1	0,167	9,059	1,179
	3	0,167	9,059	2,351
	4	0,167	9,059	2,351
	5	0,167	9,059	1,179
VII	2	0,167	13,802	2,305
	3	0,333	13,802	4,596
	4	0,333	13,802	4,596
	5	0,167	13,802	2,305
II	2	0,167	19,58	3,670
	3	0,333	19,58	6,52
	4	0,333	19,58	6,52
	5	0,167	19,58	3,670
F	2	0,167	24,393	4,074
	3	0,333	24,393	8,123
	4	0,333	24,393	8,123
	5	0,167	24,393	4,074
IV	2	0,167	28,141	4,716
	3	0,333	28,141	9,404
	4	0,333	28,141	9,404
	5	0,167	28,141	4,716
III	2	0,201	31,493	6,33
	3	0,319	31,493	10,046
	4	0,319	31,493	10,046
	5	0,160	31,493	5,039
II	1	0,108	39,464	8,042
	2	0,245	39,464	10,842
	3	0,675	39,464	10,842
	4	0,198	39,464	5,441
	5	0,153	39,464	5,441
I	1	0,202	38,678	6,012
	2	0,138	38,678	2,813
	3	0,138	38,678	9,225
	4	0,238	38,678	9,205
	5	0,169	38,678	6,534

Transversal.

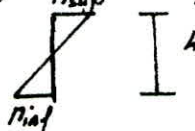
niv	file de poteau	$\frac{a_k p}{\sum a_k p}$	T_{Jy} [t]	t_{Jy}^i [t]
T	G	0,143	4,198	0,703
	H	0,241	4,198	1,185
	I	0,232	4,198	1,141
	J	0,241	4,198	1,185
VII	K	0,143	4,198	0,703
	G	0,143	10,143	1,1450
	H	0,241	10,143	2,444
	I	0,232	10,143	2,353
II	J	0,241	10,143	2,444
	K	0,143	10,143	1,1450
	G	0,143	14,583	2,085
	H	0,241	14,583	3,515
EL	I	0,232	14,583	3,383
	J	0,241	14,583	3,515
	K	0,143	14,583	2,085
	G	0,143	20,087	2,872
IV	H	0,241	20,087	4,841
	I	0,232	20,087	4,660
	J	0,241	20,087	4,841
	K	0,143	20,087	2,872
III	G	0,143	27,565	3,942
	H	0,241	27,565	6,643
	I	0,232	27,565	6,395
	J	0,241	27,565	6,643
III	K	0,143	27,565	3,942
	G	0,143	35,598	5,091
	H	0,241	35,598	8,579
	I	0,232	35,598	8,159
	J	0,241	35,598	8,579
II	K	0,143	35,598	5,091
	G	0,143	44,192	5,890
	H	0,241	44,192	9,927
	I	0,232	44,192	9,557
	J	0,241	44,192	9,927
I	K	0,143	44,192	5,890
	G	0,178	53,466	9,547
	H	0,216	53,466	11,549
	I	0,212	53,466	11,335
	J	0,216	53,466	11,549
I	K	0,178	53,466	9,547

Moment fléchissant dans les poteaux 48

Les moments sont donnés par :

a) la position du point d'inflexion $y = y_0 + y_1 + y_2 + y_3$ (CTC N° 5)

b) $M_{\text{inf}} = b \cdot z$



$M_{\text{Sup}} = t(h-z)$

portique transversal:

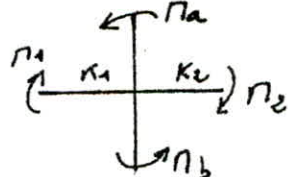
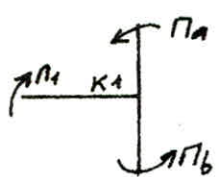
NIV	$\frac{h}{t}$	$t_{j_x} (H)$	y_0	y_1	y_2	y_3	y	$h(m)$	$z=yh$	M_{inf} Nm	$b \cdot z$ m	M_{Sup} Nm
T	GG	0,703	0,19	0	0	0	0,19	4	0,76	0,534	3,64	2,878
	HH	1,185	0,315	0	0	0	0,315	4	1,26	1,493	2,74	3,247
	II	1,141	0,3	0	0	0	0,3	4	1,2	1,369	2,18	3,195
	JJ	1,185	0,315	0	0	0	0,315	4	1,26	1,493	2,74	3,247
	KK	0,703	0,19	0	0	0	0,19	4	0,76	0,534	3,124	2,678
VII	GG	1,450	0,34	0	0	0	0,34	4	1,36	1,972	4,64	3,828
	HH	2,444	0,4	0	0	0	0,4	4	1,6	3,910	2,4	5,866
	II	2,353	0,4	0	0	0	0,4	4	1,6	3,765	4,4	5,647
	JJ	2,444	0,4	0	0	0	0,4	4	1,6	3,910	2,4	5,866
	KK	1,450	0,34	0	0	0	0,34	4	1,36	1,972	2,164	3,828
VI	GG	2,085	0,39	0	0	0	0,39	4	1,56	3,153	2,44	5,087
	HH	3,515	0,51	0	0	0	0,51	4	2,04	7,171	1,96	6,889
	II	3,383	0,45	0	0	0	0,45	4	1,8	6,089	2,2	7,463
	JJ	3,515	0,51	0	0	0	0,51	4	2,04	7,171	1,96	6,889
	KK	2,085	0,39	0	0	0	0,39	4	1,56	3,153	2,44	5,087
I	GG	2,872	0,44	0	0	0	0,44	4	1,76	5,055	2,24	6,433
	HH	4,841	0,45	0	0	0	0,45	4	1,8	8,714	2,2	10,65
	II	4,660	0,45	0	0	0	0,45	4	1,8	8,388	2,2	10,65
	JJ	4,841	0,45	0	0	0	0,45	4	1,8	8,714	2,2	10,65
	KK	2,872	0,44	0	0	0	0,44	4	1,76	5,055	2,24	6,433
IV	GG	3,942	0,43	0	0	0	0,45	4	1,8	7,096	2,2	8,672
	HH	6,643	0,465	0	0	0	0,465	4	1,86	12,356	2,14	14,916
	II	6,395	0,45	0	0	0	0,45	4	1,8	11,511	2,2	14,069
	JJ	6,643	0,465	0	0	0	0,465	4	1,86	12,356	2,14	14,916
	KK	3,942	0,45	0	0	0	0,45	4	1,8	7,096	2,2	8,672
III	GG	5,091	0,5	0	0	0	0,5	4	2	10,182	2	10,182
	HH	8,579	0,5	0	0	0	0,5	4	2	17,158	2	17,158
	II	8,579	0,5	0	0	0	0,5	4	2	16,518	2	16,518
	JJ	8,579	0,5	0	0	0	0,5	4	2	17,158	2	17,158
	KK	5,091	0,5	0	0	0	0,5	4	2	10,182	2	10,182
II	GG	5,890	0,56	0	0	0	0,56	4	2,24	13,194	1,76	10,366
	HH	9,927	0,5	0	0	0	0,5	4	2	19,854	2	19,854
	II	9,557	0,5	0	0	0	0,5	4	2	19,114	2	19,114
	JJ	9,927	0,5	0	0	0	0,5	4	2	19,854	2	19,854
	KK	5,890	0,56	0	0	0	0,56	4	2,24	13,194	1,76	10,366
I	GG	9,517	0,86	0	0	0	0,86	4	3,18	31,816	0,72	6,852
	HH	11,549	0,7	0	0	0	0,7	4	2,8	36,337	1,2	13,602
	II	11,335	0,7	0	0	0	0,7	4	2,8	31,337	1,2	13,859
	JJ	11,549	0,7	0	0	0	0,7	4	2,8	36,337	1,2	13,602
	KK	9,517	0,86	0	0	0	0,86	4	3,18	31,816	0,72	6,852

Parte norte longitudinal:

nir	f_{sc} de partida	t_{sy} (h)	y_0	y_1	y_2	y_3	y	h m	$3=yh$	Pinf_{tm}	$h-3$	P_{sup} t_m
T	2	1,172	0,3	0	0	0	0,3	4	1,2	1,406	2,8	3,282
	3	2,351	0,417	0	0	0	0,417	4	1,66	4,019	2,33	5,48
	4	2,351	0,417	0	0	0	0,417	4	1,66	4,019	2,33	5,48
	5	1,172	0,3	0	0	0	0,3	4	1,2	1,406	2,8	3,282
III	2	2,305	0,40	0	0	0	0,40	4	1,6	3,688	2,4	5,53
	3	4,596	0,45	0	0	0	0,45	4	1,8	8,273	2,2	10,41
	4	4,596	0,45	0	0	0	0,45	4	1,8	8,273	2,2	10,41
	5	2,305	0,40	0	0	0	0,40	4	1,6	3,688	2,4	5,53
IV	2	3,27	0,45	0	0	0	0,45	4	1,8	5,886	2,2	7,197
	3	6,52	0,484	0	0	0	0,484	4	1,93	12,62	2,06	13,45
	4	6,52	0,484	0	0	0	0,484	4	1,93	12,62	2,06	13,45
	5	3,27	0,45	0	0	0	0,45	4	1,8	5,886	2,2	7,197
I	2	4,074	0,45	0	0	0	0,45	4	1,8	7,33	2,2	8,963
	3	8,183	0,484	0	0	0	0,484	4	1,93	15,72	2,06	16,766
	4	8,183	0,484	0	0	0	0,484	4	1,93	15,72	2,06	16,766
	5	4,074	0,45	0	0	0	0,45	4	1,8	7,33	2,2	8,963
II	2	4,716	0,45	0	0	0	0,45	4	1,8	8,489	2,2	10,375
	3	9,1404	0,484	0	0	0	0,484	4	1,93	18,206	2,06	19,41
	4	9,1404	0,484	0	0	0	0,484	4	1,93	18,206	2,06	19,41
	5	4,716	0,45	0	0	0	0,45	4	1,8	8,489	2,2	10,375
III	2	6,33	0,5	0,1	0	0	0,5	4	2,4	12,66	1,6	19,18
	3	10,046	0,5	0	0	0	0,5	4	2	20,092	2	20,092
	4	10,046	0,5	0	0	0	0,5	4	2	20,092	2	20,092
	5	6,33	0,5	0	0	0	0,5	4	2	10,078	2	10,078
II	1	3,401	0,55	0,65	0	0	0,55	4	3,2	10,893	0,8	11,728
	2	8,042	0,5	0	0	0	0,5	4	2,4	18,014	1,76	14,164
	3	10,842	0,5	0	0	0	0,5	4	2	21,684	2	24,68
	4	10,842	0,5	0	0	0	0,5	4	2	21,684	2	24,68
	5	5,441	0,55	0	0	0	0,55	4	2,2	11,97	1,8	9,794
I	1	6,932	0,785	0	0	0	0,785	4	3,032	18,28	0,96	5,839
	2	7,813	0,65	0	0	0	0,65	4	2,6	20,31	1,4	10,839
	3	9,205	0,617	0	0	0	0,617	4	2,468	21,71	1,53	14,110
	4	9,205	0,617	0	0	0	0,617	4	2,468	22,71	1,53	14,110
	5	6,534	0,7	0	0	0	0,7	4	2,8	18,30	1,2	7,844

50

Moments dans les poutres



$$M_1 = \frac{k_1}{k_1 + k_2} (M_a + M_b)$$

$$M_c = \frac{k_e}{k_i + k_e} (n_a + M_b)$$

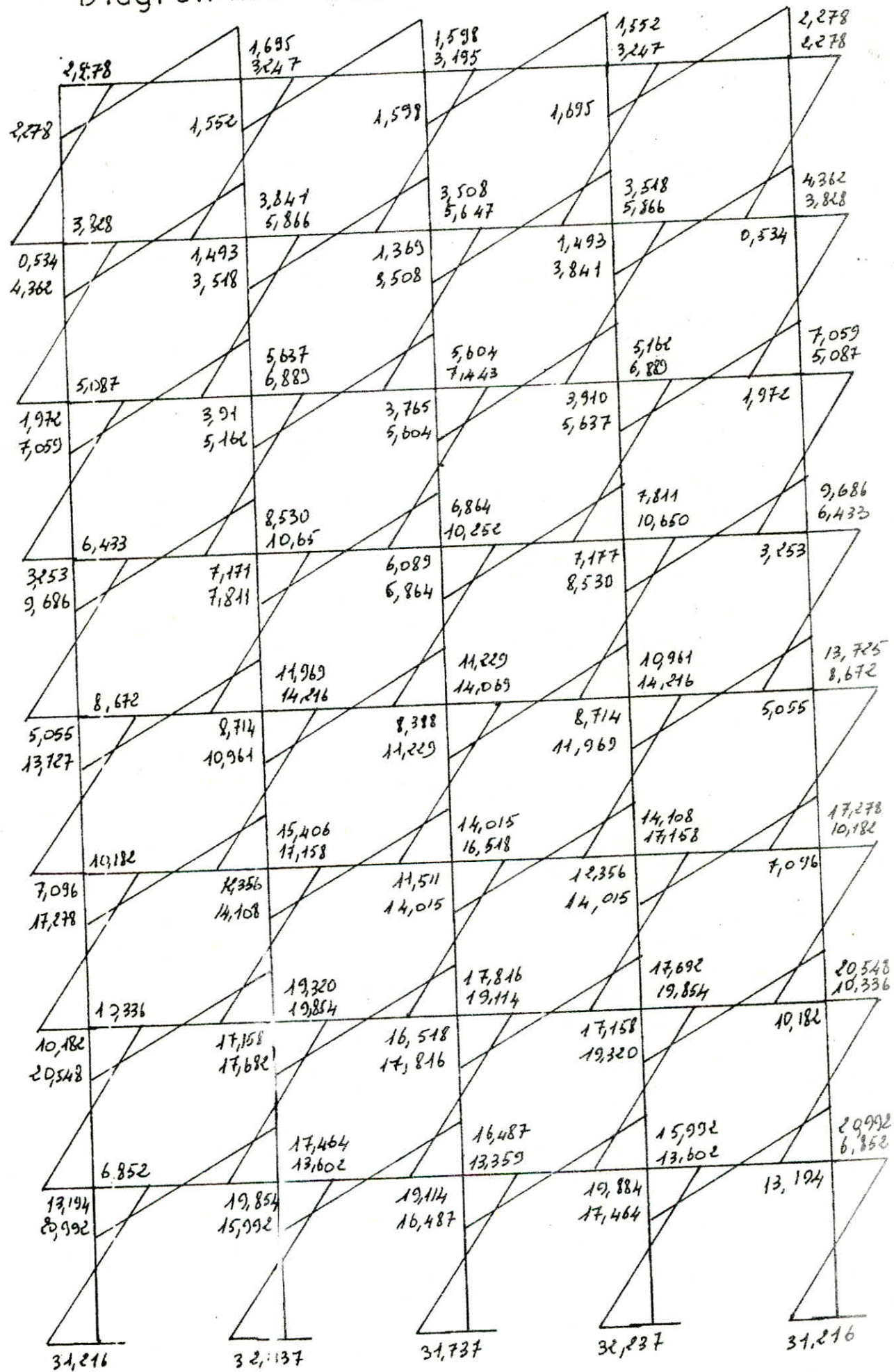
Portique transversal.

niv	nominal	$P_a(t_m)$	M_b (t_m)	K_1	K_2	$P_a + M_b$ t_m	$\frac{K_1}{K_1 + K_2}$	M_1 t_m	$\frac{K_2}{K_1 + K_2}$	P_2 t_m
T	1	0	2,878		270,68	2,878			1	22,78
	2	0	3,247	270,68	248,12	3,248	0,522	1,695	0,478	1,552
	3	0	3,195	248,12	248,12	3,195	0,5	1,598	0,5	1,598
VII	4	0,534	3,828		270,68	4,362			1	4,362
	5	9,493	5,866	270,68	248,12	7,359	0,522	3,841	0,478	3,518
	6	1,369	5,647	248,12	248,12	7,016	0,5	3,508	0,5	3,508
VI	7	1,942	5,087		270,68	7,059			1	7,059
	8	3,910	6,889	270,68	248,12	10,799	0,522	5,637	0,478	5,162
	9	3,765	7,443	248,12	248,12	11,208	0,5	5,604	0,5	5,604
V	10	3,253	6,1433		270,68	9,686			1	9,686
	11	7,171	10,65	270,68	248,12	16,341	0,522	8,530	0,478	7,811
	12	6,089	10,25	248,12	248,12	13,787	0,5	6,864	0,5	6,864
IV	13	5,055	8,672		270,68	13,787			1	13,787
	14	8,714	14,216	270,68	248,12	22,93	0,522	11,969	0,478	10,969
	15	8,388	14,069	248,12	248,12	22,457	0,5	11,229	0,5	11,229
III	16	7,096	19,182		270,68	17,878			1	17,878
	17	12,356	17,458	270,68	248,12	29,514	0,522	15,1406	0,478	14,108
	18	11,511	16,518	248,12	248,12	38,069	0,5	14,015	0,5	14,015
II	19	10,182	10,366		270,68	19,548			1	19,548
	20	17,158	19,854	270,68	248,12	37,012	0,522	19,32	0,478	17,692
	21	16,518	12,14	248,12	248,12	35,632	0,5	17,816	0,5	17,816
I	22	13,194	6,852		270,68	20,046			1	20,046
	23	19,854	13,602	270,68	248,12	33,456	0,522	17,464	0,478	15,992
	24	19,194	13,853	248,12	248,12	32,973	0,5	16,487	0,5	16,487

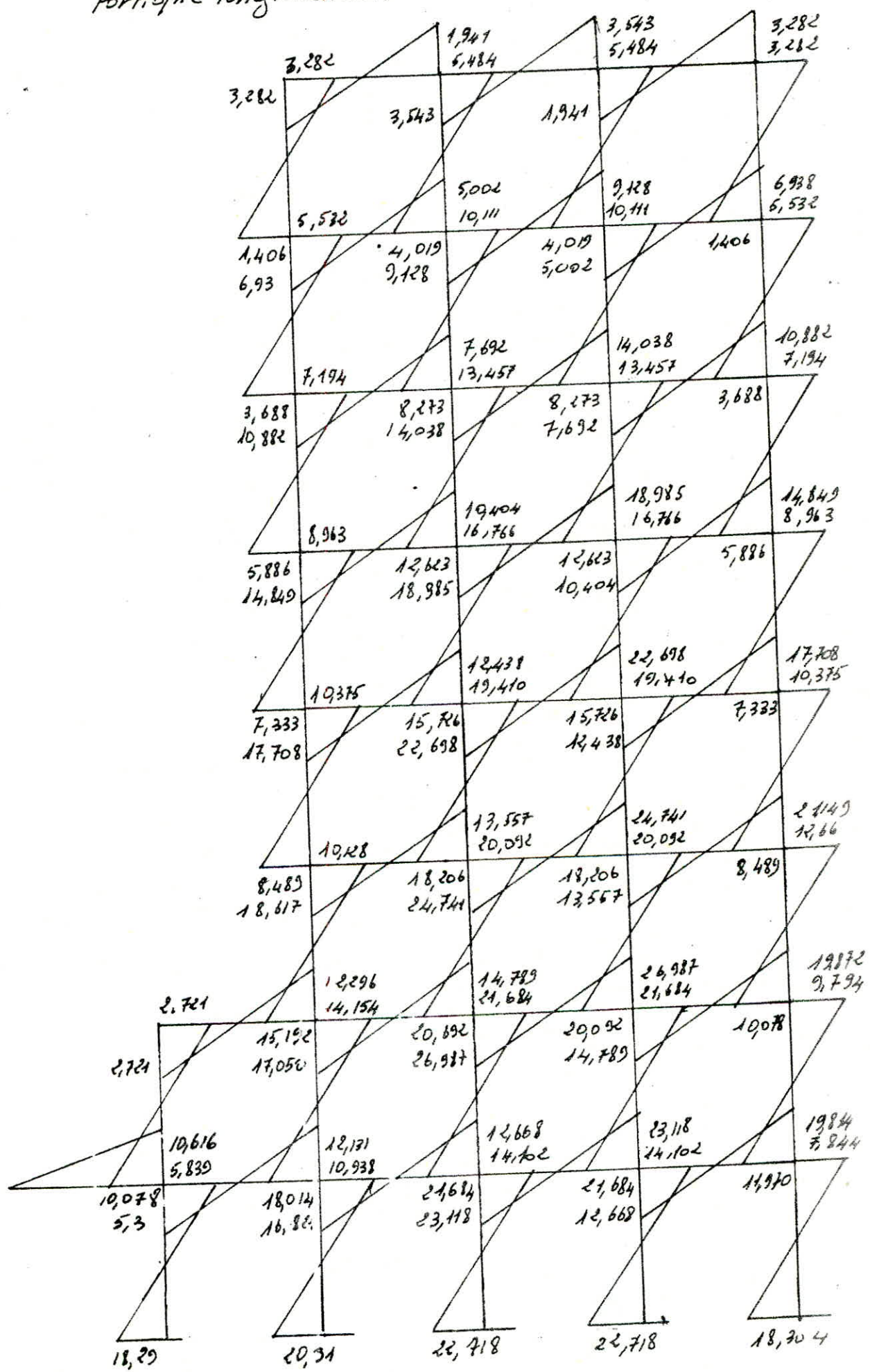
Portique longitudinal

niveau	noeud	M_a Nm	M_b Nm	K_1	K_2	$M_a + M_b$ Nm	$\frac{K_1}{K_1 + K_2}$	M_1 Nm	$\frac{K_2}{K_1 + K_2}$	M_2 Nm
T	1	0	3,282		65,89	3,282			1	3,282
	2	0	5,484	65,89	120,92	5,484	0,354	1,941	0,646	3,543
VI	3	1,406	5,532		65,89	6,938			1	6,938
	4	4,019	10,111	65,89	120,91	14,13	0,354	5,002	0,646	9,128
VII	5	3,688	7,194		65,89	10,88			1	10,88
	6	8,273	13,457	65,89	120,91	21,43	0,354	7,692	0,646	14,038
IV	7	5,886	8,963		65,89	14,849			1	14,849
	8	12,623	16,766	65,89	120,91	29,384	0,354	10,404	0,646	18,985
III	9	7,333	10,37		65,89	17,708			1	17,708
	10	15,786	19,410	65,89	120,91	35,136	0,354	14,438	0,646	22,698
II	11	8,489	19,128		65,89	18,617			1	18,617
	12	18,106	20,092	65,89	120,91	38,298	0,354	13,557	0,646	24,741
I	13	0	2,721		47,348	2,721			1	2,721
	14	15,19	14,154	47,348	65,89	29,946	0,419	12,296	0,581	17,050
	15	29,09	23,624	65,89	120,91	41,776	0,354	14,789	0,646	26,987
	16	29,09	23,624	120,91	65,89	41,776	0,646	26,989	0,354	14,789
	17	10,07	9,794	65,89		19,872	1	19,872		
	18	10,07	5,839	24,697	47,348	15,91	0,667	10,616	0,333	5,30
	19	18,014	19,938	47,348	65,89	28,952	0,419	12,131	0,581	16,821
	20	21,68	14,182	65,89	120,91	35,786	0,354	14,668	0,646	13,118
	21	21,68	14,102	120,09	65,89	35,786	0,646	23,118	0,354	12,660
	22	17,97	7,844	65,89		19,814	1	19,814		

Diagramme des moments sous SIH



Portionne longitudinale:



Efforts tranchants dans les poutres

on considère la travée indépendante avec les moments de rebond dans les nœuds, ainsi l'effort tranchant donne chaque poutre :

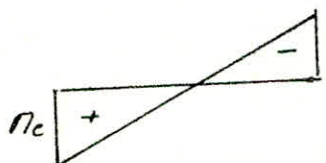
$$M(x) = ax + b$$

$$x=0 \rightarrow M_0 = b = M_c$$

$$x=l \rightarrow M_p = al + b = M_w$$

$$a = -\frac{M_w + M_c}{l}$$

$$\frac{dM}{dx} = a = T = -\frac{M_w + M_c}{l}$$



finalement : $\Sigma \text{NODS SIH} \rightarrow T = -\frac{M_w + M_c}{l}$

$\Sigma \text{NODS SIH} \leftarrow T = \frac{M_w + M_c}{l}$

portion transversale :

niveau	travée	f [m]	M_c [kNm]	M_w [kNm]	T_{SIH} [k]	T_{SIH}^* [k]
I	1 - 2	3,3	2,78	1,695	-1,205	1,205
	2 - 3	3,6	1,552	1,598	-0,875	0,875
II	4 - 5	3,3	4,362	3,841	-2,486	2,486
	5 - 6	3,6	3,518	3,508	-1,952	1,952
III	7 - 8	3,3	7,059	5,637	-3,847	3,847
	8 - 9	3,6	5,1604	5,1604	-2,991	2,991
IV	10 - 11	3,3	9,686	8,530	-5,52	5,52
	11 - 12	3,6	7,811	6,864	-4,076	4,076
V	13 - 14	3,3	13,727	11,969	-7,787	7,787
	14 - 15	3,6	10,961	11,819	-6,164	6,164
VI	16 - 17	3,3	17,278	15,406	-9,904	9,904
	17 - 18	3,6	14,108	14,015	-7,812	7,812
VII	19 - 20	3,3	20,548	19,31	-11,084	11,084
	20 - 21	3,6	17,692	17,816	-9,766	9,766
I	22 - 23	3,3	29,992	17,464	-11,653	11,653
	23 - 24	3,6	25,992	16,487	-9,021	9,021

portique longitudinal:

niv	pointre	ℓ (m)	γ_e (tm)	M_w (tm)	$T_{S\overrightarrow{TH}}$	T_{STH}
T	1-2	4,75	3,282	1,941	-1,1	1,1
	2-2'	2,6	3,543	3,543	-2,725	2,725
VII	3-4	4,75	6,938	5,002	-2,514	2,514
	4-4'	2,6	9,128	9,128	-7,022	7,022
VI	5-6	4,75	10,982	7,692	-3,910	3,910
	6-6'	2,6	14,038	14,038	-19,798	10,798
V	7-8	4,75	14,849	10,404	-5,316	5,316
	8-8'	2,6	18,985	18,985	-14,604	14,604
IV	9-10	4,75	17,708	13,438	-6,347	6,347
	10-10'	2,6	22,698	22,698	-17,46	17,46
III	11-12	4,75	18,617	13,557	-6,723	6,723
	12-12'	2,6	24,741	24,741	-19,032	19,032
II	13-14	6,6	2,721	12,296	-2,275	2,275
	14-15	4,75	17,050	14,789	-6,703	+6,703
	15-16	2,6	26,987	26,987	-20,759	20,759
	16-17	4,75	14,789	19,832	-7,297	7,297
I	18		8,985	0	-2,692	2,692
	19-19	6,6	4,436	12,131	2,51	2,51
	19-20	4,75	16,821	12,668	-6,208	-6,208
	20-21	2,6	23,118	23,118	-17,783	-17,783
	21-22	4,75	12,668	19,814	-6,838	-6,838

Efforts normaux dans les poteaux

Le poteau supportant la poutre au niveau du nœud "i" subira un effort normal N_i dont la valeur est donnée par

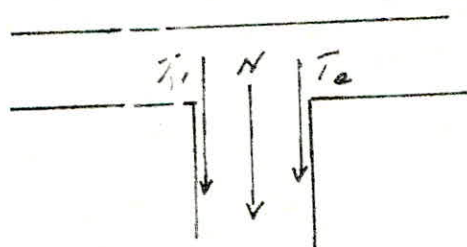
$$N_i = T_{ei} - T_{wi}$$

portique transversal.

portique longitudinal.

niv	poteau	$N_{SIIH \leftarrow i}$	$N_{SIIH \rightarrow i}$
I	1 - 4	-1,205	1,205
	2 - 5	-0,330	0,330
	3 - 6	0	0
II	4 - 7	-2,486	2,486
	5 - 8	-0,534	0,534
	6 - 9	0	0
III	7 - 10	-3,847	3,847
	8 - 11	-0,856	0,856
	9 - 12	0	0
IV	10 - 13	-5,560	5,560
	11 - 14	-1,440	1,440
	12 - 15	0	0
V	13 - 16	-6,196	6,196
	14 - 17	-1,623	1,623
	15 - 18	0	0
VI	16 - 19	-9,904	9,904
	17 - 20	-2,092	2,092
	18 - 21	0	0
VII	19 - 22	-16,081	16,081
	20 - 23	-2,351	2,351
	21 - 24	0	0
VIII	22 - 25	-11,653	11,653
	23 - 26	-2,631	2,631
	24 - 27	0	0

niv	poteau	$N_{SIIH \rightarrow i}$	$N_{SIIH \leftarrow i}$
I	1 - 3	-1,100	1,1
	2 - 4	+1,665	-1,665
II	3 - 5	-2,514	2,514
	4 - 6	+4,508	-4,508
III	5 - 7	-3,910	3,910
	6 - 8	+6,888	-6,888
IV	7 - 9	-5,316	5,316
	8 - 10	+9,324	-9,324
V	9 - 11	-6,347	6,347
	10 - 12	+11,113	-11,113
VI	11 - 14	-6,773	6,773
	12 - 15	+12,159	-12,159
VII	13 - 18	-2,275	2,275
	14 - 19	4,428	-4,428
VIII	15 - 20	-14,056	14,056
	16 - 21	13,462	-13,462
IX	17 - 22	-7,297	7,297
	18 - 23	-0,182	0,182
X	19 - 24	3,698	-3,698
	20 - 25	-11,575	11,575
XI	21 - 26	10,945	-10,945
	22 - 27	-6,938	6,938



Superposition des sollicitations

Moments entravée des poutres sous charges verticales:
pour déterminer les moments entravée des poutres
sous les charges verticales il vaut se référer à
l'article A12 CCBA 68.

Dans notre cas nous avons:

$$\text{Moment en appui: } M_a = M_a(G) + M_a(1,2P)$$

$$\text{Moment entravée } M_t = M_o(G+1,2P) - \frac{M_e(G) + M_w(G)}{2}$$

combinaison des charges sur les poutres:

Entravée

$$1^{\text{er}} \text{ genre: sous } (G+1,2P) \quad M_t = M_o(G+1,2P) - \frac{M_w(G) + M_e(G)}{2}$$

$$2^{\text{eme}} \text{ genre: sous } (G+P+\overset{\leftarrow}{SIH}) \quad M_t = M_o(G+P) - \frac{M_w(G) + M_e(G)}{2} + M_t(\overset{\leftarrow}{SIH})$$

$$\text{sous } (0,8G+\overset{\leftarrow}{SIH}) \quad M_t = M_o(0,8G) - \frac{M_w(0,8G) + M_e(0,8G)}{2} + M_t(\overset{\leftarrow}{SIH})$$

Aux appuis:

$$1^{\text{er}} \text{ genre: sous } (G+1,2P) \quad M_a = M_a(G) + 1,2 M_a(P)$$

$$2^{\text{eme}} \text{ genre: sous } (G+P+\overset{\leftarrow}{SIH}) \quad M_a = M_a(G) + M_a(P) + M_a(\overset{\leftarrow}{SIH})$$

$$\text{sous } (0,8G+\overset{\leftarrow}{SIH}) \quad M_a = M_a(0,8G) + M_a(\overset{\leftarrow}{SIH})$$

Remarque: $M_t = \frac{M_e - M_w}{2}$ est le moment entravée sous $\overset{\leftarrow}{SIH}$

M_e et M_w sont pris en valeur absolue ce fait que
le ressort peut agir dans un sens ou dans l'autre.

Moments fléchissants dans les poutres
sous SP1

niv	TRAV	M_t tNm	M_w^a (-) tNm	M_c^a (-) tNm
I	1-2	0,653	0,503	0,335
	2-3	0,713	0,583	0,589
II	4-5	0,716	0,508	0,385
	5-6	0,815	0,598	0,582
III	7-8	0,716	0,508	0,387
	8-9	0,815	0,598	0,584
IV	10-11	0,716	0,508	0,387
	11-12	0,815	0,598	0,584
V	13-14	0,716	0,508	0,387
	14-15	0,815	0,598	0,584
VI	16-17	0,716	0,508	0,387
	17-18	0,815	0,598	0,584
VII	19-20	0,716	0,508	0,387
	20-21	0,815	0,598	0,584
I	22-23	0,716	0,508	0,387
	23-24	0,815	0,598	0,584

niv	TRAV	M_t tNm	M_w^a (-) tNm	M_c^a (-) tNm
I	1-2	6,323	3,688	2,64
	2-3	0,479	2,574	2,574
II	3-4	6,778	3,942	3,349
	4-5	1,212	2,281	2,281
III	5-6	6,754	3,957	3,398
	6-7	1,234	2,25	2,25
IV	7-8	6,754	3,957	3,398
	8-9	1,234	2,25	2,25
V	9-10	6,754	3,957	3,398
	10-11	1,234	2,25	2,25
VI	11-12	6,754	3,957	3,398
	12-13	1,234	2,25	2,25
VII	13-14	1,277	3,007	6,372
	14-15	6,017	3,957	5,538
I	15-16	1,234	2,25	2,25
	16-17	6,754	3,398	3,349
II	18-19	11,948	7,518	9,976
	19-20	6,101	3,957	5,268
III	20-21	1,234	2,25	2,25
	22-23	6,754	3,398	3,397

Moments fléchissants et efforts tranchants
dans les poutres sous SP2

Transversal

Longitudinal.

n°	travée	α_{max} 6mm	M_e^{max} 6mm	M_w^{max} 6mm	$T_{x=0}^{max}$ t	$T_{x=L}^{max}$ t	Travée	α_{max} 6mm	M_e^{max} 6mm	M_w^{max} 6mm	a_{max} 6mm	$T_{x=0}^{max}$ t	$T_{x=L}^{max}$ t
I	1-2	-1,607	0,927	-2,518	2,104	-2,480	1-2	-5,888	4,861	-5,551	7,276	-8,460	
	2-3	-2,101	0,715	-2,171	2,009	-2,060	2-3'	-6,062	9,446	-6,062	6,069	-6,069	
	3-2'	-2,175	0,715	-2,101	2,060	-2,009	2-1'	-5,551	6,882	-5,888	7,267	-8,460	
	2'-1'	-2,189	0,927	-2,607	2,1480	-2,104	3-4	-10,113	7,35	-8,739	9,716	-9,723	
II	4-5	-4,733	+0,932	-4,328	3,371	-3,765	4-4'	-7,165	3,156	-11,291	10,333	-10,333	
	5-6	-4,057	0,767	-4,076	3,124	-3,168	4'-3'	-8,739	7,350	-10,113	9,716	-9,723	
	6-5'	-4,081	0,767	-4,733	3,168	-3,124	5-6	-14,104	7,955	-11,444	10,108	-11,112	
	5'-4'	-4,328	0,932	-6,124	3,755	-3,371	6-6'	-17,936	9,45	-17,936	14,103	-14,103	
VI	7-8	-3,446	1,381	-6,177	4,172	-5,117	6-5'	-11,444	7,955	-14,104	10,108	-11,112	
	8-9	-5,721	0,983	-5,721	4,153	-4,153	7-8	-18,071	8,582	-14,156	11,514	-12,518	
	9-8'	-6,177	0,983	-7,446	4,180	-4,180	8-7'	-21,118	1,116	-21,118	17,915	-17,915	
	8'-7'	-6,164	1,381	-9,017	5,117	-4,172	9-10	-20,930	8,995	-16,19	16,545	-13,549	
II	10-11	-1,907	1,248	-7,1437	6,405	-6,790	10-10'	-24,831	1,45	-24,831	20,771	-20,771	
	11-12	-8,370	1,236	-8,370	5,238	-5,238	10-9'	-16,190	8,995	-20,93	16,545	-13,549	
	12-11'	-7,437	1,236	-10,073	5,265	-5,265	11-12	-21,830	8,890	-17,303	12,971	-13,975	
	11'-10'	-9,017	1,248	-12,073	6,790	-6,405	12-11'	-26,87	1,115	-26,870	21,943	-21,943	
IV	13-14	-1,611	1,549	-12,45	8,672	-9,057	10-9'	-16,190	8,995	-20,93	16,545	-13,549	
	14-15	-11,520	0,896	-11,80	7,326	-7,326	11-12	-21,830	8,890	-17,303	12,971	-13,975	
	15-14'	-11,800	1,128	-12,52	7,353	-7,353	12-12'	-26,87	1,115	-26,870	21,943	-21,943	
	14'-13'	-12,456	1,548	-14,112	9,057	-8,672	12'-11'	-17,303	10,156	-24,3711	12,971	-13,975	
III	16-17	-1,665	1,606	-15,893	10,789	-11,174	13-12'	-8,767	16,796	-20,458	11,031	-12,753	
	17-18	-14,667	0,809	-14,588	8,974	-8,970	13-11'	-8,767	16,796	-20,458	11,031	-12,753	
	18-17'	-14,588	0,809	-14,667	9,001	-9,021	14-15'	-22,901	6,753	-18,541	14,822	-11,985	
	17'-16'	-14,052	2,302	-17,665	11,174	-10,789	15-16	-29,180	1,115	-29,180	24,070	-24,070	
II	19-20	-22,93	1,280	-19,80	12,966	-13,351	16-17	-19,864	9,297	22,303	14,1409	-13,495	
	20-21	-11,25	0,824	-18,38	10,928	-10,928	17-18	-13,046	15,034	-18,253	13,280	-10,973	
	21-20	-11,38	0,824	-18,25	10,955	-10,955	18-19	-13,046	15,034	-18,253	14,1409	-13,495	
	20-19	-11,807	1,284	-20,93	13,951	-12,961	19-20	-21,818	7,784	-16,420	14,086	-11,73	
I	22-23	-20,90	2,434	-17,95	12,538	-12,921	20-21	-25,251	1,115	-25,251	21,994	-21,994	
	23-24	-16,551	1,010	-17,06	10,184	-10,184	21-22	-16,620	9,933	-20,036	14,04	-13,096	
	24-23'	-17,06	1,010	-16,55	10,211	-10,211	22-23	-16,620	9,933	-20,036	14,04	-13,096	
	23'-22'	-17,951	2,434	-21,379	10,923	-12,538	23-24	-16,620	9,933	-20,036	14,04	-13,096	

Moments dans les poteaux sous SP1

niv	poteau	M_{sup}	M_{inf}
I	1 - 4	0,33	-0,141
	2 - 5	0,057	-0,034
	3 - 6	0	0
II	4 - 7	0,244	-0,201
	5 - 8	0,039	-0,038
	6 - 9	0	0
III	7 - 10	0,201	-0,201
	8 - 11	0,038	-0,038
	9 - 12	0	0
IV	10 - 13	0,201	-0,201
	11 - 14	0,038	-0,038
	12 - 15	0	0
V	13 - 16	0,201	-0,201
	14 - 17	0,038	-0,038
	15 - 18	0	0
VI	16 - 19	0,201	-0,201
	17 - 20	0,038	-0,038
	18 - 21	0	0
VII	19 - 22	0,201	-0,201
	20 - 23	0,038	-0,038
	21 - 24	0	0
VIII	22 - 25	0,201	-0,201
	23 - 26	0,038	-0,038
	24 - 27	0	0

niv	poteau	M_{sup}	M_{inf}
I	1 - 3	2,662	-1,576
	2 - 4	1,115	-0,782
	3 - 5	1,773	-1,699
II	4 - 6	0,879	-0,854
	5 - 7	1,699	-1,699
	6 - 8	0,854	-0,854
III	7 - 9	1,699	-1,699
	8 - 10	0,854	-0,854
	9 - 11	1,699	-1,699
IV	10 - 12	0,854	-0,854
	11 - 14	1,699	-1,699
	12 - 15	0,854	-0,854
V	13 - 18	6,377	-1431
	14 - 19	1,537	-1145
	15 - 20	0,854	-0,854
VI	16 - 21	0,854	-0,854
	17 - 22	1,699	-1,699
	18 - 23	1,431	0
VII	19 - 24	1,125	0
	20 - 25	0,854	0
	21 - 26	0,854	0
VIII	22 - 27	1,699	0

portique longitudinal ↑

← portique transversal

61
Moments dans les poteaux sous SP2

Transversal

niveau	poteau	M_{max} M_{sup} t.m	M_{max} M_{inf} t.m
I	1 - 4	- 2,607	0,675
	2 - 5	- 3,303	1,589
	3 - 6	- 3,195	1,369
II	4 - 7	- 4,058	2,165
	5 - 8	- 5,903	3,946
	6 - 9	- 5,643	3,756
III	7 - 10	- 5,280	3,446
	8 - 11	- 6,945	7,207
	9 - 12	- 7,443	6,089
IV	10 - 13	- 6,626	5,248
	11 - 14	- 10,686	8,750
	12 - 15	- 10,252	8,388
V	13 - 16	- 8,865	7,289
	14 - 17	- 14,252	12,392
	15 - 18	- 14,069	11,511
VI	16 - 19	- 10,375	10,375
	17 - 20	- 17,194	17,194
	18 - 21	- 16,518	16,518
VII	19 - 22	- 10,529	13,387
	20 - 23	- 19,890	19,89
	21 - 24	- 19,114	19,114
I	22 - 25	- 7,043	31,409
	23 - 26	- 13,638	32,373
	24 - 27	- 13,859	31,737

longitudinal

niv	poteau	M_{max} M_{sup} t.m	M_{max} M_{inf} t.m
I	1 - 3	- 5,888	1,900
	2 - 4	- 6,575	4,760
II	3 - 5	- 7,113	5,299
	4 - 6	- 10,944	9,083
III	5 - 7	- 8,805	7,1197
	6 - 8	- 14,264	13,433
IV	7 - 9	- 10,574	8,944
	8 - 10	- 17,576	16,536
V	9 - 11	- 11,986	10,100
	10 - 12	- 20,22	19,016
VI	11 - 14	- 11,739	16,647
	12 - 15	- 20,402	20,902
VII	13 - 18	- 8,767	8,783
	14 - 19	- 15,609	19,085
VIII	15 - 20	- 22,494	22,494
	16 - 21	- 22,494	22,494
IX	17 - 22	- 11,405	13,581
	18 - 23	- 6,762	18,29
X	19 - 24	- 12,009	20,310
	20 - 25	- 14,912	22,718
XI	21 - 26	- 14,912	22,718
	22 - 27	- 9,455	18,304

169'99	214'8	+81	691	05'4	t-7
25'001	896'21	+81	+82	89'2	72-62
974'66	481'4	+81	84'0	84'9	52-02
190'66	480'61	+81	88'4	08'1	72-61
696'48	652'3	+81	90'6	02'4	82-81
966'85	214'8	+81	691	05'4	72-t1
595'48	280'01	+81	+82	69'4	12-91
215'88	886'01	+81	53'2	62'9	72-51
146'2	613'2	+81	60'5	05'8	61-91
144'1	44'4	+81	68'2	78'9	81-81
148'21	896'21	+81	+82	89'2	51-21
+82'64	214'8	+81	691	05'4	h1-11
169'79	896'21	+81	+82	89'2	21-01
248'4	214'8	+81	691	05'4	11-6
802'95	896'21	+81	+82	89'2	01-8
816'28	214'8	+81	691	05'4	6-t
548'88	896'21	+81	+82	89'2	8-9
155'48	214'8	+81	691	05'4	t-5
282'52	126'4	+81	+82	49'4	9-4
661'61	904'8	+81	691	64'4	5-5
118'21	118'21	+81	51'4	45'6	4-2
881'2	881'2	+81	49'6	50'5	3-1
N-2	N-2	N-2	N-2	N-2	N-2

I

II

III

II

I

III

I

IV

459'8	988'4	+81	25'0	58'1	4-4-2
182'58	141'3	+81	85'0	68'1	72-82
588'2	66t'2	+81	61'0	69'0	52-22
818'8	988'4	+81	25'0	58'1	4-4-2
+18'08	414'4	+81	85'0	68'1	82-02
985'61	66t'2	+81	61'0	69'0	72-61
286'52	988'4	+81	25'0	58'1	12-81
504'8	414'4	+81	85'0	68'1	9-t1
+8t'61	66t'2	+81	61'0	69'0	61-91
949'12	688'4	+81	25'0	58'1	15-15
686'2	414'4	+81	85'0	68'1	11-h1
886'31	66t'2	+81	61'0	69'0	11-81
+8t'21	988'3	+81	25'0	58'1	31-21
525'41	414'4	+81	85'0	68'1	h1--11
681'11	66t'2	+81	61'0	69'0	81-01
166'21	988'4	+81	25'0	58'1	21-6
191'31	414'4	+81	85'0	68'1	11-8
688	66t'2	+81	61'0	169'0	01-t
589'8	488'4	+81	85'0	68'1	6-9
+12'8	524'4	+81	456	68'1	8-5
165'5	66t'2	+81	61'0	69'0	t-4
132'4	152'4	+81	51'0	61'2	9-3
228'4	228'4	+81	51'0	22'2	5-2
26t'2	26t'2	+81	60'0	18'0	4-1
7 N	7 N	7 N	7 N	7 N	7 N

I

II

III

II

I

II

II

I

IV

Efforts normaux dans les poteaux sous SP2

TRANSVERSAL

NIV	POT	G+P+SIH		G+P+SIH		9,86+SIH		0,86+SIH		6+P+1,25IH		6+P+1,25IH		IEJ	TEJ	
		N	NC	N	NC	N	NC	N	NC	N	NC	N	NC			
I	1-4	-0,30	-0,3	2,10	2,10	-0,55	-0,55	1,85	1,85	-0,54	-0,54	0,75	0,75	2,75		
	2-5	2,07	2,07	2,73	2,73	1,64	1,64	2,10	2,10	2,01	2,01	2,96	2,96			
	3-6	4,34	4,34	2,34	2,34	4,34	4,34	1,75	1,75	1,75	1,75	4,34	4,34	4,34		
II	4-7	-1,60	-1,60	3,37	3,37	5,47	-1,93	-2,51	3,03	4,89	-2,69	-2,64	0,54	1,29		
	5-8	1,90	3,98	2,97	5,71	9,98	2,42	2,05	4,15	1,8	3,81	3,36	6,33			
	6-9	2,40	4,74	2,60	4,74	1,50	3,25	1,50	3,25	2,40	4,74	2,40	4,74			
III	7-10	-2,96	-4,86	4,73	10,20	-3,29	-5,80	6,4	9,28	-3,73	-6,37	0,354	1,649			
	8-11	1,57	5,56	3,28	9,00	0,66	3,09	2,37	6,53	1,40	5,11	3,90	10,23			
	9-12	2,35	7,10	2,35	7,10	1,46	4,12	1,46	4,12	1,35	7,10	1,35	7,10			
IV	10-13	-4,63	-9,50	6,40	16,61	-4,96	-1,97	6,073	15,36	-5,73	-12,11	7,63	1,772			
	11-14	0,98	6,55	3,87	12,87	0,074	3,164	2,96	9,49	0,69	5,91	4,91	15,14			
	12-15	2,35	9,116	1,35	9,46	1,468	6,82	1,46	6,49	2,35	9,46	2,35	9,46			
V	13-16	-5,31	-14,81	7,08	23,69	-5,643	-16,41	6,74	2,11	-6,55	-18,66	0,030	3,80			
	14-17	0,80	7,35	4,05	16,92	-0,105	3,05	3,14	12,63	0,48	6,40	5,22	20,36			
	15-18	2,35	11,82	2,35	11,82	1,46	7,66	1,468	7,66	2,35	11,82	2,35	11,82			
VI	16-19	-9,01	-22,83	10,78	34,48	-9,35	-2,57	19,45	32,57	-11,00	-29,66	-9,18	1,32			
	17-20	6,31	7,69	4,52	21,45	-0,57	2,48	3,61	16,24	-9,07	6,32	6,027	26,39			
	18-21	2,35	14,17	1,35	14,17	1,46	9,12	1,46	9,28	2,35	14,17	2,35	14,17			
VII	19-22	-11,196	-35,03	12,96	47,44	11,52	-3,72	18,63	45,20	-13,6	-43,24	-9,78	0,53			
	20-23	0,117	7,83	4,411	26,19	-0,95	1,68	3,83	10,07	-9,34	5,97	6,41	32,80			
	21-24	2,357	16,53	2,35	16,53	1,46	10,59	1,46	10,59	2,35	16,53	2,35	16,53			
I	22-25	-1,96	-4,579	12,53	59,58	-1,110	-4,839	12,20	59,41	-13,09	-5,637	-0,783	-0,185			
	23-26	-9,19	7,617	5,06	34,26	-1,113	0,57	4,14	24,25	-9,78	5,25	6,95	39,74			
	24-27	2,35	18,89	2,37	18,89	1,46	12,06	1,46	12,06	2,35	18,89	2,35	18,89			

longitudinal f.

n ^o	pot	G+P+STH		G+P+STH		G+P+STH		G+P+STH		G+P+STH		G+P+STH		G+P+STH	
		N	Nc	N	Nc	N	Nc	N	Nc	N	Nc	N	Nc	N	Nc
I	1-3	364	4,61	6,81	6,81	2,94	8,94	6,14	5,14	4,39	4,39	7,03	7,03		
	2-4	16,32	16,32	9,07	9,07	9,26	9,26	6,01	6,01	16,65	16,65	-8,75	-8,75		
II	3-5	3,67	8,29	8,70	15,52	1,08	4,02	6,44	11,25	3,15	7,57	9,20	16,24		
	4-6	15,02	27,35	6,01	15,09	10,62	19,88	1,60	7,61	15,93	28,54	5,11	-3,64		
III	5-7	2,28	10,58	10,10	25,63	-0,30	3,41	7,51	18,76	1,50	9,08	10,8	27,13		
	6-8	17,40	44,14	3,62	18,41	12,99	32,87	-0,77	6,83	18,77	43,35	2,47	-1,39		
IV	7-9	0,88	11,66	11,51	37,14	-1,11	2,00	8,91	27,68	-0,18	8,89	K,57	39,71		
	8-10	19,83	64,59	1,18	19,90	15,43	48,31	-3,21	3,62	21,70	69,15	-0,76	-2,07		
V	9-11	-0,14	11,31	12,54	49,69	-2,74	-0,74	9,94	37,63	-1,41	7,48	13,81	53,52		
	10-12	21,62	86,22	-0,60	19,30	17,12	63,53	-5,00	-1,38	23,84	92,90	-1,82	-4,89		
VI	11-14	-0,57	10,74	12,9	63,66	-3,11	-3,91	10,37	48,00	-1,93	5,55	14,36	67,85		
	12-15	22,74	108,9	-7,74	17,55	18,36	83,90	-6,15	-7,53	25,22	118,12	-4,15	-9,05		
VII	13-19	6,48	6,48	11,03	11,03	2,81	2,81	7,36	7,36	6,06	6,06	11,48	11,48		
	14-19	23,05	33,76	14,16	7,682	15,23	11,32	6,37	54,38	23,91	29,46	13,28	84,136		
	15-20	-5,46	10,35	22,64	40,20	-9,06	74,83	19,04	11,51	-8,24	109,85	25,46	16,26		
	16-21	21,03	130,0	-5,83	11,66	17,21	10,12	-9,70	-17,23	23,32	141,85	-8,58	-17,61		
	17-22	-1,09	9,64	13,49	76,15	-3,69	-7,60	10,89	58,90	-2,55	2,93	14,95	82,83		
VIII	18-23	10,58	17,06	10,95	27,98	5,98	8,79	6,34	13,70	10,55	16,57	10,98	22,47		
	19-24	29,03	53,80	13,64	83,46	13,3	24,62	5,90	60,28	20,77	50,24	11,90	93,09		
	20-25	-2,74	100,78	20,40	60,61	-6,45	69,38	16,69	28,21	-5,05	104,79	22,72	39,09		
	21-26	29,45	151,49	-0,43	11,62	13,05	118,17	-14,83	-22,07	23,64	165,50	-2,62	-20,29		
	22-27	-0,6	9,00	13,03	89,19	-3,83	-10,9	10,44	69,34	-2,00	9,98	14,49	93,43		

Ferraillage des poutres

Conformément à l'article A15 du CCBA 68, par simplification, les poutres seront ferraiillées en flexion simple. Donc lors de justification et vérifications des dispositions des armatures longitudinale de traction, on considère les nappes les plus défavorables.

Méthode de calcul

La méthode utilisée est celle préconisée par M^e Pierre Charon.

$$\gamma = \frac{15M}{6a b h^2} \rightarrow \text{tableau } (\varepsilon, k) \rightarrow \varepsilon_b' = \frac{\varepsilon_a}{k} \begin{cases} \varepsilon_b' < \bar{\varepsilon}_b' & A' = 0 \\ \varepsilon_b' > \bar{\varepsilon}_b' & A' \neq 0 \end{cases}$$

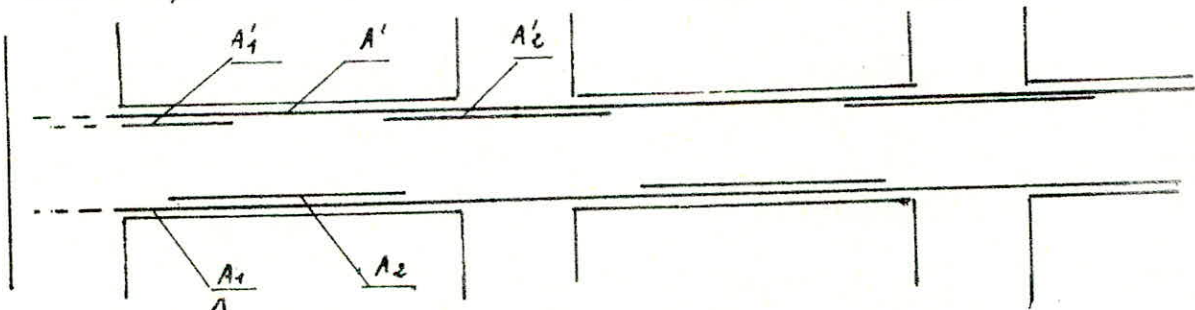
Pour les armatures longitudinale, la section d'acier sera déterminée par la nappage le plus défavorable :

Sous SP1 si $1,5 M^{max}(SP1) > M^{max}(SP2)$

Dans SP2 si $1,5 M^{max}(SP1) < M^{max}(SP2)$

Pourcentage d'armatures Art 4. 23.1 RPA 81.

% min = 0,3% % max = 2,5% pour acier à haute adhérence.



On prévoit des armatures filantes : avec

$$A' \geq \text{Max} \left(\frac{A'_1}{4}, \frac{A'_2}{2}, 3 \text{cm}^2 \right) \quad ; \quad A_1 \geq \text{Max} \left(\frac{A'_1}{2}, \frac{A'_2}{4}, 3 \text{cm}^2 \right)$$

Remarque :

les portiques situés dans le sens transversal seront ferraiillés symétriquement car ils ne sont pas porteurs, et ceci d'après le règlement sur le ferrailage des poutres préconisé par la RPA 81.

Determination des armatures longitudinales

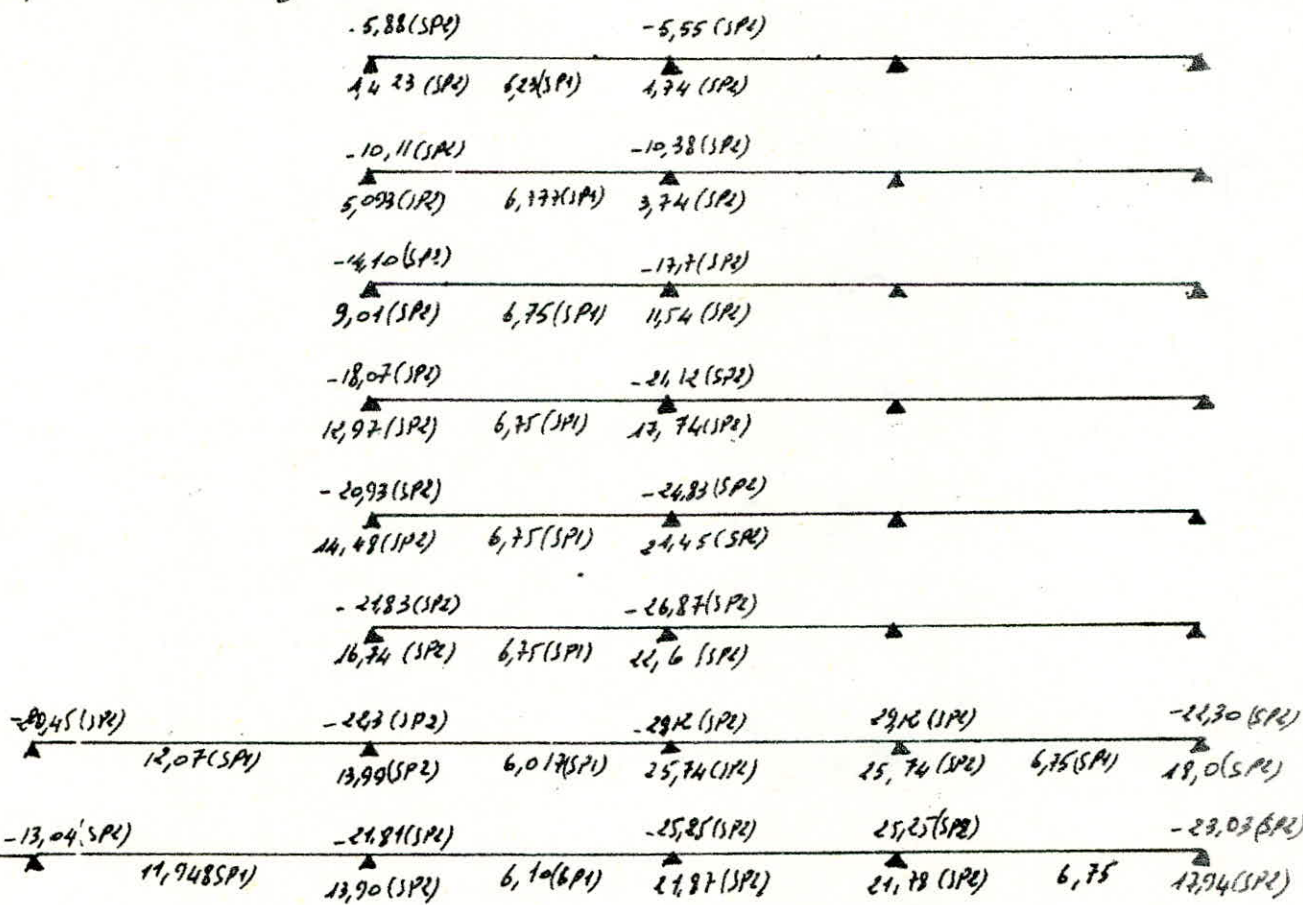
portugue transversal:

-2,60 (SP2)		-3,59 (SP2)		-1,17 (SP2)
2,03 (SP2)	0,65 (SP1)	1,33 (SP2)	0,713 (SP1)	1,18 (SP2)
-4,73 (SP2)		-4,36 (SP2)		-3,86 (SP2)
4,113 (SP2)	0,716 (SP1)	3,53 (SP2)	0,815 (SP1)	3,16 (SP2)
-7,44 (SP2)		-6,18 (SP2)		-6,17 (SP2)
6,84 (SP2)	0,716 (SP1)	5,33 (SP2)	0,815 (SP1)	5,24 (SP2)
-10,07 (SP2)		-8,37 (SP2)		-7,43 (SP2)
9,44 (SP2)	0,716 (SP1)	7,46 (SP2)	0,815 (SP1)	6,50 (SP2)
-14,11 (SP2)		-12,27 (SP2)		-11,8 (SP2)
13,48 (SP2)	0,716 (SP1)	11,60 (SP2)	0,815 (SP1)	10,87 (SP2)
-17,65 (SP2)		-16,66 (SP2)		-14,58 (SP2)
7,03 (SP2)	0,716 (SP1)	13,7 (SP2)	0,815 (SP1)	13,44 (SP2)
-20,79 (SP2)		-18,25 (SP2)		-18,38 (SP2)
20,30 (SP2)	0,716 (SP1)	17,34 (SP2)	0,815	17,45 (SP2)
-20,9 (SP2)		-16,55 (SP2)		17,06 (SP2)
20,75 (SP2)	0,716 (SP1)	15,64 (SP2)	0,815 (SP1)	16,12 (SP2)

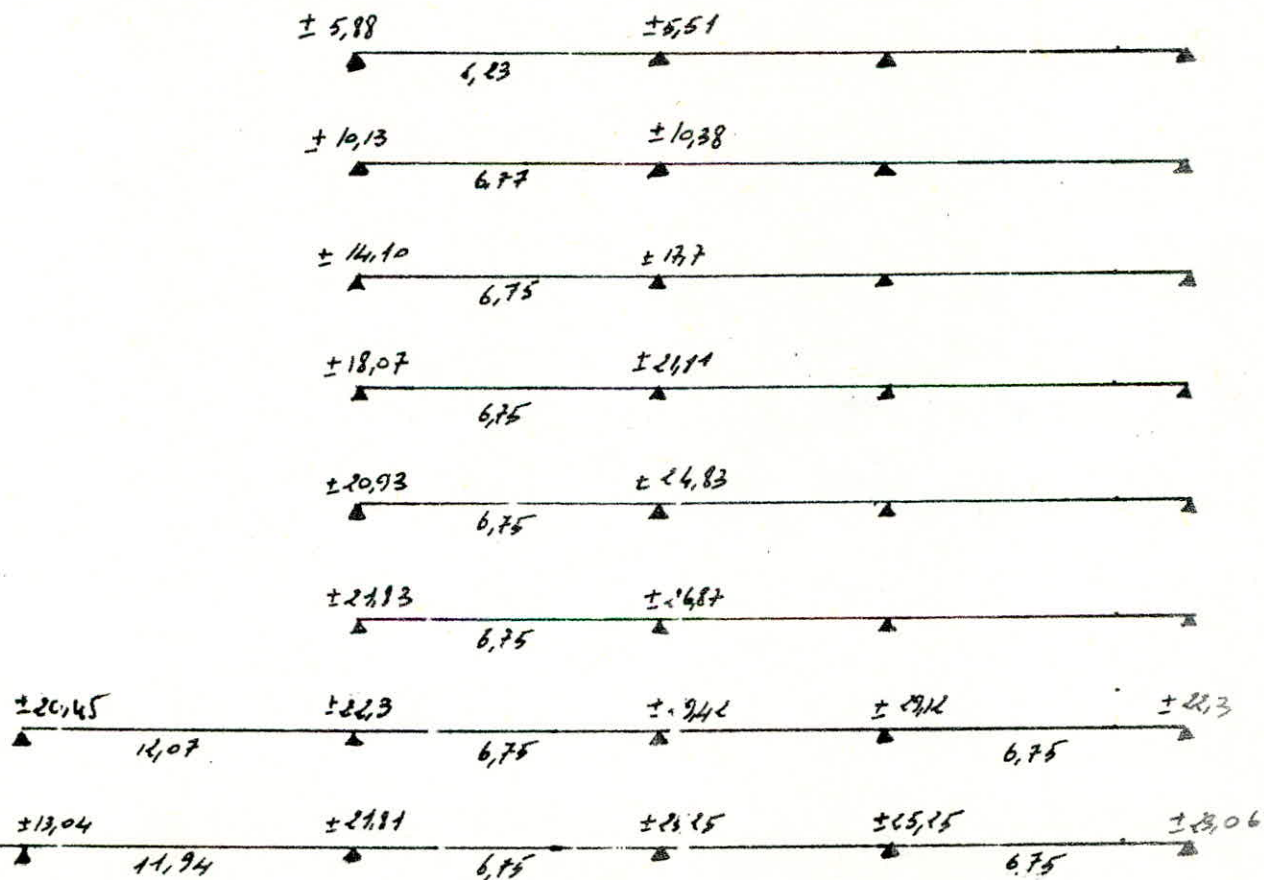
moments pris en considération : ± 25
 $\pm 2,607$

$\pm 2,607$ $\pm 4,73$ $\pm 4,32$ ± 386
 $\pm 7,44$ $\pm 6,10$ $\pm 6,17$
 $\pm 10,07$ $\pm 3,837$ $\pm 7,43$
 $\pm 14,11$ $\pm 8,37$ ± 843
 $\pm 17,65$ $\pm 12,27$ $\pm 11,8$
 $\pm 80,79$ $\pm 18,25$ $\pm 19,38$
 $\pm 21,37$ $\pm 6,55$ $\pm 17,06$

portique longitudinal:



moments pris en considération



Ferrailage adopté

portique transversal.

三

5T12	3T12	5T12	3T12	5T12
5T12	3T12	5T12	3T12	5T12
5T12	3T12	5T12	3T12	5T12
5T12	3T12	5T12	3T12	5T12
6T12	3T12	6T12	3T12	6T12
6T12	3T12	6T12	3T12	6T12
6T12	3T12	6T12	3T12	6T12
6T12	3T12	6T12	3T12	6T12
6T12	3T12	6T12	3T12	6T12
6T14	HT14	6T14	4T14	6T14
6T14	HT14	6T14	4T14	6T14
6T16	HT16	6T16	4T16	6T16
6T16	HT16	6T16	4T16	6T16
6T16+2T14	4T16	6T16	4T16	6T16
6T16+2T14	4T16	6T16	4T16	6T16
6T16+2T14	4T16	6T16	4T16	6T16
6T16+2T14	4T16	6T16	4T16	6T16

partigie longitudinali.

6T12	6T12	6T12	6T12	6T12	6T12	6T12
6T12	6T12	6T12	6T12	6T12	6T12	6T12
6T12	6T12	6T12	6T12	6T12	6T12	6T12
6T12	6T12	6T12	6T12	6T12	6T12	6T12
8T14	8T14	8T14	8T14	8T14	8T14	8T14
8T14	4T14	8T14	4T14	8T14	4T14	8T14
8T16	8T16	8T16	8T16	8T16	8T16	8T16
8T16	4T16	8T16	4T16	8T16	4T16	8T16
8T16	8T16	8T16	8T16	8T16	8T16	8T16
8T16	4T16	8T16	4T16	8T16	4T16	8T16
8T16	8T16	8T16	8T16	8T16	8T16	8T16
8T16	4T16	8T16	4T16	8T16	4T16	8T16
8T16	8T16	8T16	6T16+4T14	6T16+4T14	6T16+4T14	6T16+4T14
3T16						
8T16	6T16	8T16	6T16+4T4	6T16	8T16+4T14	6T16
8T16	8T16	8T16	6T16+2T14	8T16	8T16	6T16+2T14
8T16	6T16	8T16	6T16+2T14	6T16	8T16	6T16+2T14

VERIFICATIONS

1) Contraintes:

$$\tilde{\sigma} = \frac{100A}{bh} \rightarrow E, K \rightarrow$$

$$G_a = \frac{M}{E \cdot A \cdot R}$$

$$G_b' = \frac{G_a}{K}$$

poutres transversales:

appui	M Nm	A cm²	cū	E	K	Ga	Gb'
20	18,25	12,10	0,960	0,8628	2145	4163	194,05
21	18,38	12,10	0,960	0,8628	2145	4192	195,42
23	12,55	12,10	0,960	0,8628	2145	3775	175,90
24	17,06	12,10	0,960	0,8628	2145	3891	181,87

poutres longitudinales.

Verifiée

appui	M Nm	A cm²	ω̄	E	K	Ga	Gb'
13-14	12,077	12,10	0,858	0,8684	23	2446	106,5
17	22,3	15,18	1,077	0,8571	20	3647	182,35
18-19	11,95	12,10	0,858	0,8684	23	2449	106,5
22	2706	15,18	1,077	0,8571	20	3771	188,55

2) Conditions de non fragilité (Art 5c CCBA68)

$$A \geq 0,69 \frac{bh}{G_a}$$

$$\text{avec } G_b = 8,85 \text{ kg/cm}^2 \text{ SP2} \\ = 5,9 \text{ kg/cm}^2 \text{ SP1}$$

poutre	b(cm)	h(cm)	A (SP1) cm²	A (SP2) cm²
longit	30	47	1,37	0,05
transv	30	40	1,22	1,83

Verifiée.

Vérification de la fissuration:

pour des barres d'acier dont le diamètre est supérieur à 10 mm,
la contrainte $\bar{\sigma}_a$ (fissuration accidentelle ou non systématique)
est inférieure à 2800 kg/cm^2 .
Alors pour qu'il n'y ait pas risque de fissuration il faut que
 $\bar{\sigma}_s$ soit supérieur à $\bar{\sigma}_a = 2800 \text{ kg/cm}^2$.
 $\bar{\sigma}_s \Rightarrow$ pour les fissurations systématiques.

$$\bar{\sigma}_s = \frac{k\gamma}{\phi} \frac{\bar{\omega}_f}{1+10\bar{\omega}_f} \geq \bar{\sigma}_a \rightarrow \bar{\omega}_f \geq \frac{\phi \bar{\sigma}_a}{k\gamma - 10\phi \bar{\sigma}_a} = \bar{\omega}_{f_0}$$

avec $A_0 = B_f t_{sf}$ et $B_f = e \cdot b \cdot d$.

A_0 représente la section minimale pour qu'il n'y ait pas de fissuration:

$$\begin{aligned}\phi &= 12 \text{ mm} \\ \phi &= 14 \text{ mm} \\ \phi &= 16 \text{ mm}\end{aligned}$$

$$\begin{aligned}A_0 &= 4,78 \text{ cm}^2 \\ A_0 &= 5,84 \text{ cm}^2 \\ A_0 &= 7,00 \text{ cm}^2\end{aligned}$$

Vérifiée
Vérifiée
Vérifiée

donc pour toutes
les poutres il n'y a pas
risque de fissuration.

Vérification de la flèche: Art 61 CCBA 68.

si les 3 conditions suivantes sont vérifiées on peut se dispenser de donner une justification de la flèche :

$$1) \frac{h_f}{l} \geq \frac{n_f}{10M_a} \quad 2) \frac{A}{bh} \leq \frac{43}{6cm} \quad 3) \frac{h_f}{l} \geq \frac{l}{16}$$

poutre	h_f (cm)	l (cm)	b (cm)	A_{max} Atrav (cm)	$\frac{h_f}{l}$	$\frac{n_f}{10M_a}$	$\frac{A}{bh}$	
longit	50	610	30	14,06	0,082	0,08	0,0086	Vérifiée
transv	45	320	30	8,04	0,1406	0,08	0,0064	Vérifiée

condition de non écrasement du béton. (Art 30.62 CCBA 68)

on doit vérifier que: $n \geq 0,1 \phi \frac{\bar{\sigma}_a}{\bar{\sigma}_{b_0}} (1 + \frac{\phi}{4})^\nu$.

$$\bar{\sigma}_a = 2800 \text{ kg/cm}^2$$

$$\bar{\sigma}_{b_0} = 68,5 \text{ kg/cm}^2$$

$$\phi_{max} = 16 \text{ mm}$$

si $\nu = 1$ cas où la barre courbée est isolée ou fait partie d'un ensemble de barres courbées en un seul lit:

$$l \geq 9,15 \text{ cm} \quad \times \quad n >$$

Vérification des armatures inférieures: (art 35.32. CCBAG68)
 aux appuis, la section des armatures inférieures doit satisfaire
 l'inégalité suivante :

$$A\bar{\sigma}_a \geq T + \frac{M}{3}$$

M : moment dans la section d'appui
 pris avec son signe.

Donc tous les cas cette condition est vérifiée.

poutre	niv	T [kN]	A (cm²)	M _a (kNm)	$\bar{z} = \frac{7}{8} h$	$T + \frac{M}{3}$ kN	$A\bar{\sigma}_a$ kN	$A\bar{\sigma}_a T + \frac{M}{3}$
transversale	I	8,48	5,65	-2,607	36,75	-461388	23730	vérifié
	VII	3,75	5,65	-4,73	36,75	-9181	23730	"
	VI	5,11	6,78	-7,44	36,75	-15135	28476	"
	V	6,79	6,78	-10,07	36,75	-20612	24476	"
	IV	9,05	9,43	-14,11	36,75	-29338	38766	"
	III	11,17	12,06	-17,65	36,75	-36854	50652	"
	II	13,35	15,14	-20,79	36,75	-43219	63588	"
	I	12,92	15,14	-21,37	36,75	-45227	63588	"
longitudinale	I	8,46	6,78	-5,88	41,13	-5836,1	28476	"
	III	9,72	6,78	-10,13	41,13	-14907	28476	"
	II	14,10	12,31	-14,10	41,13	-20123	51702	"
	IV	17,91	16,08	-18,17	41,13	-26024	67536	"
	IV	20,71	16,08	-20,93	41,13	-30178	67536	"
	III	21,34	16,08	-21,83	41,13	-31736	67536	"
	II	24,07	16,08	-8,76	41,13	-2772	50652	"
	I	21,69	12,06	-13,046	41,13	-1008	50652	"

conditions d'appuis:

$$C = a + (\alpha + 5\phi) \quad 5\phi = 2$$

$$\bar{\sigma}_{b_0}' = 67,5 \text{ bar} = 68,85 \text{ kg/cm}^2$$

$$C \geq C_0 = \frac{2T}{b \bar{\sigma}_{b_0}'}$$

pointe	aireau	T_{spe}^{max}	b (cm)	C_0 (cm)	ϕ (cm)	λ (cm)	a	c
<i>transversales</i>								
I	3,48	30	1,60	1,2	6	40	26	
II	3,75	30	2,42	1,2	6	40	26	
III	5,11	30	3,29	1,2	6	40	26	
IV	6,79	30	4,37	1,2	6	40	26	
V	9,05	30	5,83	1,4	7	40	25	
VI	11,17	30	7,20	1,6	8	40	24	
VII	13,35	30	8,60	1,6	8	40	24	
VIII	12,92	30	8,32	1,6	8	40	24	
<i>longitudinales</i>								
I	8,46	30	5,45	1,2	6	50	26	
II	9,72	30	6,26	1,2	6	50	26	
III	14,10	30	9,09	1,4	7	50	25	
IV	17,91	30	11,54	1,6	8	50	24	
V	20,71	30	13,34	1,6	8	50	24	
VI	23,34	30	14,39	1,6	8	50	24	
VII	24,07	30	15,50	1,6	8	50	24	
VIII	24,69	30	13,97	1,6	8	50	24	

verified

Armatures transversales

on détermine les armatures transversales pour l'effort d'appui maximum, on détermine la contrainte de cisaillement maximum.

$$\tau_{b,\max} = \frac{T_{\max}}{bg} \quad \text{avec } b = 30 \quad g = \frac{\pi}{8} h$$

on vérifie $\bar{\tau}_{b,\max} \leq 3,5 \bar{G}_b$ si $\bar{G}_b < \bar{G}_{b_0}$

$$\bar{\tau}_{b,\max} \leq \left(4,5 - \frac{G_b}{G_{b_0}} \right) \quad \text{si } \bar{G}_{b_0} < G_b < 2\bar{G}_{b_0}$$

	niv	T_{\max} (H)	G_b' kg/mm ²	$\bar{\tau}_{b,\max}$	$\bar{\tau}_b$
Trans ver à p.	I	4,32	38,88	3,98	29,65
	III	4,42	52,83	4,01	29,65
	VI	4,41	65,11	4,00	29,65
	IV	4,41	78,65	4,00	19,82
	V	4,41	78,65	4,00	19,82
	III	4,41	100,0	4,00	18,00
	II	4,41	109,63	4,00	15,47
	I	4,41	128,74	4,00	16,14
Longitudinale	T	12,81	43,41	10,31	20,65
	VI	12,96	78,21	10,51	19,86
	IV	12,96	109,81	10,51	17,16
	II	12,96	123,35	10,51	16,00
	VI	12,96	126,13	10,51	15,76
	III	12,96	145,08	10,51	14,14
	II	21,19	94,21	13,17	18,49
	I	19,04	125,84	10,51	15,79

pour les poutres transversales et longitudinales on choisit un cadre + 2 étriers ϕ_{10} $A_t = 4,71 \text{ cm}^2$

la quantité d'armature transversale est donnée par :

$$A_t = 0,003 \Delta' b_1 \quad (\text{RPA81}) \quad \text{avec } \Delta' \leq \frac{h_t}{k} \\ h_t = \text{hauteur totale de la poutre:}$$

Dans notre cas :

Longitudinalement:

$$h_t = 50 \text{ cm} \rightarrow \Delta' \leq 25 \text{ cm} \quad \text{on adopte } \Delta' = 20 \text{ cm} \\ b_1 = 30 \text{ cm} \rightarrow A_t \geq 0,003 \cdot 20 \cdot 30 = 1,8 \text{ cm}^2 \quad \text{Vérifiée}$$

Transversalement:

$$h_t = 45 \text{ cm} \rightarrow \Delta' \leq 22,5 \text{ cm} \quad \text{on prend } \Delta' = 20 \text{ cm} \\ b_1 = 30 \text{ cm} \rightarrow A_t \geq 1,8 \text{ cm}^2 \quad \text{Vérifiée}$$

donc on fait un cadre + 2 étriers ϕ_{10} $A = 4,71 \text{ cm}^2$
 $G_{en} = 2400 \text{ kg/cm}^2$

Espacement:

Dans la zone nodale: $\Delta' \leq \min\left(\frac{h_t}{4}, 12\phi, 30 \text{ cm}\right)$

on prend $\Delta' = 10 \text{ cm}$

En dehors de la zone nodale: $\Delta' = 20 \text{ cm}$.

Ferraillage des poteaux

chaque poteau est soumis à un effort normal et des moments fléchissants à entrée et à la base et ceci dans les deux sens les poteaux seront calculés en flexion composée sous la sollicitation sur 1^{er} genre, et la plus défavorable des sollicitations du 2^{me} genre. Les poteaux seront armés avec la plus grande section pour les sollicitations du 2^{me} genre $(N^{\max}, M^{\text{corr}})$ et $(M^{\max}, N^{\text{corr}})$ pour le calcul du béton comprimé, et éventuellement pour les armatures comprises $(N^{\min}, M^{\text{corr}})$ pour le calcul des armatures tendues.

Méthode de calcul

Deux cas peuvent se présenter : - Section entièrement comprimée
- Section partiellement comprimée

la contrainte admissible de compression du béton est donnée par :

$$\bar{\sigma}_b' = 2 \bar{\sigma}_{b_0} \quad \text{si } e_0 > \frac{h_t}{2} \quad e_0 = \frac{M}{N}$$

$$\bar{\sigma}_b' = \left(1 + \frac{e_0}{3e_1}\right) \bar{\sigma}_{b_0} \quad \text{si } e_0 < \frac{h_t}{2} \quad e_1 = \frac{h_t}{6}$$

si $e_0 > e_1 \Rightarrow$ Section partiellement comprimée (SPC)

si $e_0 \leq e_1 \Rightarrow$ Section entièrement comprimée (SEC)

si $e_0 = 0 \Rightarrow$ Compression simple (CS)

1) Section entièrement comprimée ($e_0 \leq e_1$)

la section est armé symétriquement :

$$\delta', p, \beta, C, D, E, \bar{w} \text{ définis par Pierre charon} \Rightarrow A = A' = \bar{w} \frac{b h t}{100}$$

2) Section partiellement comprimée ($e_0 > e_1$)

l'effort normal de compression est appliquée en dehors du noyau central de la section homogène

on considère un moment fictif $M_f = M + N \left(\frac{h_t}{2} - d \right)$

$\sigma_{f_f} = N e_a \quad e_a = \text{distance du centre de pression aux armatures tendues.}$

on calcule notre section en flexion simple sous σ_{f_f} . deux cas peuvent se présenter :

$$\text{si } \bar{\sigma}_b' \leq \bar{\sigma}_b \quad A' = 0 \quad A = A_1 - \frac{N}{\sigma_a} \quad A_1 \geq FS(M_f).$$

$$\text{si } \bar{\sigma}_b' > \bar{\sigma}_b \quad A' \neq 0 \quad \frac{A = A_1}{f_c f_s} \quad \frac{A = A_1 - \frac{N}{\sigma_a}}{f_c f_s}$$

pourcentage minimum d'armatures (Art 322 et 53.23 CCBA 68)

$$\omega_p = \frac{A_1}{B} \geq \frac{1,25}{1000} \theta_1 \theta_2 \theta_3 \frac{\sigma_m}{\bar{\sigma}_{b_0}}$$

$(\theta_1, \theta_2, \theta_3)$ voir charon.

σ_m' = contrainte moyenne de compression dans le béton = $\frac{N}{b y_1}$

en compression simple :

$$A_f \geq \frac{125}{1000} \sigma_1 \sigma_2 \sigma_3 \frac{N}{\sigma_{b0}} \quad \text{B = section du Beton}$$

$$A_f \geq \frac{1}{15} \left(\frac{N}{\sigma_{b0}} - B \right)$$

$$A_f \leq \frac{B}{20}$$

le RPA81 exige : $A_f \geq \frac{B}{100}$ et $A_f \leq \frac{B}{25}$

Flambement des poteaux :

f_c = longueur de flambement :

$f_c = 0,7f_0$ poteau d'un bâtiment à étage multiple :

$$\text{épancement } \lambda = \frac{f_c}{i} \quad i = \sqrt{\frac{I}{B}}$$

si $\lambda \leq 35$ calcul en flexion composée sans tenir compte du flambement.

Si $35 < \lambda < 50$ le calcul se fera en flexion composée avec une excentricité additionnelle $e_e = 9,16(\lambda - 35)e_s$

pour notre cas : $\lambda = \frac{f_c}{i} = \frac{f_c \sqrt{E}}{a} = 24,3 \leq 35$

Donc on ne tiendra pas compte de l'effet du flambement.

Dans notre cas :

on a :

$$e_s = \frac{h_t}{6} = 8,34 \text{ cm} \quad \text{portion longitudinale}$$

$$e_t = \frac{h_t}{6} = 6,67 \text{ cm} \quad \text{portion transversale.}$$

- Armatures longitudinales :

- barres à hautes adhérences.
- les barres verticales doivent être droites sans crochets
- % des barres $> 1\%$ en zone II
 - $< 4\%$ pour $\epsilon_{28}' \leq 270$ bars
 - $< 5\%$ pour $\epsilon_{28}' > 270$ bars
- $\phi_{min} = 14 \text{ mm}$ (Zone II)
- Longueur minimale de recouvrement = 50 Ø
- distance entre les barres verticales ne doit dépasser 25 cm

pour notre cas $A_{min} = 80 \text{ cm}^2$

$$A_{max} = 80 \text{ cm}^2 \quad \epsilon_{28}' \leq 270 \text{ bars}$$

$$A_{max} = 100 \text{ cm}^2 \quad \epsilon_{28}' > 270 \text{ bars.}$$

N^{max}M^{corr}

sous SP 2

transversal

longitudinal.

air	poteau	N ^{max} (t)	M ^{corr} tm	e ₀ cm	G _b kg/c
I	1 - 4	2,10	3,6	163,8	206,55 SPC
	2 - 5	2,96	3,19	107,52	206,55 SPC
	3 - 6	2,34	3,19	136,03	206,55 SPC
VII	4 - 7	5,47	4,05	141,19	206,55 SPC
	5 - 8	5,71	5,9	103,33	206,55 SPC
	6 - 9	4,74	5,6	118,14	206,55 SPC
VI	7 - 10	10,80	5,28	51,73	206,55 SPC
	8 - 11	9,00	7,20	79,92	206,55 SPC
	9 - 12	7,10	7,44	104,7	206,55 SPC
V	10 - 13	16,61	6,62	39,86	206,55 SPC
	11 - 14	15,14	10,62	70,54	206,55 SPC
	12 - 15	9,46	10,25	111,14	206,55 SPC
IV	13 - 16	23,69	8,86	37,4	206,55 SPC
	14 - 17	20,36	14,65	69,99	206,55 SPC
	15 - 18	11,86	14,06	118,95	206,55 SPC
III	16 - 19	34,48	10,37	30,08	206,55 SPC
	17 - 20	26,39	17,19	65,14	206,55 SPC
	18 - 21	14,77	16,81	116,46	206,55 SPC
II	19 - 22	47,44	10,52	24,18	206,55 SPC
	20 - 23	32,80	19,89	60,64	206,55 SPC
	21 - 24	16,53	19,11	115,61	206,55 SPC
I	22 - 25	59,98	31,4	52,35	206,55 SPC
	23 - 26	39,74	32,37	81,45	206,55 SPC
	24 - 27	18,89	31,73	168,64	206,55 SPC

air	poteau	N ^{max} (t)	M ^{corr} tm	e ₀ cm	G _b kg/c
I	1 - 3	7,03	5,88	83,64	206,55 SPC
	2 - 4	12,65	6,57	51,94	206,55 SPC
VII	3 - 5	16,24	7,21	44,4	206,55 SPC
	4 - 6	27,34	10,9	39,85	206,55 SPC
VI	5 - 7	17,13	8,8	32,43	206,55 SPC
	6 - 8	47,35	14,26	30,11	206,55 SPC
V	7 - 9	37,24	10,57	28,38	206,55 SPC
	8 - 10	69,05	17,56	25,43	206,55 SPC
IV	9 - 11	53,52	11,98	12,38	195,70 SPC
	10 - 12	86,22	20,46	23,45	199,79 SPC
III	11 - 14	67,85	16,64	24,52	194,60 SPC
	12 - 15	118,12	20,9	17,69	176,05 SPC
II	13 - 18	11,48	8,78	76,44	206,55 SPC
	14 - 19	81,36	19,08	23,52	200,08 SPC
I	15 - 20	109,85	26,48	20,47	187,54 SPC
	16 - 21	141,8	22,49	15,86	168,50 SPC
I	17 - 22	82,83	13,58	16,40	170,73 SPC
	18 - 23	21,47	18,29	8113	206,55 SPC
I	19 - 24	93,04	20,31	21,83	193,11 SPC
	20 - 25	104,79	22,71	21,67	193,45 SPC
I	21 - 26	165,5	26,71	13,72	159,68 SPC
	22 - 27	97,24	18,30	18,82	180,70 SPC

N_{min} → M_{corr} sous SP 2

transversal

niv	pot	N _{min} t	M _{corr} cm	e ₀ cm	G _b kg/dm ³
T	1 - 4	- 0,30	2,607	851,9	206,55 SPC
	2 - 5	1,44	3,28	227,7	206,55 SPC
	3 - 6	1,75	1,59	90,9	206,55 SPC
III	4 - 7	- 1,907	4,058	216,8	206,55 SPC
	5 - 8	2,42	5,88	242,2	206,55 SPC
	6 - 9	3,25	5,64	173,4	206,55 SPC
IV	7 - 10	1,64	4,86	294,7	206,55 SPC
	8 - 11	3,09	7,19	234,7	206,55 SPC
	9 - 12	4,12	7,44	157,5	206,55 SPC
V	10 - 13	1,77	6,24	352,1	206,55 SPC
	11 - 14	3,16	10,67	337,2	206,55 SPC
	12 - 15	6,19	10,15	165,5	206,55 SPC
VI	13 - 16	1,80	8,47	470,5	206,55 SPC
	14 - 17	3,05	14,23	465,2	206,55 SPC
	15 - 18	7,66	14,06	183,7	206,55 SPC
VII	16 - 19	1,32	9,98	756,1	206,55 SPC
	17 - 20	2,48	17,18	691,3	206,55 SPC
	18 - 21	9,12	16,51	184,0	206,55 SPC
VIII	19 - 22	0,13	13,00	2416,5	206,55 SPC
	20 - 23	1,68	19,87	1191,2	206,55 SPC
	21 - 24	10,59	19,14	180,7	206,55 SPC
IX	22 - 25	- 0,18	31,063	1676,7	206,55 SPC
	23 - 26	+ 0,57	31,25	556,7	206,55 SPC
	24 - 27	12,06	31,73	263,5	206,55 SPC

Longitudinal

niv	pot corr	N _{min} t	M _{corr} cm	e ₀ cm	G _b kg/dm ³
I	1 - 3	1,94	5,14	174,05	206,55 SPC
	2 - 4	6,01	1442	23,6	206,55 SPC
II	3 - 5	4,02	6,50	161,8	206,55 SPC
	4 - 6	- 3,64	9,27	254,6	206,55 SPC
III	5 - 7	3,71	8,13	218,8	206,55 SPC
	6 - 8	1,39	12,64	206,7	206,55 SPC
IV	7 - 9	2,00	9,89	494	206,55 SPC
	8 - 10	- 1,07	15,95	770,5	206,55 SPC
V	9 - 11	- 0,74	11,31	1522,2	206,55 SPC
	10 - 12	- 1,38	18,94	1370,5	206,55 SPC
VI	11 - 14	- 3,91	16,03	410,2	206,55 SPC
	12 - 15	- 7,53	19,62	260,5	206,55 SPC
VII	13 - 18	2,81	18,65	663,2	206,55 SPC
	14 - 19	11,32	18,65	164,8	206,55 SPC
VIII	15 - 20	11,51	24,61	184,6	206,55 SPC
	16 - 21	11,66	20,87	178,8	206,55 SPC
IX	17 - 22	2,93	13,58	453,7	206,55 SPC
	18 - 23	8,79	18,59	208,1	206,55 SPC
X	19 - 24	24,62	18,04	73,3	206,55 SPC
	20 - 25	28,21	22,78	80,7	206,55 SPC
XI	21 - 26	11,63	22,71	202,1	206,55 SPC
	22 - 27	0,985	18,30	1858,3	206,55 SPC

N_{CORN}M^{max} 79 sous SP 1

transversal

nir	poleau	N _t	M ^{max} _{t,m}	e _o cm	G _b ' kg/lat
I	1 - 4	4,79	0,33	11,81	109,49 SPC
	2 - 5	4,38	0,057	1,31	73,41 SEC
	3 - 6	4,15	0	0	68,85 CS
II	4 - 7	5,59	0,244	4,4	84,11 SEC
	5 - 8	8,34	0,039	0,44	70,43 SEC
	6 - 9	8,63	0	0	68,85 CS
III	7 - 10	8,39	0,201	2,4	77,18 SEC
	8 - 11	13,61	0,038	0,28	69,97 SEC
	9 - 12	11,91	0	0	68,85 CS
IV	10 - 13	11,18	0,201	1,80	74,94 SEC
	11 - 14	17,57	0,038	0,22	68,60 SEC
	12 - 15	17,30	0	0	68,85 CS
V	13 - 16	13,98	0,201	1,44	73,70 SEC
	14 - 17	21,98	0,038	0,17	69,33 SEC
	15 - 18	21,64	0	0	68,85 CS
VI	16 - 19	16,78	0,201	1,12	76,87 SEC
	17 - 20	26,40	0,038	0,14	69,13 SEC
	18 - 21	25,98	0	0	68,85 CS
VII	19 - 22	19,58	0,201	1,03	72,19 SEC
	20 - 23	30,81	0,031	0,10	69,16 SEC
	21 - 24	39,31	0	0	68,85 CS
VIII	22 - 25	22,39	0,201	0,90	71,84 SEC
	23 - 26	35,23	0,038	0,11	69,13 SEC
	24 - 27	34,68	0	0	68,85 CS

longitudinal.

nir	poleau	N _t	M ^{max} _{t,m}	e _o cm	G _b ' kg/lat
I	1 - 3	7,73	2,66	34,44	137,77 SPC
	2 - 4	12,8	1,115	8,71	91,95 SPC
II	3 - 5	16,13	1,17	10,99	99,12 SPC
	4 - 6	25,78	0,87	3,41	78,12 SEC
III	5 - 7	24,58	1,69	6,92	87,76 SEC
	6 - 8	38,74	0,85	1,2	74,80 SEC
IV	7 - 9	32,96	1,69	5,15	81,90 SEC
	8 - 10	54,70	0,85	1,65	73,28 SEC
V	9 - 11	41,37	1,69	4,11	80,04 SEC
	10 - 12	64,67	0,85	1,32	74,38 SEC
VI	11 - 14	49,79	1,69	3,41	78,12 SEC
	12 - 15	77,63	0,85	1,10	71,77 SEC
VII	13 - 18	14,11	6,37	53,40	137,77 SPC
	14 - 19	70,97	1,53	2,96	74,69 SEC
VIII	15 - 20	88,57	0,85	0,96	71,39 SEC
	16 - 21	87,56	0,85	0,96	71,39 SEC
IX	17 - 22	58,19	1,69	2,96	76,77 SEC
	18 - 23	24,36	1,43	5,87	84,88 SEC
X	19 - 24	90,06	1,10	1,25	72,18 SEC
	20 - 25	99,76	0,85	0,86	71,11 SEC
XI	21 - 26	100,56	0,85	0,85	71,11 SEC
	22 - 27	66,61	1,69	2,5	75,62 SEC

Determination des armatures longitudinales:

Section partiellement comprimée sous SP1

portique transversale:

n_{ir}	p_{at}	Γ_{Lm}	N_L	γ	ϵ	k	$G_{Rg/L}^{'}$	$\bar{G}_{Rg/L}^{'}$	$A_{1\text{ cm}^2}$	A_{cm^2}
T	1-4	0,33	2,79	0,0042	0,9704	154	27,27	10,95	0,53	20

particule longitudinale

π_{ir}	ρ_{st}	π_T cm	π_c	γ	ϵ	K	b_b' kg/m^2	\bar{b}_b' kg/m^2	A_1 cm^2	A cm^2
T	1-3	2,66	7,73	0,0176	0,9425	70,5	59,57	137,55	2,34	0,5
T	2-4	1,11	12,8	0,0159	0,9442	74,5	56,37	92,85	2,11	<0
T	3-5	1,77	16,13	0,0215	0,9359	63	66,66	99,71	2,88	<0
II	13-18	6,37	11,11	0,0357	0,9191	46,8	89,74	137,75	4,86	2,22

pour le calcul des sections entièrement comprises
dans SPT on obtient des sections glaciées négatives pour
tous les poteaux (et ce transversalement et longitudinalement)

Section en compression simple :

Section partiellement comprimée sous SP2
 $N^{nat} \rightarrow M^{corr}$

transversal.

div	pot	$M_{\text{t.m.}}$	N_c	$M_f_{\text{t.m.}}$	γ	E	K	G_b' kg/mm²	\bar{G}_b' kg/mm²	A_{corr}	A_{cmc}
I	1-4	2,16	2,1	2,95	0,0184	0,9451	46	56,46	206,55		1,51
	2-5	3,19	2,96	3,69	0,0193	0,9390	67	63,69	206,55		1,82
II	3-6	3,19	2,34	3,58	0,0187	0,9398	68	64,76	206,55		1,89
	4-7	4,58	5,47	5,34	0,0249	0,9275	54	77,78	206,55		2,4
	5-8	5,90	5,71	6,87	0,0358	0,9191	46,8	89,74	206,55		3,45
III	6-9	5,6	4,74	6,40	0,0334	0,9216	48,8	86,07	206,55		3,34
	7-10	5,28	10,70	7,01	0,0366	0,9183	46,2	90,91	206,55		2,48
	8-11	7,20	9,01	8,73	0,0455	0,9101	40,6	103,45	206,55		4,03
IV	9-12	7,44	7,106	9,65	0,0451	0,9104	40,8	102,94	206,55		4,42
	10-13	6,62	16,61	9,44	0,0493	0,9067	38,6	108,81	206,55		2,74
	11-14	10,68	15,14	13,65	0,0696	0,8922	31,4	133,76	206,55		5,95
V	12-15	10,25	9,46	11,85	0,0619	0,8971	33,6	125	206,55		6,25
	13-16	8,86	23,69	12,89	0,0676	0,8934	31,9	131,66	206,55		3,64
	14-17	14,65	20,36	11,71	0,0924	0,8783	26,1	160,92	206,55		8,13
VI	15-18	14,06	11,86	16,06	0,0838	0,8832	27,8	153,08	206,55		8,89
	16-19	10,37	34,88	16,13	0,0847	0,8826	27,6	152,17	206,55		3,62
	17-20	17,19	26,39	21,67	0,1131	0,8684	22,9	183,41	206,55		9,78
VII	18-21	16,51	14,77	18,91	0,0987	0,8750	25	168,0	206,55		10,53
	19-22	10,52	47,44	18,58	0,097	0,8759	25,3	166,01	206,55		2,35
	20-23	18,89	32,80	24,46	0,1277	0,8615	21,1	199,05	206,55		12,46
VIII	21-24	19,11	16,53	21,92	0,1144	0,8674	22,7	185,05	206,55		11,33
	22-25	31,4	59,98	41,59	0,1120	0,8311	14,6	217,7	206,55	16,56	16,11
	23-26	32,37	34,74	39,16	0,1041	0,8350	15,3	234,5	206,55	13,97	19,20
IX	24-27	31,73	18,99	34,94	0,1843	0,8413	16,5	254,55	206,55	9,59	24,88

$N^{\text{max}} \rightarrow M^{\text{corr}}$

longitudinal

ΔV	pot	M_{cm}	N_{c}	M_f_{cm}	γ	ϵ	k	G_b'	\bar{G}_b'	A'_{cm^2}	A_{cm^2}
I	1-3	5,88	7,03	7,42	0,0300	0,954	58	80,77	206,55		2,27
	6-4	6,57	12,65	9,35	0,0378	0,9142	45,4	98,51	206,55		2,15
II	3-5	7,21	16,24	10,78	0,0436	0,91178	41,6	100,96	206,55		2,12
	4-6	10,9	27,35	16,91	0,0684	0,8927	31,6	132,91	206,55		3,08
III	5-7	8,8	27,13	14,76	0,0591	0,8988	34,4	122,09	206,55		1,86
	6-8	14,26	47,35	24,67	0,0994	0,8744	24,8	169,35	206,55		3,02
IV	7-9	10,57	37,24	18,76	0,0758	0,8879	29,6	141,83	206,55		1,84
	8-10	17,56	69,05	32,75	0,1324	0,8596	20,6	203,88	206,55		2,86
V	9-11	11,98	53,52	23,75	0,0960	0,8762	25,4	165,35	195,7		0,99
	10-12	20,22	86,22	39,18	0,1584	0,8494	18,2	239,77	199,79	6,73	2,12
VI	11-14	16,64	67,85	31,56	0,1676	0,8615	21,1	199,05	204,2		2,40
	12-15	20,9	118,12	46,88	0,1895	0,8392	16,1	260,87	176,05	19,45	<0
VII	13-18	8,78	11,48	11,3	0,0457	0,9098	40,4	103,96	206,55		3,56
	14-15	19,08	81,13	36,92	0,1493	0,8529	19	121,05	200,08	4,65	2,16
I	15-16	22,49	109,18	46,65	0,1886	0,8392	16,1	260,87	187,51	17,17	0,34
	16-17	22,49	141,8	53,6	0,2170	0,8392	14,6	287,96	168,50	27,35	<0
II	17-22	13,58	82,83	31,8	0,1285	0,8611	21	200,05	170,73	7,29	<0
	18-23	18,27	22,47	23,23	0,0939	0,8774	25,8	162,79	206,55		8,06
III	19-24	20,31	93,04	40,77	0,1648	0,8471	17,7	237,29	193,11	9,90	1,67
	20-25	22,71	104,79	45,74	0,1849	0,8403	16,3	257,67	192,45	14,74	1,15
IV	21-26	26,71	165,5	59,12	0,2390	0,8252	13,6	308,86	159,68	34,36	<0
	22-27	18,31	97,24	39,69	0,1604	0,8489	18,1	232,04	180,70	12,47	<0

$N^{\min} \rightarrow M^{\text{corr}}$

transversal

niv	pot	M_{em}	N_{\pm}	$M_{\mp \text{em}}$	γ	ε	k	G_b' kg/kA	\bar{G}_b kg/kA	A' cm ²	A cm ²
T	1-3	2,6	-0,30	2,54	0,0133	0,9487	82,5	50,91	206,55		143
	2-4	3,28	1,44	3,52	0,0184	0,9405	69	60,87	206,55		155
	3-5	1,59	1,75	1,88	0,0098	0,9556	97,5	43,08	206,55		0,58
VII	4-6	4,05	-1,90	3,73	0,0198	0,9387	66,5	63,16	206,55		2,47
	5-7	5,88	2,43	6,29	0,0314	0,9226	49,6	84,68	206,55		2,88
	6-8	5,68	3,25	6,10	0,0324	0,9226	49,6	84,68	206,55		2,63
VI	7-9	4,86	1,64	5,14	0,0268	0,9291	55,5	75,68	206,55		2,41
	8-10	7,19	3,09	7,71	0,0403	0,9147	43,6	96,33	206,55		3,53
	9-11	7,44	4,72	8,24	0,0430	0,9123	42	109,0	206,55		3,45
V	10-12	6,24	1,77	6,54	0,0341	0,9209	48,2	87,14	206,55		3,18
	11-13	10,67	3,16	11,20	0,0585	0,8996	34,8	120,69	206,55		5,55
	12-14	10,25	6,19	11,3	0,0590	0,8992	34,6	121,39	206,55		4,89
IV	13-15	8,47	1,80	8,77	0,0459	0,9038	40,4	103,96	206,55		4,45
	14-16	14,23	3,059	14,75	0,0770	0,8871	29,3	143,34	206,55		7,69
	15-17	14,06	7,66	15,36	0,0802	0,8853	29,6	146,85	206,55		6,97
III	16-18	9,98	1,32	10,20	0,0532	0,9038	37	113,51	206,55		5,4
	17-19	17,18	2,48	17,60	0,0918	0,8786	26,2	160,31	206,55		9,60
	18-20	16,51	9,168	18,12	0,0946	0,8771	25,7	168,46	206,55		8,29
II	19-21	13,00	0,54	13,09	0,0683	0,8927	31,6	132,91	206,55		7,30
	20-22	19,87	1,68	20,15	0,1052	0,8718	24	175,0.	206,55		11,31
	21-23	19,14	10,59	20,94	0,1093	0,8698	23,4	179,49	206,55		9,67
I	22-24	31,23	-0,185	31,19	0,1628	0,8480	17,9	234,64	206,55	0,185	23,4
	23-25	31,75	0,57	31,84	0,1662	0,8466	17,6	238,64	206,55	0,031	23,7
	24-26	31,75	11,06	33,8	0,1164	0,8653	16,9	248,52	206,55	0,097	22,4

$N^{\min} \rightarrow M^{\text{corr}}$

Longitudinal.

liv	pot	M_{tm}	H_t	M_f_{tm}	r	E	K	$\frac{G_b}{R_{\text{tm}}}$	$\frac{G_b}{R_{\text{tm}}}$	A'_{cm^2}	A_{cm^2}
I	1-3	5,14	2,94	5,78	0,0234	0,9334	60	20	206,55		2,44
	2-4	1,42	6,04	2,74	0,0111	0,9445	75	56	206,55		0,03
II	3-5	6,50	4,02	7,39	0,0299	0,9254	58	80,77	206,55		3,09
	4-6	9,27	-3,64	8,46	0,0342	0,9106	48	87,55	206,55		5,52
III	5-7	8,13	3,71	8,94	0,0362	0,9188	46,6	90,13	206,55		4,04
	6-8	12,64	1,39	12,94	0,0523	0,9042	37,2	112,9	206,55		6,92
IV	7-9	9,89	2,00	10,33	0,0418	0,9135	46,8	98,13	206,55		5,25
	8-10	15,95	-1,07	15,49	0,0626	0,8967	33,4	125,75	206,55		9,14
V	9-11	11,31	-0,74	11,14	0,0451	0,9104	40,8	106,94	206,55		6,38
	10-12	18,94	-1,38	18,63	0,0753	0,8881	29,7	141,41	206,55		10,96
VI	11-13	16,038	-3,91	15,62	0,0615	0,8973	33,7	124,63	206,55		9,52
	12-15	19,62	-7,53	17,96	0,0726	0,8839	30,4	138,16	206,55		16,02
VII	13-18	18,65	2,912	19,16	0,0779	0,8866	29,1	144,33	206,55		10,34
	14-19	18,65	11,32	24,14	0,0854	0,8821	27,4	153,28	206,55		9,45
VIII	15-21	21,21	11,51	23,74	0,0960	0,8765	25,5	164,71	206,55		10,98
	16-21	29,87	11,66	23,43	0,0947	0,8771	25,7	163,71	206,55		10,75
IX	17-21	13,58	2,99	14,43	0,0575	0,9004	35,2	119,32	206,55		7,29
	18-21	18,29	8,79	20,22	0,0817	0,8843	28,2	148,94	206,55		9,48
X	19-24	18,04	24,62	23,45	0,0948	0,8771	25,7	163,42	206,55		7,68
	20-25	29,78	28,21	28,98	0,1172	0,8660	22,3	188,34	206,55		10,24
XI	21-26	22,71	11,23	25,18	0,1018	0,8734	24,5	171,43	206,55		16,93
	22-27	13,30	0,985	13,52	0,0546	0,9027	36,41	115,38	206,55		7,35

Tableau donnant le ferrailage adopté

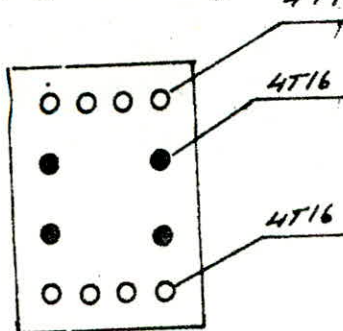
transversal

niv	potenti	A'_{col} cm ²	A_{col} cm ²	A'_{adapt}	A_{adapt}
T	1 - 4	0	1,81	4T16	4T16
	2 - 5	0	1,82	4T16	4T16
	3 - 6	0,33	1,89	4T16	4T16
VII	4 - 7	0	2,47	4T16	4T16
	5 - 8	0	3,45	4T16	4T16
	6 - 9	0,67	3,34	4T16	4T16
VI	7 - 10	0	2,48	4T16	4T16
	8 - 11	0	4,03	4T16	4T16
	9 - 12	1,015	4,42	4T16	4T16
V	10 - 13	0	3,18	4T16	4T16
	11 - 14	0	5,95	4T16	4T16
	12 - 15	1,35	6,65	4T16	4T16
IV	13 - 16	0	4,45	3T20	3T20
	14 - 17	0	8,13	3T20	3T20
	15 - 18	1,69	8,89	3T20	3T20
III	16 - 19	0	5,4	5T20	5T20
	17 - 20	0	9,78	5T20	5T20
	18 - 21	1,03	10,53	5T20	5T20
II	19 - 22	0	7,3	5T20	5T20
	20 - 23	0	11,31	5T20	5T20
	21 - 24	1,37	12,33	5T20	5T20
I	22 - 25	16,56	18,68	7T20	7T20
	23 - 26	13,97	19,20	7T20	7T20
	24 - 27	9,59	24,88	7T20	7T20

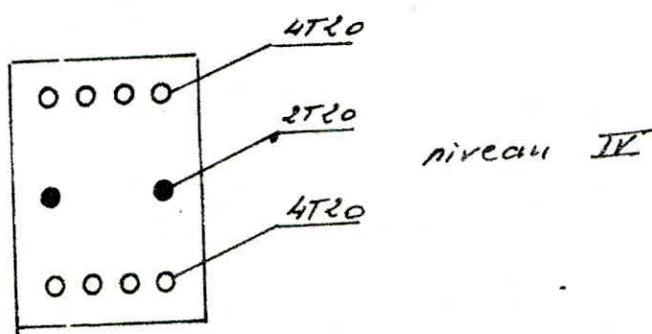
longitudinal

niv	potenti	A'_{col} cm ²	A_{col} cm ²	A'_{adapt}	A_{adapt}
T	1 - 3	0	2,44	4T16	4T16
	2 - 4	0	2,15	4T16	4T16
VII	3 - 5	0	3,09	4T16	4T16
	4 - 6	0	5,52	4T16	4T16
VI	5 - 7	0	4,04	4T16	4T16
	6 - 8	0	6,92	4T16	4T16
V	7 - 9	0	5,85	4T16	4T16
	8 - 10	0	9,24	4T16	4T16
IV	9 - 11	0	6,38	4T20	4T20
	10 - 12	6,73	10,96	4T20	4T20
III	11 - 14	0	9,52	8T20	8T20
	12 - 15	2,47	12,02	8T20	8T20
II	13 - 18	0	10,34	8T20	8T20
	14 - 19	4,65	9,45	8T20	8T20
I	15 - 20	12,17	10,98	8T20	8T20
	16 - 21	31,61	10,75	12T20	12T20
	17 - 22	7,29	7,29	8T20	8T20
	18 - 23	0	9,48	8T20	8T20
	19 - 24	9,90	7,68	8T20	8T20
	20 - 25	14,74	10,84	8T20	8T20
	21 - 26	4,914	11,93	14T20	14T20
	22 - 27	14,47	7,35	8T20	8T20

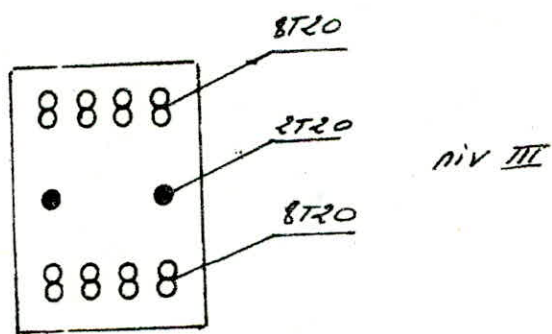
Ferraillage adopté



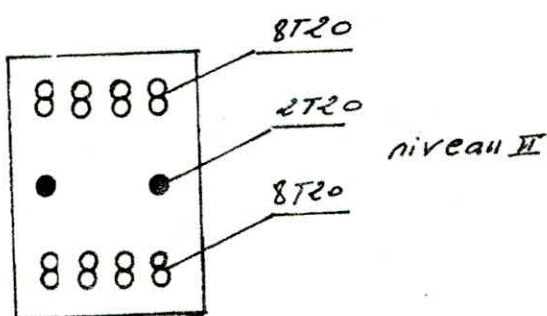
niveau I, III, IV, V



niveau IV

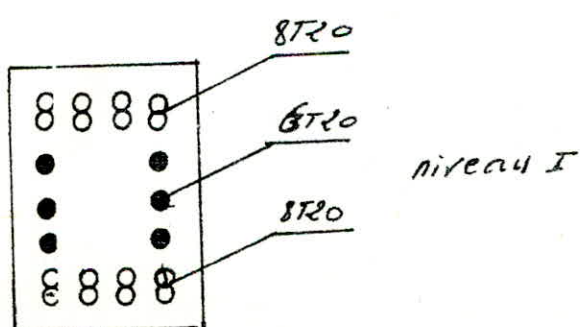
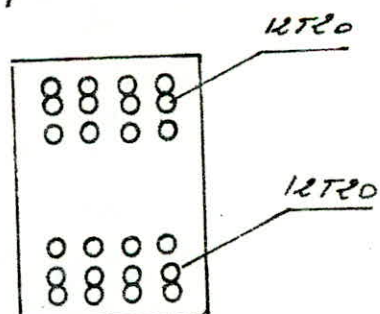


niv III



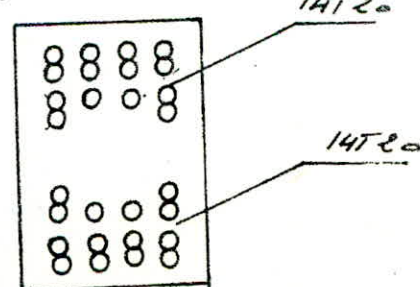
niveau II

poteau 16.20



niveau I

poteau 21-26



Armatures transversales

le rôle des armatures transversales est de :

- positionner les armatures longitudinales
- s'opposer au flambement des armatures longitudinales ce qui pourrait provoquer l'éclatement du béton

les armatures transversales seront prises perpendiculaires aux armatures longitudinales.

Le RPA 81 (art 42.312) exige un pourcentage minimum en zone II de :

$$A_t = 0,4\% \cdot t \cdot b$$

t = espacement des armatures transversales

b = largeur du poteau dans le sens considéré

les armatures transversales utilisées sont des cadres et étriers fermés.

on dispose donc dans chaque section des cadres et des étriers pour lesquels on calculera les espacements qu'on comparera à l'espacement admissible et on optera pour un espacement :

espacement admissible RPA 81.

$E \leq \min(10\phi_L, 15\text{cm})$ zone nodale.

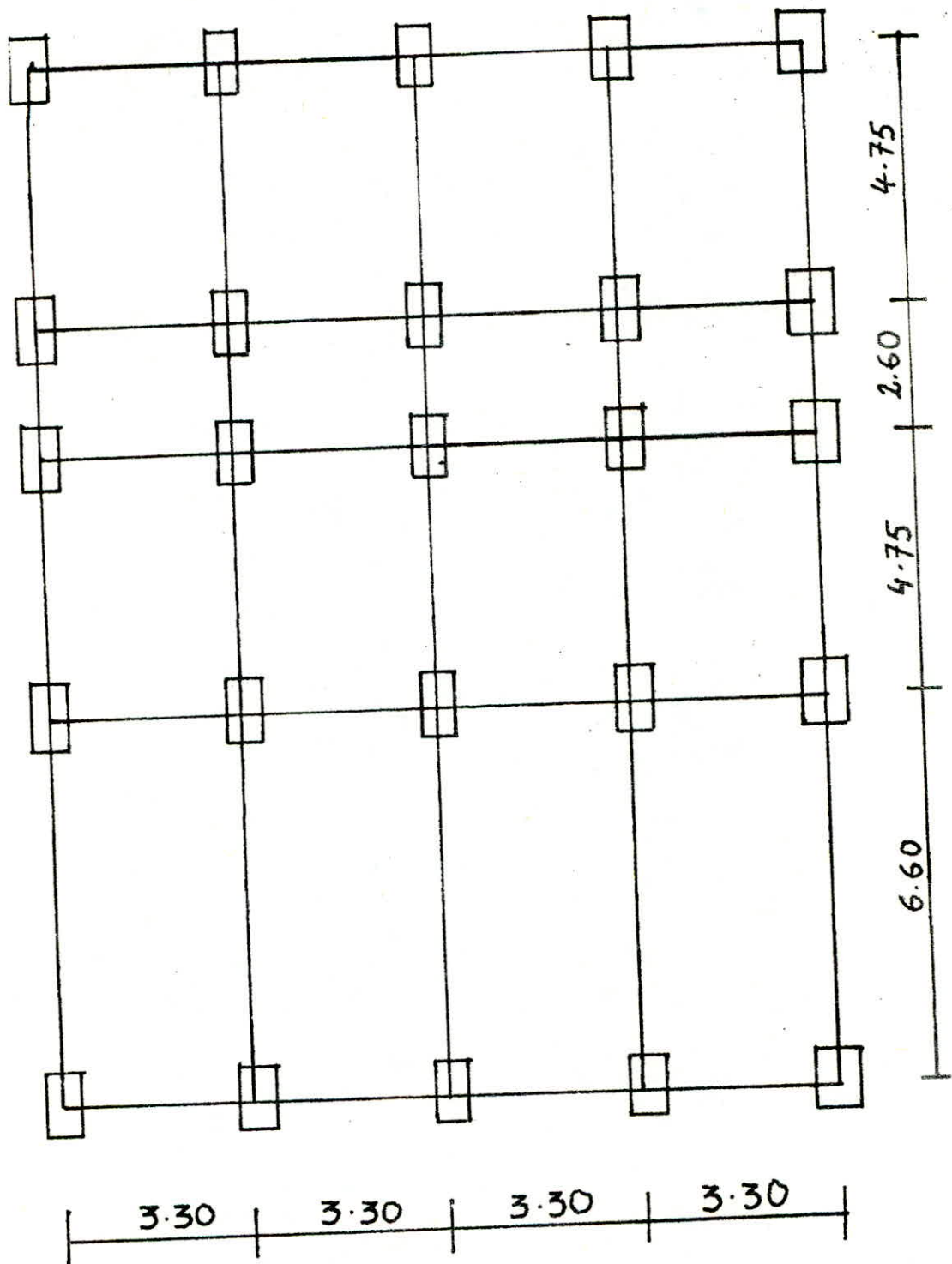
$E \leq 12\phi_L$ zone courante.

l'espacement t de coloutant est donné par $\frac{A_t}{E} = \frac{1,25T}{h_1 \cdot b_{en}}$

$T = 8 \times \text{Effort tranchant de coloutant}$ RPA 81 art 42.21

niv	$\frac{A_t}{E}$ (t)	A_t cm^2	cadre + étriers.	t cm	$Z_{courante}$ t adopté	Z_{nodale} t adopté	$b_{en} = 50\phi$ cm
VII	4,7	3,01	1 cadre 2 étriers T8	196	15	15	80
VI	9,18	3,01	"	57,3	15	15	80
V	13,04	3,01	"	40,1	15	15	80
IV	16,04	3,01	"	38,4	15	15	80
III	18,8	3,01	"	28	20	15	100
II	19,08	3,01	"	27	20	15	100
I	21,68	3,01	"	25	20	15	100
I	18,41	3,01	"	28,5	20	15	100

VUE EN PLAN



PREDIMENTONNEMENT POUTRES & POTEAUX

Predimensionnement des poutres

Poutres Longitudinales:

$$L = 6,60 \text{ m} \quad \frac{L}{15} \leq h_t \leq \frac{L}{10} \Rightarrow 44 \leq h_t \leq 66$$

$$h_t = 50 \text{ cm} \quad 0,3 h_t \leq b \leq 0,7 h_t \Rightarrow 15 \leq b \leq 35$$

soit

$$h_t = 50 \text{ cm} \quad b = 30 \text{ cm}$$

Poutres transversales :

$$L = 3,30 \text{ m}$$

soit

$$h_t = 35 \text{ cm} \quad b = 25 \text{ cm}$$

Predimensionnement des poteaux

Ce predimensionnement se fera conformement à la règle préconisée par le RPA 81.

$$A = b_1 \times b_2 \geq k \frac{N'}{\sigma'_{28}}$$

charges permanentes:

$$\underline{\text{Terrasse}} : \text{plancher: } 0,706 \times 15,298 = 10,800^t$$

$$\text{Poutres: } 2,15 \left[0,8 + 0,3 \times \frac{6,6 + 4,75}{2} + 0,3 \times 0,25 (3,3 - 0,4) \right] = 2,763^t$$

$$\underline{\text{Etage Courant}} : \text{Plancher: } 0,555 \times 15,298 = 8,490^t \quad G = 13,863^t$$

Poutres :

$$\frac{2,763^t}{G = 11,253}$$

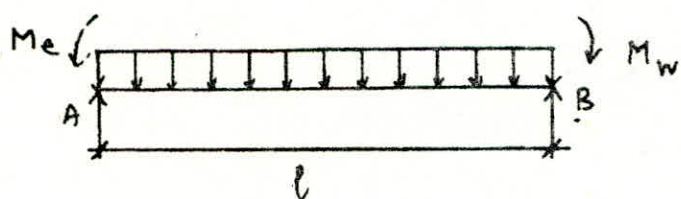
Le calcul nous a donné des poteaux

$$40 \times 60$$

Calcul des efforts Sous les charges verticales

La méthode de calcul est celle de M^e CARQUOT,
exposée en Annexe A du CCBA 68.

Efforts tranchants dans les poutres



$$\sum M_B = 0 \Rightarrow R_A = q \cdot \frac{l}{2} + \frac{M_e - M_w}{l}$$

d'où pour $x = l$ $T = \frac{M_e - M_w}{l} - q \frac{l}{2}$

$$x = 0 \quad T = \frac{M_e - M_w}{l} + q \frac{l}{2}$$

Efforts normaux dans les poteaux

les réactions aux appuis ($i-1$) et (i) donnent les efforts de compression dans les poteaux :

$$N_{i-1} = T_{(i-1)e} - T_{(i-1)w}$$

$$N_i = T_{ie} - T_{iw}$$

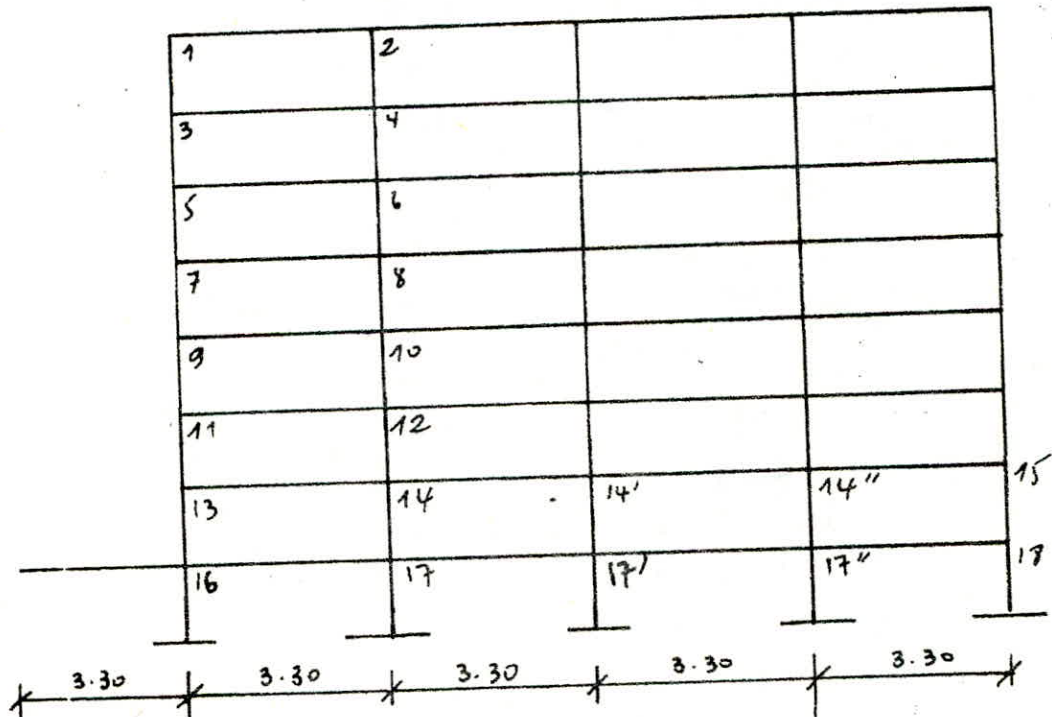
les efforts tranchants sont pris en valeurs

algébriques : $N > 0$: compression

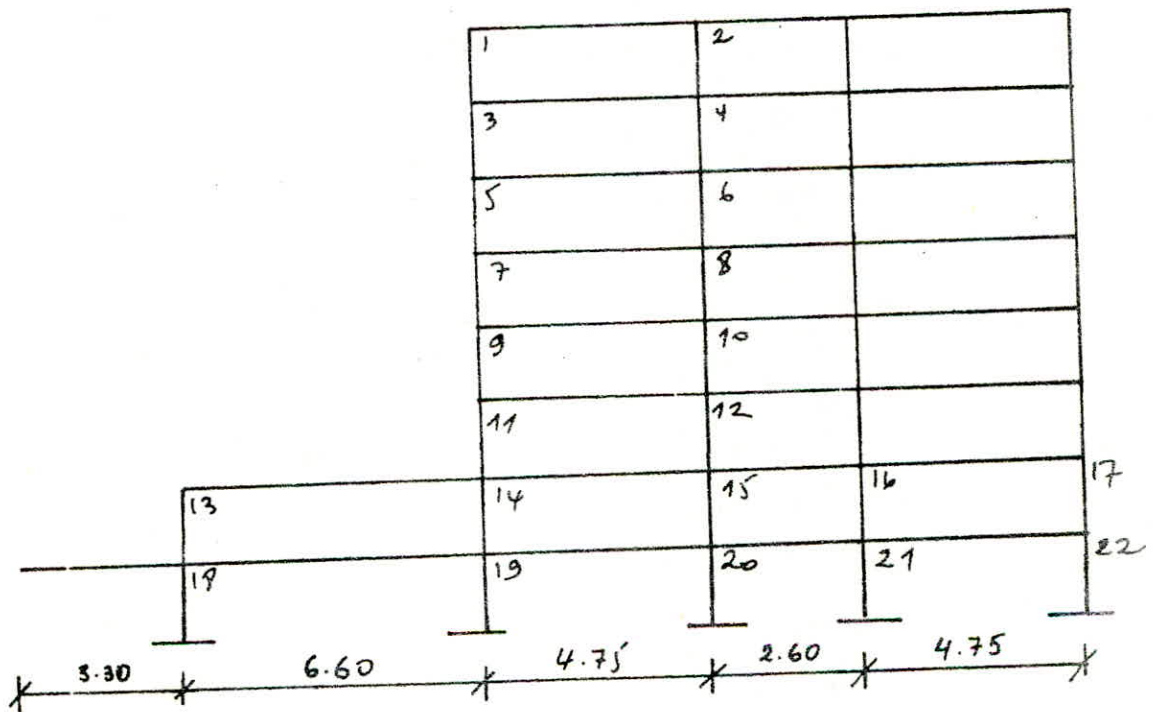
$N < 0$: traction

Schemas des portiques

Transversal



Longitudinal



Trans: SOUS G

Moments aux appuis

Efforts tranchants

Niv	Noeud	L'_e (m)	L'_w (m)	$q_e q_w$ t/m ²	M'_e t.m	M'_w t.m	M_e t.m	M_w t.m	M_n t.m	M_s t.m	Travée	q t/m ²	$T_{x=0}$	$T_{x=l}$
T	1	2,32	/	0,678	0,429	/	0,315	/	0	0,315	1-2	0,678	1,15	-1,09
	2	2,32	2,32	0,678	0,429	0,429	0,429	0,429	0	0				
VII	3	2,32	/	0,58	0,367	/	0,308	/	0,163	0,145	2-2'	0,678	1,12	-1,12
	4	2,32	2,32	0,58	0,367	0,367	0,367	0,367	0	0				
VI	5	2,32	/	0,58	0,367	/	0,311	/	0,156	0,156	3-4	0,58	0,98	-0,94
	11	2,32	/	0,58	0,367	/	0,311	/	0,156	0,156				
IV	6	2,32	2,32	0,58	0,367	0,367	0,367	0,367	0	0	4-4'	0,58	0,96	-0,96
	10	2,32	2,32	0,58	0,367	0,367	0,367	0,367	0	0				
II	13, 15	2,32	/	0,58	0,367	/	0,311	/	0,156	0,156	5-6	0,58	0,97	-0,94
	14, 14'	2,32	2,32	0,58	0,367	0,367	0,367	0,367	0	0				
I	16	2,32	2,48	0,58	0,367	2,928	1,523	/	-2,713	-2,713	16-17	0,58	0,13	-1,78
	17	2,32	2,32	0,58	0,367	-0,203	0,291	-0,127	0,209	0,209				
I	17', 17''	2,32	2,32	0,58	0,367	0,307	0,367	0,367	0	0	17'-17'	0,58	0,99	-0,92
	18	/	2,32	0,58	/	0,367	/	0,311	0,156	0,156				
											17"-18	0,58	0,90	-1,01

SOUS P

Moments aux appuis

Efforts Tranchants

Niv	Noeud	L'_e (m)	L'_w (m)	$q_e q_w$ t/m ²	M'_e t.m	M'_w t.m	M_e t.m	M_w t.m	M_n t.m	M_s t.m	Travée	q t/m ²	$T_{x=0}$	$T_{x=l}$
T	1	2,32	/	0,065	0,104	/	0,035	/	0	0,035	1-2	0,065	0,108	-0,11
	2	2,32	2,32	0,065	0,104	0,104	0,041	0,041	0	0				
III	3	2,32	/	0,163	0,103	/	0,094	/	0,044	0,05	3-4	0,163	0,201	-0,27
	4	2,32	2,32	0,163	0,103	0,10	0,103	0,103	0	0				
VI	5	2,32	/	0,163	0,103	/	0,095	/	0,047	0,047	4-4'	0,163	0,24	-0,24
	11	2,32	/	0,163	0,103	/	0,095	/	0,047	0,047				
IV	6	2,32	2,32	0,163	0,103	0,10	0,103	0,103	0	0	5-6	0,163	0,20	-0,27
	10	2,32	2,32	0,163	0,103	0,10	0,103	0,103	0	0				
II	13, 15	2,32	/	0,163	0,103	/	0,095	/	0,047	0,047	16-17	0,163	0,24	-1,51
	14, 14'	2,32	2,32	0,163	0,103	0,10	0,103	0,103	0	0				
I	16	2,32	2,48	0,163	0,103	4,136	0,499	/	-1,848	-1,848	17-17'	0,163	0,24	-0,24
	17	2,32	2,32	0,163	0,103	-0,105	0,092	-0,035	0,063	0,063				
I	17', 17''	2,32	2,32	0,163	0,103	0,103	0,103	0,103	0	0	17"-18	0,163	0,19	-0,27
	18	/	2,32	0,163	/	0,103	/	0,094	0,047	0,047				

Long:

Sous G

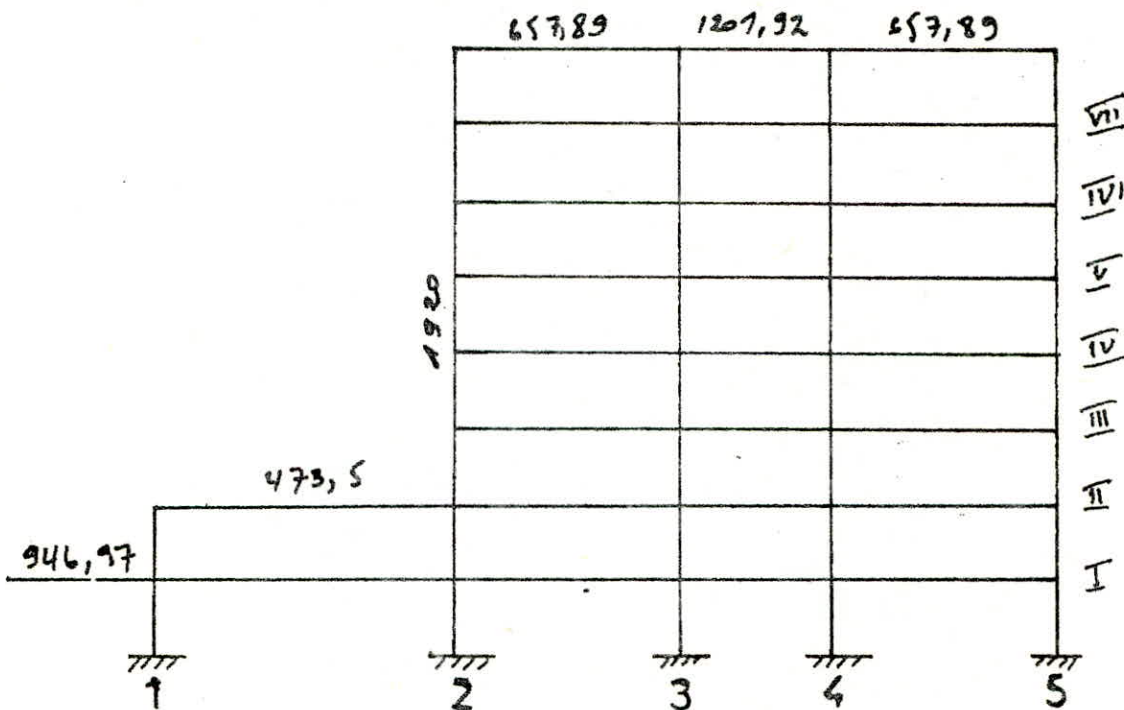
Moments aux appuis										Efforts tranchants					
Niv	Noeud	L_e (m)	L'_w (m)	$q_e q_w$ t/m	M'_e t.m	M'_w t.m	M_e t.m	M_w t.m	M_n t.m	M_s t.m	Travé	q t/m	$T_{u=0}$	$T_{u=1}$	
T	1	3,32		2,705	3,503			2,52		0	2,52				
	2	1,6	3,32	2,705	0,815	3,508	1,81	3,03	0	-1,22	1-2	2,705	6,04	-6,81	
VII	3	3,32		2,207	2,862			2,37		1,12	1,25	2-3'	2,705	3,52	3,52
	4	1,6	3,32	2,207	0,665	2,862	1,24	2,58	-0,63	-0,71	3-4	2,207	4,28	-4,88	
VI	5	7									4-4'	2,207	2,21	-2,21	
	9	11	3,32		2,207	2,862		2,39		1,19	1,19	5-6	2,207	4,28	-4,87
IV - III	6	8									6-6'	2,207	2,21	-2,21	
	12	1,6	3,32	2,207	0,665	2,862	1,22	2,59	-0,68	-0,68	13-14	2,207	6,07	-7,13	
II	13	4,88		2,207	5,982			4,799		0	4,80	14-15	2,207	5,65	-3,51
	14	3,32	4,8	2,207	2,862	5,982	3,321	5,66	-1,17	-1,17	15-16	2,207	2,21	-2,21	
	15	1,6	3,32	2,207	0,665	2,862	1,22	2,59	-0,68	-0,68	16-17	2,207	4,87	-4,87	
	16	3,32	1,6	2,207	5,982	0,665	2,59	1,22	0,68	0,68	-18	2,207	0	-4,88	
	17		3,32	2,207		2,862		2,39	1,19	1,19	17-18	2,207	7,32	-5,92	
I	18	4,88	3,05	2,207	7,239	7,425	7,26		-0,08	-0,08	19-20	2,207	5,54	-3,62	
	19	3,32	4,8	2,207	2,862	5,468	3,25	5,20	-0,98	-0,98	20-21	2,207	2,21	-2,21	
	20	1,6	3,32	2,207	0,665	2,862	1,22	2,59	-0,68	-0,68	21-22	2,207	4,87	-4,28	
	21	3,32	1,6	2,207	2,802	0,605	2,59	1,22	0,68	0,68					
	22		3,32	2,207		2,862		2,39	1,19	1,19					

Long:
Sous P

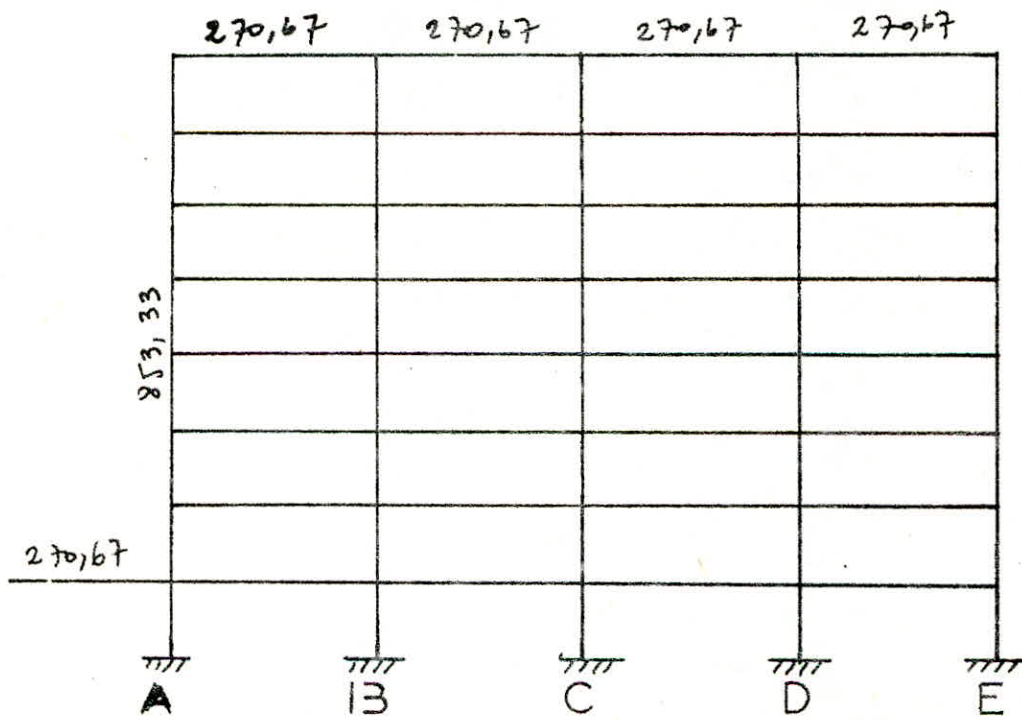
Moments aux appuis											Efforts tranchants			
Niv	Noeud	L'e (m)	L'w (m)	q'e t/mc	M'e	M'w	M'e	Mw	Mn	Ms	Travée	q t/mc	T _{z=0}	T _{z=0'}
T	1	3,32		0,33	0,428		0,307		0	0,307	1-2	0,33	0,631	-0,738
	2	1,6	3,32	0,33	0,095	0,428	0,221	0,370	0	-0,149	2-2'	0,825	0,33	-0,33
VII	3	3,32		0,825	1,07		0,894		0,417	0,469	3-4	0,825	1,6	-1,824
	4	1,6	3,32	0,825	0,248	1,07	0,464	0,969	-0,234	-0,265	4-4'	0,825	0,825	-0,850
VI	5	7	3,32		0,825	1,07			0,447	0,447	5-6	0,825	1,602	-1,822
IV	9	11									6-6'	0,825	0,825	-0,925
III	6	8	1,6	3,32	0,825	0,248	1,07	0,457	0,969	-0,256	13-14	0,825	2,268	-2,692
	10	12									14-15	0,825	2,112	-1,312
II	13	4,8		0,825	2,236		1,794		0	1,794	15-16	0,825	0,825	-0,825
	14	3,32	4,8	0,825	1,07	2,236	1,242	2,447	-0,438	-0,438	16-17	0,825	1,322	-1,602
I	15	1,6	3,32	0,825	0,248	1,07	0,457	0,969	-0,256	-0,256	-18	0,825	0	-2,3
	16	3,32	1,6	0,825	1,07	0,248	0,969	0,457	0,256	0,256	17-19	0,825	2,893	-2,057
	17		3,32	0,825		1,07		0,894	0,447	0,447	19-20	0,825	2,056	-1,368
	18	4,8	3,05	0,825	2,706	M _{w4} 3,713	2,816		-0,448	-0,448	20-21	0,825	0,825	-0,825
	19	3,32	4,8	0,825	1,07	1,979	1,204	1,886	-0,341	-0,341	21-22	0,825	1,822	-1,602
	20	1,6	3,32	0,825	0,248	1,07	0,457	0,969	-0,256	-0,256				
	21	3,32	1,6	0,825	1,07	0,248	0,969	0,457	0,256	0,256				
	22		3,32	0,825		1,07		0,894	0,447	0,447				

96

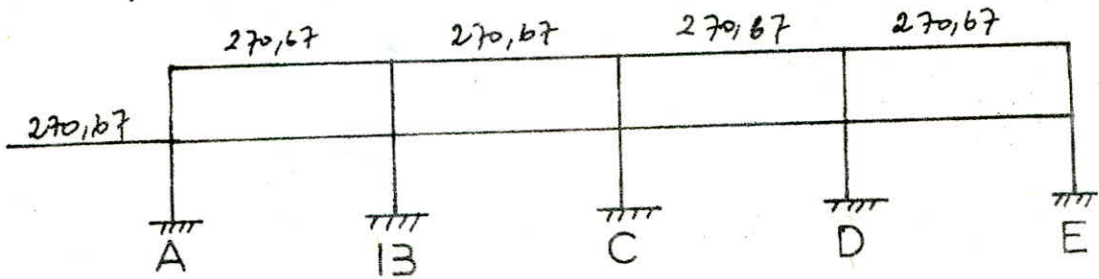
Portiques Longitudinaux_AAJBIB_CC_DD_EE



Portiques Transversaux 22.33.44.55



Portique Transversal 11



Portiques Longitudinaux (A.A), (B.B), (C.C), (D.D), (E.E)

Niv	file de Poteau	\bar{K}	a	K_p cm ³	αK_p cm ³	$D_j = \sum \alpha K_p$	$\frac{12E}{k_j^2} D_j$ kg/cm
R.I	1	0,74	0,45	1920	864	4281,6	140869,44
	2	0,59	0,44	1920	844,8		
	3	0,97	0,49	1920	940,8		
	4	0,97	0,49	1920	940,8		
	5	0,34	0,36	1920	691,2		
I-II	1	0,49	0,19	1920	364,8	2342,4	77067,58
	2	0,59	0,23	1920	441,6		
	3	0,97	0,33	1920	633,6		
	4	0,97	0,33	1920	633,6		
	5	0,34	0,14	1920	268,8		
II-III	2	0,46	0,19	1920	364,8	1900,8	62538,45
	3	0,97	0,33	1920	633,6		
	4	0,97	0,33	1920	633,6		
	5	0,34	0,14	1920	268,8		
III.T	2	0,34	0,14	1920	268,8	1804,8	59379,94
	3	0,97	0,33	1920	633,6		
	4	0,97	0,33	1920	633,6		
	5	0,34	0,14	1920	268,8		

Portiques transversaux (2,2), (3,3), (4,4), (5,5)

Niv	file de Poteaux	\bar{K}	a	K_p cm ³	$a K_p$ cm ³	$D_j = \sum a K_p$	$\frac{12E}{h_j^2} D_j$ kg/cm
R-I	A	0,63	0,43	853,33	366,93	1766,39	58116,21
	B	0,63	0,43	853,33	366,93		
	C	0,63	0,43	853,33	366,93		
	D	0,63	0,43	853,33	366,93		
	E	0,32	0,35	853,33	298,67		
I-II	A	0,48	0,19	853,33	162,13	896	29479,40
	B	0,63	0,24	853,33	204,80		
	C	0,63	0,24	853,33	204,80		
	D	0,63	0,24	853,33	204,80		
	E	0,32	0,14	853,33	119,47		
II-T	A	0,32	0,14	853,33	119,47	853,34	28075,84
	B	0,63	0,24	853,33	204,80		
	C	0,63	0,24	853,33	204,80		
	D	0,63	0,24	853,33	204,80		
	E	0,32	0,14	853,33	119,47		

Portique transversal (1,1)

Niv	file de Poteaux	\bar{K}	a	K_p cm ³	$a K_p$ cm ³	$D_j = \sum a K_p$	$\frac{12E}{h_j^2} D_j$ kg/cm
R-I	A	0,63	0,43	853,33	366,93	1766,39	58116,21
	B	0,63	0,43	853,33	366,93		
	C	0,63	0,43	853,33	366,93		
	D	0,63	0,43	853,33	366,93		
	E	0,32	0,35	853,33	298,67		
I-II	A	0,48	0,19	853,33	162,13	896	29479,40
	B	0,63	0,24	853,33	204,80		
	C	0,63	0,24	853,33	204,80		
	D	0,63	0,24	853,33	204,80		
	E	0,32	0,14	853,33	119,47		

Rigidité D'étage "J" R_J
Dans le sens "X"

$$R_{JX} = 5 R_{JAx}$$

J	R_{JX} (kg/cm)
I	704347,2
II	385337,9
III	312692,25
IV	296899,7
V	296899,7
VI	296899,7
VII	296899,7
T	296899,7

Dans le sens "Y"

$$R_{JY} = 4 R_{Ja_y}(2,2) + R_{Ja_y}(1,1)$$

J	R_{JY} (kg/cm)
I	290581,05
II	147397
III	112303,36
IV	112303,36
V	112303,36
VI	112303,36
VII	112303,36
T	112303,36

1UU

Determination du centre de masse

Centre de masse du niveau I

$$X_G = \frac{\sum m_i}{\sum}$$

Elements	m_i (t)	X_{G_i} (m)	$m_i X_{G_i}$
Poutres long	36,185	11,5	416,13
Poutres trans	16,08	8,88	142,79
Poteaux	56,25	8188	499,5
Palier Etage	47,315	14,67	694,11
Plancher	104,95	9,06	950,85
Σ	260,78	10,40	2703,38

Centre de masse du niveau II

Elements	m_i (t)	X_{G_i} (m)	$m_i X_{G_i}$
Poutres long	30,56	9,06	276,87
Poutres trans	12,688	8,88	112,67
Escaliers	4,505	2,91	13,11
Plancher	98,87	10,27	1009,23
Σ	146,023	9,46	1412,38

Centre de masse des niveaux III - VII

Elements	m_i (t)	X_{G_i} (m)	$m_i X_{G_i}$
Poutres long	19,31	6,35	122,619
Poutres trans	10,75	6,35	64,45
Poteaux	45	6,35	285,75
Escaliers	4,505	2,91	13,109
Plancher	59,64	6,76	403,166
Σ	138,605	6,42	

Centre de masse du niveau I.

Elements	$m_i (t)$	Y_{G_i}	$m_i Y_{G_i}$
Poutres long	19,31	6,35	122,62
Poutres trans	10,15	6,35	64,45
Poteaux	45	6,35	285,75
Plancher	84,36	6,35	535,69
Σ	155,63	6,35	1008,51

$$\text{Niveau I : } Y_G = \frac{\sum m_i Y_i}{\sum m_i}$$

Elements	$m_i (t)$	$Y_{G_i} (m)$	$m_i Y_{G_i}$
Poutres long	36,1875	6,8	246,075
Poutres trans	13,541	8,87	120,109
Poteaux	56,25	6,8	382,5
Palier Etage	47,315	9,87	467,0
Plancher	104,96	6,8	713,73
Σ	258,254	7,44	1929,41

Centre de masse II . VII

Elements	$m_i (t)$	$Y_{G_i} (m)$	$m_i Y_{G_i}$
Poutres long	36,188	6,8	246,075
Poutres trans	10,15	6,8	69,02
Poteaux	56,25	6,8	382,5
Escaliers	4,505	11,75	52,93
Plancher	98,28	6,42	634,89
Σ	205,373	6,75	1395,415

centre de masse du niveau T :

Eléments	$m_i(t)$	$y_{G,i}(m)$	$m_i y_{G,i}$
Poutres long	36,1875	6,8	246,075
Poutres trans	10,15	6,8	69,02
Poteaux	56,25	6,8	382,5
Plancher	84,36	6,8	573,648
Σ	185,498	6,8	1271,243

Coordonnées du centre de torsion

Elle sont données par les relations suivantes :

$$X_{C_J} = \frac{\sum R_{JY}^{(t)} \cdot X_J^{(t)}}{R_{JY}} \quad \text{et} \quad Y_{C_J} = \frac{\sum R_{JX}^{(t)} y_J^{(t)}}{R_{JX}}$$

Tableau Recapitulatif

Niveau	I	II	III - VII	T
X_G	10,4	9,46	6,42	6,35
X_{C_J}	8,88	8,88	5,08	5,08
el	1,52	0,58	1,34	1,27
Y_G	7,44	6,75	6,75	6,75
Y_{C_J}	6,8	6,8	6,8	6,8
el	0,64	0,05	0,05	0
5% L	0,935	0,935	0,935	0,935

Coordonnées des portiques

Par rapport au centre de Torsion

Niv. I

X_{11}	X_{22}	X_{33}	X_{44}	X_{55}	Y_{AA}	Y_{BB}	Y_{CC}	Y_{DD}	Y_{EE}
8,16	2,0	-2,75	-5,35	-10,1	5,96	2,66	-0,64	-3,94	-7,24

Niv. II

X_{11}	X_{22}	X_{33}	X_{44}	X_{55}	Y_{AA}	Y_{BB}	Y_{CC}	Y_{DD}	Y_{EE}
9,54	2,94	-1,81	-4,44	-9,16	6,65	3,35	0,05	-3,25	-6,55

Niv. III - VII

X_{11}	X_{22}	X_{33}	X_{44}	X_{55}	Y_{AA}	Y_{BB}	Y_{CC}	Y_{DD}	Y_{EE}
12,58	5,98	1,23	-1,37	-6,72	6,65	3,35	0,05	-3,25	-6,55

Niv. T

X_{11}	X_{22}	X_{33}	X_{44}	X_{55}	Y_{AA}	Y_{BB}	Y_{CC}	Y_{DD}	Y_{EE}
12,65	6,05	1,3	-1,3	-6,05	6,6	3,3	0	-3,3	-6,2

la rigidité à la Torsion de l'étage j est

donnée par la formule :

$$R_{j\theta} = \sum R_j^{(t)} y(X_j)^2 + \sum R_j^{(e)} (Y_j^e)^2$$

Niv	$R_{j\theta}$ kg.cm
I	28.191.292. 10^4
II	14.434.781 10^4
III	8.961.957,4 10^4
IV-T	8.617.956,2 10^4

Etude au seisme

Determination des efforts sismiques

les charges soumises à l'action sismique sont supposées concentrées au niveau des planchers,

La charge sismique est :

$$W = G + \frac{P}{2}.$$

Niveau	W (t)	$P/2$ (t)	S (m^2)	$W + \frac{P}{2}$ (t)
T	163,934	5,974	119,48	169,908
III - VII	167,938	14,935	119,48	186,063
II	239,184	22,153	177,225	261,337
I	289,314	33,355	266,84	322,669
Rdc	92,673	35,445	177,225	128,118

$$W_{\text{Tot.}} = 1812,347^t.$$

Calcul des forces sismiques :

$$V = A \cdot D \cdot B \cdot Q \cdot W.$$

Determination des différents paramètres :

$$A = 0,15 \text{ (groupe II, zone III)}$$

$$D = 2 \sqrt{\frac{0,15}{T}} \text{ sol meuble}$$

$$B = \frac{1}{4} \text{ portique autostable.}$$

$$Q = 1 + \sum_{q=1}^6 P_q$$

$$Q_L = 1,3$$

$$Q_T = 1,1$$

Determination de la période: T

Pour cela, on a appliqué la méthode d'Holzer donnant les périodes des trois premiers modes:

On trouve :

$$\text{Long: } T_1 = 0,5657 \text{ s}$$

$$T_2 = 0,2011 \text{ s}$$

$$T_3 = 0,1285 \text{ s}$$

$$\text{Trans: } T_1 = 0,9184 \text{ s}$$

$$T_2 = 0,3277 \text{ s}$$

$$T_3 = 0,2136 \text{ s}$$

Longitudinalement, la force totale V doit-être distribuée sur toute la hauteur du bâtiment selon la formule :

$$F_K = \frac{(V - F_E) W_K h_K}{\sum w_i h_i}$$

$$\text{avec } V = A B B Q \cdot W$$

$$V = 0,15 \cdot 2 \sqrt{\frac{0,5}{0,5657}} \cdot \frac{1}{4} \cdot 1,3 \cdot 1812,347 = 166,126 \text{ t}$$

100

Determination des forces latérales

Sens Transversal :

Pour cela, on détermine le facteur de contribution Γ_i :
$$\Gamma_i = \frac{\sum_{K=1}^n w_K \phi_{Ki}}{\sum_{K=1}^n w_K \phi_{Ki}^2}$$

l'effort au niveau K pour le mode i :

$$F_{Ki} = \Gamma_i \cdot A \cdot D_i \cdot B \cdot Q \cdot \phi_{Ki}$$

Et la sollicitation résultante est :

$$F_K = \sqrt{\sum_i F_{Ki}^2}$$

soit :

Niv	1 ^{er} Mode _(E)	2 ^e Mode _(E)	3 ^e Mode _(E)	Forme quadra. _(E)
I	19,642	32,882	40,727	55,908
II	19,829	32,844	37,859	53,900
III	15,996	24,753	8,734	30,739
IV	16,196	19,681	-12,213	28,263
V	16,053	10,055	-8,119	20,609
VI	15,772	-3,569	-2,028	16,297
VII	15,368	-11,534	0,511	19,222
T	13,936	-9,068	7,845	18,384

Sens longitudinal :

la force latérale totale V doit être distribuée sur toute la hauteur du bâtiment selon :

$$V = F_t + \sum_1^n F_i \quad (3.74 \text{ RPA 81})$$

$$T < 0,7 s \Rightarrow F_t = 0$$

Et cette distribution en fonction de V

$$\text{est : } F_k = \frac{(V - F_t) w_k h_k}{\sum_1^n w_i h_i}$$

Tableau récapitulatif

Long

Trans

Niv	$W_j(t)$	$h_j(m)$	$w_j h_j$	$F_{jx}(t)$	$F_{jx}^c(t)$	$F_{jy}(t)$	$F_{jy}^c(t)$
T	169,908	31,95	5428,56	32,985	32,985	18,384	18,384
VII	186,063	27,95	5200,46	31,599	64,584	19,222	37,606
VI	186,063	23,95	4456,21	27,077	91,661	16,297	53,903
V	186,063	19,95	3711,96	22,555	114,216	20,609	74,512
IV	186,063	15,95	2967,70	18,032	132,248	28,263	102,735
III	186,063	11,95	2223,45	13,510	145,758	30,739	133,514
II	261,337	7,95	2077,63	12,624	158,382	53,900	187,414
I	312,619	3,95	1274,54	7,744	166,126	55,908	243,322

Efforts tranchants de niveau j
revenant à chaque portique
Longitudinal

Niv	Port.	$T_{jx} (t)$	$R_{jx}^{(t)} (kg/cm)$	$R_{jx} (kg/cm)$	$y_j^{(t)} (cm)$	$R_{j0} kg/cm$	$Y_G (cm)$	$\bar{T}_{jx}^{(t)} (t)$
I	AA	32,985	59379,94	296899,7	660			7,982
	BB				330			7,290
	CC				0	8724155,3	93,5	6,597
	DD				-330	10^4		6,597
	EE				-660			6,597
II	AA	64,584	59379,94	296899,7	665			15,650
	BB				335			14,294
	CC				5	8724155,3	93,5	12,937
	DD				-325	10^4		12,917
	EE				-655			12,917
VI	AA	91,661	59379,94	296899,7	665			22,211
	BB				335			20,286
	CC				5	8724155,3	93,5	18,361
	DD				-325	10^4		18,332
	EE				-655			18,332
V	AA	114,216	59379,94	296899,7	665			27,677
	BB				335			25,278
	CC				5	8724155,3	93,5	22,879
	DD				-325	10^4		22,843
	EE				-655			22,843
IV	AA	132,248	59379,94	296899,7	665			32,046
	BB				335			29,269
	CC				5	8724155,3	93,5	26,492
	DD				-325	10^4		26,450
	EE				-655			26,450
III	AA	145,758	62538,45	312699,25	665			35,400
	BB				335			32,300
	CC				5			29,198
	DD				-325			29,152
	EE				-655			29,152
II	AA	158,382	77067,58	385337,9	665			36,920
	BB				335			34,318
	CC				5	14474781	93,5	31,716
	DD				-325	10^4		31,716
	EE				-655			31,716
I	AA	166,126	140869,44	704347,2	596			37,185
	BB				266			35,280
	CC				-64			33,225
	DD				-394			33,225
	EE				-724	10^4		33,225

Transversal

Niv	Port.	$\tau_{jy}^{(t)}$	$R_{jy}^{(t)} \text{ (kg/cm)}$	$R_{Jy} \text{ (kg/cm)}$	$x_j^{(t)} \text{ cm}$	$D_{J\theta} \text{ (kg/cm)}$	$X_C \text{ (cm)}$	$T_{jy}^{(t)} \text{ (t)}$
T	55	18,384	28075,84	112303,36	-605	8617956,2	127	4,596
	44				-130			4,596
	33				130			4,695
	22				605			5,056
VII	55	37,606	28075,84	112303,36	-612	8617956,2	134	9,402
	44				-137			9,402
	33				123			9,603
	22				598			10,383
VI	55	53,903	28075,84	112303,36	-612	8617956,2	134	13,476
	44				-137			13,476
	33				123			13,765
	22				-598			14,883
V	55	74,512	28075,84	112303,36	-612	8617956,2	134	18,628
	44				-137			18,628
	33				123			19,028
	22				598			20,573
IV	55	102,775	28075,84	112303,36	-612	8617956,2	134	25,694
	44				-137			25,694
	33				123			26,246
	22				598			28,377
III	55	133,514	28075,84	112303,36	-612	8961957,4	134	33,379
	44				-137			33,379
	33				123			34,068
	22				598			36,730
II	55	187,414	29479,4	147397	-916	14474781	93,5	37,483
	44				-441			37,483
	33				-181			37,483
	22				294			38,532
	11				93'4			40,887
I	55	243,322	58116,21	290581,05	-101	28191292	152	48,684
	44				-535			48,684
	33				-275			48,684
	22				200			50,199
	11				860			55,221

Calcul des déplacements de niveau "j"

Le déplacement de niveau est donné par :

$$\Delta_j = \frac{T_j}{R_j}$$

Et la flèche de niveau "j" sera alors : $s_j = \sum_i^n \Delta_j$

Sens longitudinal : port. AA

Niv	$R_{jx_{t_{km}}}$	T_{jx_t}	Δ_{jx}^i (cm)	$\delta_{jx} = \sum \Delta_{jx}$ (cm)
I	140,87	37,85	0,27	0,27
II	77,08	36,92	0,48	0,75
III	22,54	35,40	0,57	1,31
IV	59,38	32,05	0,54	1,85
V	59,38	27,68	0,47	2,32
VI	59,38	22,21	0,37	2,69
VII	59,38	15,65	0,26	2,96
T	59,38	7,98	0,13	3,09

Sens transversal : Port. BB

Niv	$R_{jy_{t_{km}}}$	T_{jy_t}	Δ_{jy}^i (cm)	$\delta_{jy} = \sum \Delta_{jy}$ (cm)
I	58,12	50,19	0,86	0,86
II	23,48	38,53	1,31	2,17
III	28,08	36,73	1,31	3,48
IV	28,08	28,38	1,01	4,49
V	28,08	20,57	0,73	5,22
VI	28,08	14,88	0,53	5,75
VII	28,08	10,38	0,37	6,12
T	28,08	5,06	0,18	6,30

Vérification des déplacements relatifs de niveau :

$$\frac{1}{2B} \cdot \Delta_j \leq 0,0075 h_j$$

$$h = 400 \text{ cm} \quad B = \frac{1}{4}$$

Niv	Δ_{jx} (cm)	$\frac{1}{2B} \Delta_{jx}$ (cm)	Δ_y (cm)	$\frac{1}{2B} \Delta_{jy}$ (cm)	$0,0075 h_j$ (cm)
T	0,13	0,27	0,18	0,36	3,0
VI	0,26	0,53	0,37	0,74	3,0
V	0,37	0,75	0,53	1,06	3,0
IV	0,47	0,93	0,73	1,47	3,0
III	0,54	1,08	1,01	2,02	3,0
II	0,57	1,13	1,30	2,62	3,0
II	0,48	0,96	1,30	2,61	3,0
I	0,27	0,54	0,18	0,36	3,0

Calcul des efforts tranchants
revenant à chaque poteau

Longitudinal

Transversal

Niv	f_{tcc} de Poteau	$\frac{aK_p}{\Sigma aK_p}$	$T_{jx}^{(b)}$	$t_{jx}^{(b)}$
T	2	0,1489	7,982	1,188
	3	0,3511	7,982	2,802
	4	0,3511	7,982	2,802
	5	0,1489	7,982	1,188
VI	2	0,1489	15,650	2,330
	3	0,3511	15,650	5,495
	4	0,3511	15,650	5,495
	5	0,1489	15,650	2,330
VI	2	0,1489	22,211	3,307
	3	0,3511	22,211	7,798
	4	0,3511	22,211	7,798
	5	0,1489	22,211	3,307
IV	2	0,1489	27,677	4,121
	3	0,3511	27,677	9,717
	4	0,3511	27,677	9,717
	5	0,1489	27,677	4,121
IV	2	0,1489	32,046	4,772
	3	0,3511	32,046	11,251
	4	0,3511	32,046	11,251
	5	0,1489	32,046	4,772
III	2	0,1919	35,400	6,793
	3	0,3333	35,400	11,800
	4	0,3333	35,400	11,800
	5	0,1414	35,400	5,006
II	1	0,1557	36,920	5,749
	2	0,1895	36,920	6,959
	3	0,2705	36,920	9,987
	4	0,2705	36,920	9,987
	5	0,1147	36,920	4,235
I	1	0,2018	37,851	7,638
	2	0,1973	37,851	7,468
	3	0,2197	37,851	8,316
	4	0,2197	37,851	8,316
	5	0,1614	37,851	6,109

Niv	f_{tcc} de Poteau	$\frac{aK_p}{\Sigma aK_p}$	$T_{jy}^{(b)}$	$t_{jy}^{(b)}$
T	A	0,1400	5,056	0,7078
	B	0,2400	5,056	1,213
	C	0,2400	5,056	1,213
	D	0,2400	5,056	1,213
VII	E	0,1400	5,056	0,7078
	A	0,1400	10,393	1,454
	B	0,2400	10,393	2,492
	C	0,2400	10,393	2,492
VI	D	0,2400	10,393	2,492
	E	0,1400	10,393	1,454
	A	0,1400	14,883	2,084
	B	0,2400	14,883	3,572
VII	C	0,2400	14,883	3,572
	D	0,2400	14,883	3,572
	E	0,1400	14,883	2,084
	A	0,1400	20,573	2,880
V	B	0,2400	20,573	4,937
	C	0,2400	20,573	4,937
	D	0,2400	20,573	4,937
	E	0,1400	20,573	2,880
IV	A	0,1400	28,377	3,267
	B	0,2400	28,377	6,801
	C	0,2400	28,377	6,801
	D	0,2400	28,377	6,801
V	E	0,1400	28,377	3,267
	A	0,1400	36,730	5,142
	B	0,2400	36,730	8,815
	C	0,2400	36,730	8,815
III	D	0,2400	36,730	8,815
	E	0,1400	36,730	5,142
	A	-0,1809	38,532	6,970
	B	0,2286	38,532	8,708
II	C	0,2286	38,532	8,708
	D	0,2286	38,532	8,708
	E	0,1333	38,532	5,134
	A	0,2077	50,189	10,424
I	B	0,2077	50,189	10,424
	C	0,2077	50,189	10,424
	D	0,2077	50,189	10,424
	E	0,1691	50,189	8,487

Moments flechissants dans les poteaux

Portique Transversal (2-2)

Niv	file Poteau	$\gamma_1 y$	y_0	y_1	y_2	y_3	y_f	h (m)	$z = y_h$	M_{inf} (t.m)	$(h-z)$ (m)	M_{sup} (t.m)
I	A	0,708	0,15	0	0	0	0,15	4,0	0,6	0,1425	3,4	2,408
	B	1,213	0,30	0	0	0	0,30	4,0	1,2	1,1456	2,8	3,397
	C	1,213	0,30	0	0	0	0,30	4,0	1,2	1,1456	2,8	3,397
	D	1,213	0,30	0	0	0	0,30	4,0	1,2	1,1456	2,8	3,397
	E	0,708	0,15	0	0	0	0,15	4,0	0,6	0,1425	3,4	2,408
II	A	1,454	0,30	0	0	0	0,30	4,0	1,2	1,745	2,8	4,072
	B	2,492	0,40	0	0	0	0,40	4,0	1,6	3,987	2,4	5,981
	C	2,492	0,40	0	0	0	0,40	4,0	1,6	3,987	2,4	5,981
	D	2,492	0,40	0	0	0	0,40	4,0	1,6	3,987	2,4	5,981
	E	1,454	0,30	0	0	0	0,30	4,0	1,2	1,745	2,8	4,072
III	A	2,084	-0,35	0	0	0	0,35	4,0	1,4	2,918	2,6	5,419
	B	3,572	0,45	0	0	0	0,45	4,0	1,8	6,430	2,2	7,859
	C	3,572	0,45	0	0	0	0,45	4,0	1,8	6,430	2,2	7,859
	D	3,572	0,45	0	0	0	0,45	4,0	1,8	6,430	2,2	7,859
	E	2,084	0,35	0	0	0	0,35	4,0	1,4	2,918	2,6	5,419
IV	A	2,880	0,40	0	0	0	0,40	4,0	1,6	4,608	2,4	6,912
	B	4,937	-0,45	0	0	0	0,45	4,0	1,8	8,887	2,2	10,862
	C	4,937	0,45	0	0	0	0,45	4,0	1,8	8,887	2,2	10,862
	D	4,937	0,45	0	0	0	0,45	4,0	1,8	8,887	2,2	10,862
	E	2,880	0,40	0	0	0	0,40	4,0	1,6	4,608	2,4	6,912
V	A	3,267	0,45	0	0	0	0,45	4,0	1,8	5,881	2,2	7,188
	B	6,801	0,45	0	0	0	0,45	4,0	1,8	12,242	2,2	14,912
	C	6,801	0,45	0	0	0	0,45	4,0	1,8	12,242	2,2	14,912
	D	6,801	0,45	0	0	0	0,45	4,0	1,8	12,242	2,2	14,912
	E	3,267	0,45	0	0	0	0,45	4,0	1,8	5,881	2,2	7,188
VI	A	5,142	0,50	0	0	0	0,50	4,0	2,0	10,284	2,0	10,284
	B	8,815	0,50	0	0	0	0,50	4,0	2,0	17,63	2,0	17,63
	C	8,815	0,50	0	0	0	0,50	4,0	2,0	17,63	2,0	17,63
	D	8,815	0,50	0	0	0	0,50	4,0	2,0	17,63	2,0	17,63
	E	5,142	0,50	0	0	0	0,50	4,0	2,0	10,284	2,0	10,284
VII	A	6,970	0,55	0,15	0	0	0,70	4,0	2,8	19,516	1,2	8,364
	B	8,808	0,55	0	0	0	0,55	4,0	2,2	19,378	1,8	15,855
	C	8,808	0,55	0	0	0	0,55	4,0	2,2	19,378	1,8	15,855
	D	8,808	0,55	0	0	0	0,55	4,0	2,2	19,378	1,8	15,855
	E	5,136	0,60	0	0	0	0,60	4,0	2,4	12,326	1,4	7,150
I	A	10,424	0,70	0	0	0	0,70	4,0	2,7	29,187	1,2	12,509
	B	10,424	0,70	0	0	0	0,70	4,0	2,8	29,187	1,2	12,509
	C	10,424	0,70	0	0	0	0,70	4,0	2,9	29,187	1,2	12,509
	D	10,424	0,70	-	0	0	0,70	4,0	2,8	29,187	1,2	12,509
	E	10,424	0,90	0	0	0	0,90	4,0	3,6	37,526	0,4	4,169

Portique Longitudinal A-A

Niv	file Patrón	t_{jx}	γ_0	γ_1	γ_2	γ_3	γ	h (m)	$z = \gamma h$	M_{inf} Nm	$(h-3)$ (m)	M_{sup} Nm
T	2	1,188	0,15	0	0	0	0,15	4,0	0,6	0,713	3,4	4,039
	3	2,802	0,35	0	0	0	0,35	4,0	1,4	3,923	2,6	7,285
	4	2,802	0,35	0	0	0	0,35	4,0	1,4	3,923	2,6	7,285
	5	1,199	0,15	0	0	0	0,15	4,0	0,6	0,713	3,4	4,039
VII	2	2,330	0,30	0	0	0	0,30	4,0	1,2	2,796	2,8	6,524
	3	5,495	0,45	0	0	0	0,45	4,0	1,8	9,891	2,2	12,089
	4	5,495	0,45	0	0	0	0,45	4,0	1,8	9,891	2,2	12,089
	5	2,330	0,30	0	0	0	0,30	4,0	1,2	2,796	2,8	6,524
VI	2	3,307	0,35	0	0	0	0,35	4,0	1,4	4,630	2,6	8,598
	3	7,798	0,45	0	0	0	-0,45	4,0	1,8	14,036	2,2	17,156
	4	7,798	0,45	0	0	0	0,45	4,0	1,8	14,036	2,2	17,156
	5	3,307	0,35	0	0	0	0,35	4,0	1,4	4,630	2,6	8,598
V	2	4,121	0,40	0	0	0	0,40	4,0	1,6	6,594	2,4	9,890
	3	9,717	0,45	0	0	0	0,45	4,0	1,8	17,491	2,2	21,377
	4	9,717	0,45	0	0	0	0,45	4,0	1,8	17,491	2,2	21,377
	5	4,121	0,40	0	0	0	0,40	4,0	1,6	6,594	2,4	9,890
IV	2	4,772	0,45	0	0	0	0,45	4,0	1,8	8,590	2,6	10,498
	3	11,251	0,50	0	0	0	0,50	4,0	2,0	22,502	2,0	22,502
	4	11,251	0,50	0	0	0	0,50	4,0	2,0	22,502	2,0	22,502
	5	4,772	0,45	0	0	0	0,45	4,0	1,8	8,590	2,6	10,498
III	2	6,793	0,50	0,1	0	0	0,60	4,0	2,4	16,303	1,6	10,969
	3	11,800	0,50	0	0	0	0,50	4,0	2,0	23,6	2,0	23,600
	4	11,800	0,50	0	0	0	0,50	4,0	2,0	23,6	2,0	23,600
	5	5,006	0,50	0	0	0	0,50	4,0	2,0	16,303	2,0	10,969
II	1	5,749	0,55	0,2	0	0	0,75	4,0	3,0	17,244	1,0	5,748
	2	6,959	0,55	0	0	0	0,55	4,0	2,2	15,310	1,8	12,526
	3	9,997	0,50	0	0	0	0,50	4,0	2,0	19,974	2,0	19,974
	4	9,997	0,50	0	0	0	0,50	4,0	2,0	19,974	2,0	19,974
	5	4,235	0,60	0	0	0	0,60	4,0	2,4	10,164	1,6	6,776
I	1	7,639	0,70	0	0	0	0,70	4,0	2,9	21,396	1,2	9,166
	2	7,1468	0,70	0	0	0	0,70	4,0	2,9	20,910	1,2	8,962
	3	8,316	0,65	0	0	0	0,65	4,0	2,6	21,622	1,4	11,642
	4	8,316	0,65	0	0	0	0,65	4,0	2,6	21,622	1,4	11,642
	5	6,109	0,90	0	0	0	0,90	4,0	3,6	21,992	0,4	2,444

Moments dans les poutres

Portique Transversal

Niv	Noeud	M_{sup} t.m	M_{inf} t.m	K_1	K_2	$M_s + M_i$	$\frac{K_1}{K_1+K_2}$	M_1	$\frac{K_2}{K_1+K_2}$	M_2
T	1	0	2,408		270,67	2,408			1	2,408
	2	0	3,397	270,67	270,67	3,397	0,5	1,699	0,5	1,699
VII	3	-0,425	4,072		270,67	4,497			1	4,497
	4	1,456	5,981	270,67	270,67	7,437	0,5	3,719	0,5	3,719
VI	5	1,745	5,419		270,67	7,164			1	7,164
	6	3,987	7,859	270,67	270,67	11,846	0,5	5,923	0,5	5,923
V	7	2,918	6,912		270,67	9,830			1	9,830
	8	6,430	10,862	270,67	270,67	17,292	0,5	8,646	0,5	8,646
IV	9	4,608	7,188		270,67	11,736			1	11,796
	10	8,887	14,962	270,67	270,67	23,849	0,5	11,825	0,5	11,825
III	11	5,881	10,284		270,67	16,165			1	16,165
	12	12,242	17,163	270,67	270,67	29,872	0,5	14,936	0,5	14,936
II	13	10,284	8,364		270,67	18,648			1	18,648
	14	17,630	15,855	270,67	270,67	33,485	0,5	16,743	0,5	16,743
	15	10,284	8,364	270,67		18,648			1	18,648
I	16	19,516	12,509	270,67	270,67	32,025	0,5	16,013	0,5	16,013
	17	19,378	12,509	270,67	270,67	31,887	0,5	16,013	0,5	16,013
	18	12,326	4,169	270,67		16,495	1	16,495	1	

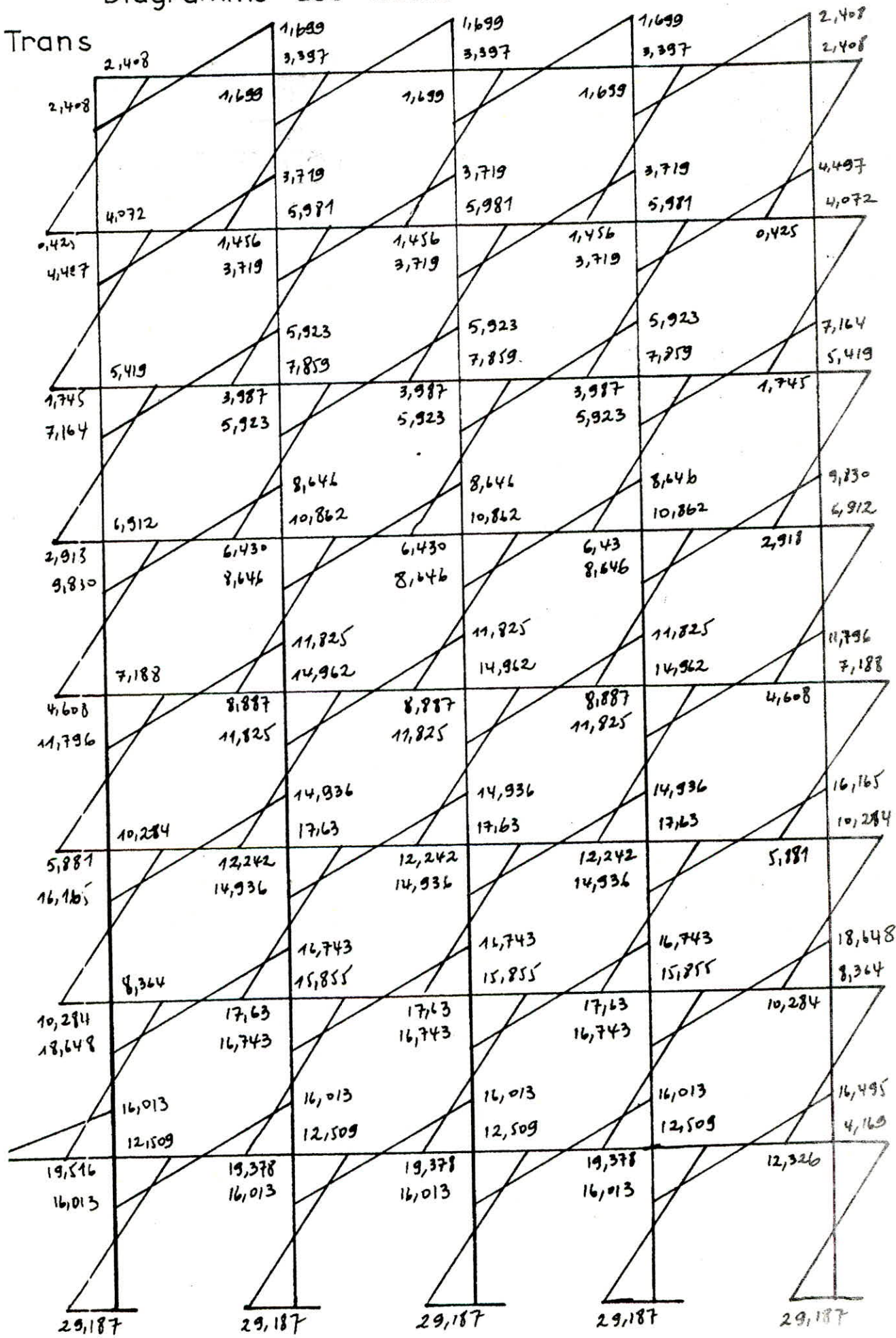
Portique Longitudinal

Niv	Noeud	M_{sup} t.m	M_{inf} t.m	K_1	K_2	$M_s + M_i$	$\frac{K_1}{K_1 + K_2}$	M_1 t.m	$\frac{K_2}{K_1 + K_2}$	M_2 t.m
T	1	0	4,039		657,89	4,039			1	4,039
	2	0	7,285	657,89	1201,92	7,285	0,354	2,1577	0,646	4,708
VII	3	0,713	6,1524		657,89	7,237			1	7,237
	4	3,923	12,089	657,89	1201,92	16,012	0,354	5,664	0,646	10,348
VI	5	2,796	8,1598		657,89	11,394			1	11,394
	6	9,891	17,156	657,89	1201,92	27,047	0,354	9,568	0,646	17,479
V	7	4,630	9,890		657,89	14,52			1	14,520
	8	14,036	21,377	657,89	1201,92	35,413	0,354	12,1527	0,646	22,896
IV	9	6,594	10,498		657,89	17,092			1	17,092
	10	17,491	22,502	657,89	1201,92	39,993	0,354	14,147	0,646	25,846
III	11	8,590	10,869		657,89	19,459			1	19,459
	12	22,502	23,16	657,89	1201,92	46,102	0,354	16,320	0,646	29,782
II	13	0	5,748		473,5	5,748			1	5,748
	14	16,303	12,1526	473,5	657,89	28,828	0,419	12,079	0,581	16,750
	15	23,6	19,974	657,89	1201,92	43,574	0,354	15,425	0,246	28,149
	16	23,6	19,974	1201,92	657,89	43,574	0,646	28,149	0,354	15,425
	17	16,303	6,776	657,89		23,079	1	23,079		
I	18	17,244	9,166	946,87	473,5	26,41	0,667	17,615	0,333	8,795
	19	15,31	8,962	473,5	657,89	24,272	0,419	10,170	0,581	14,102
	20	19,974	11,642	657,89	1201,92	31,616	0,354	11,192	0,646	20,424
	21	19,974	11,642	1201,92	657,89	31,616	0,646	20,424	0,354	11,192
	22	10,164	2,444	657,89		12,608	1	12,608		

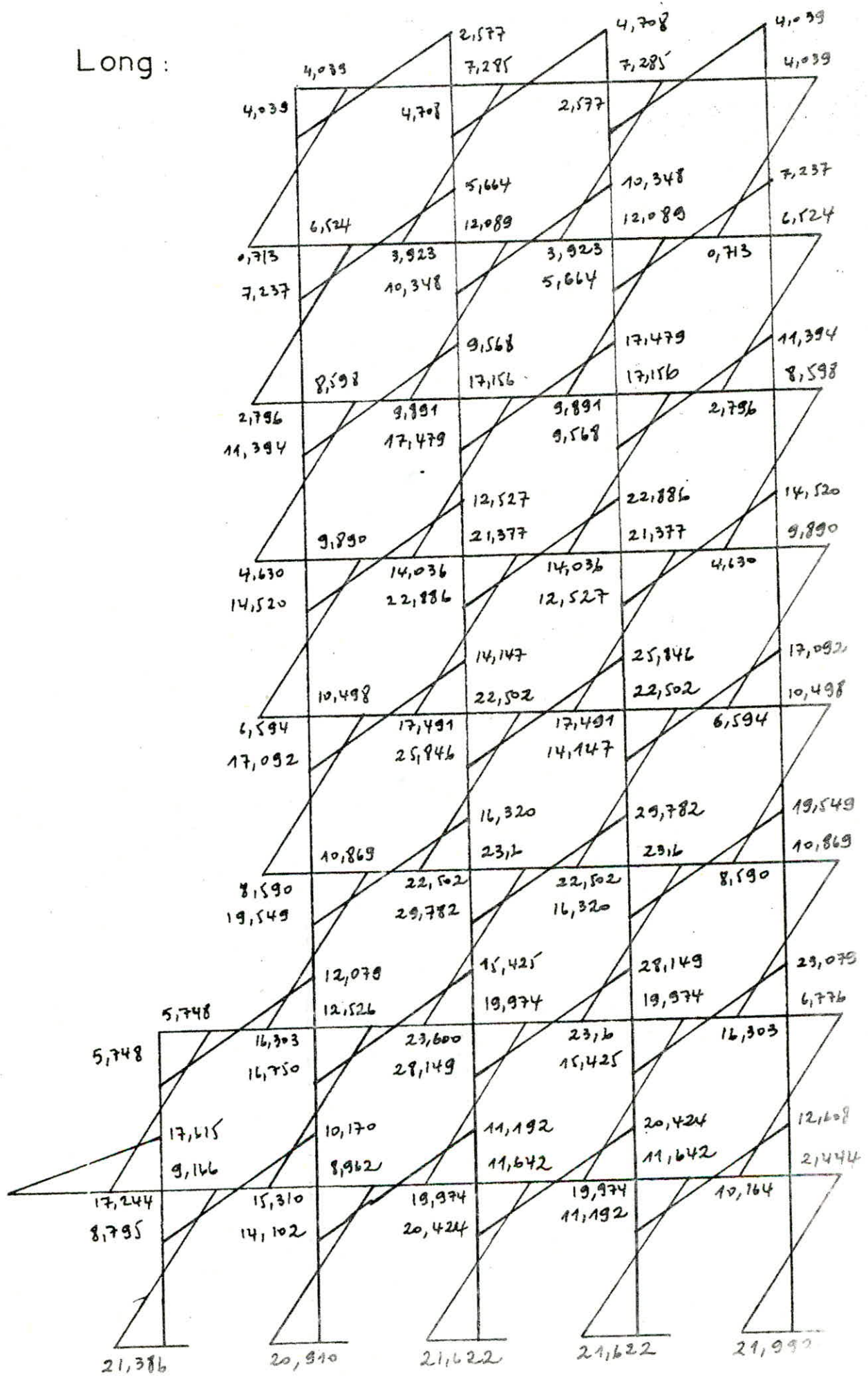
Diagramme des moments sous

SIIH

Trans



Long :



Efforts tranchants dans les poutres

Portique Transversal

Niv	Travée	ℓ (m)	M_e (Nm)	M_w (Nm)	T_{SH}^{\rightarrow} (t)	T_{SH}^{\leftarrow} (t)
T	1 - 2	3,30	2,408	1,699	-1,245	1,245
	2 - 2'	3,30	1,699	1,699	-1,030	1,030
	2'' - 1'	3,30	1,699	2,408	-1,245	1,245
VII	3 - 4	3,30	4,497	3,719	-2,490	2,490
	4 - 4'	3,30	3,719	3,719	-2,254	2,254
	4'' - 3'	3,30	3,719.	4,497	-2,490	2,490
VI	5 - 6	3,30	7,164	5,923	-3,966	3,966
	6 - 6'	3,30	5,923	5,923	-3,590	3,590
	6'' - 5'	3,30	5,923	7,164	-3,966	3,966
V	7 - 8	3,30	9,83	8,646	-5,599	5,599
	8 - 8'	3,30	8,646	8,646	-5,240	5,240
	8'' - 7'	3,30	8,646	9,830	-5,599	5,599
IV	9 - 10	3,30	11,796	11,825	-7,158	7,158
	10 - 10'	3,30	11,825	11,825	-7,167	7,167
	10'' - 9'	3,30	11,825	11,796	-7,158	7,158
III	11 - 12	3,30	16,165	14,936	-9,425	9,425
	12 - 12'	3,30	14,936	14,936	-9,052	9,052
	12'' - 11'	3,30	14,936	16,165	-9,425	9,425
II	13 - 14	3,30	18,648	16,743	-10,725	10,725
	14 - 14'	3,30	16,743	16,743	-10,147	10,147
	14'' - 15	3,30	16,743	18,648	-11,302	11,302
I	- 16	3,30		16,013	-4,852	4,852
	16 - 17	3,30	16,013	16,013	-9,705	9,705
	17'' - 18	3,30	16,013	16,495	-9,851	9,851

Portique Longitudinal

Niv	Travéé	ℓ (m)	M_e (t.m)	M_w (t.m)	T_{SIH}^{\rightarrow} (t)	T_{SIH}^{\leftarrow} (t)
T	1 - 2	4,75	4,039	2,577	-1,393	1,393
	2 - 2'	2,60	4,708	4,708	-3,622	3,622
	2' - 1'	4,75	2,577	4,039	-1,393	1,393
VII	3 - 4	4,75	7,237	5,644	-2,712	2,712
	4 - 4'	2,60	10,348	10,348	-7,960	7,960
	4' - 3	4,75	5,664	7,237	-2,716	2,716
VI	5 - 6	4,75	11,394	9,568	-4,413	4,413
	6 - 6'	2,60	17,479	17,479	-13,445	13,445
	6' - 5'	4,75	9,568	11,394	-4,413	4,413
V	7 - 8	4,75	14,520	12,527	-5,694	5,694
	8 - 8'	2,60	22,886	22,886	-17,605	17,605
	8' - 7'	4,75	12,527	14,520	-5,694	5,694
IV	9 - 10	4,75	17,092	14,147	-6,577	6,577
	10 - 10'	2,60	25,846	25,846	-19,882	19,882
	10' - 9'	4,75	14,147	17,092	-6,577	6,577
III	11 - 12	4,75	19,549	16,320	-7,551	7,551
	12 - 12'	2,60	29,782	29,782	-22,909	22,909
	12' - 11'	4,75	16,320	19,549	-7,551	7,551
II	13 - 14	6,60	5,748	12,079	-2,701	2,701
	14 - 15	4,75	16,750	15,425	-6,774	6,774
	15 - 16	2,60	28,149	28,149	-21,653	21,653
	16 - 17	4,75	15,425	23,079	-8,106	8,106
I	- 18	3,30		17,615	-5,338	5,338
	18 - 19	6,60	8,795	10,170	-2,873	2,873
	19 - 20	4,75	14,102	11,192	-5,325	5,325
	20 - 21	2,60	20,424	20,424	-15,711	15,711
	21 - 22	4,75	11,192	12,608	-5,011	5,011

Efforts normaux dans les poteaux

Portique Longitudinal

Niv	Poteaux	$N_{S1H}^{\rightarrow} (t)$	$N_{S1H}^{\leftarrow} (t)$
I	1-3	-1,393	1,393
	2-4	-2,229	2,229
II	3-5	-2,712	2,712
	4-6	-5,248	5,248
III	5-7	-4,413	4,413
	6-8	-9,032	9,032
IV	7-9	-5,694	5,694
	8-10	11,911	-11,911
V	9-11	-6,577	6,577
	10-12	-13,325	13,325
VI	11-14	-7,551	7,551
	12-15	-15,354	15,354
	12'-16	15,359	-15,358
	11-17	-7,551	7,551
VII	13-18	-2,701	2,701
	14-19	-4,073	4,073
	15-20	-14,879	14,879
	16-21	13,547	-13,547
	17-22	-8,106	8,106
I	18-23	8,465	-2,465
	19-24	-2,452	2,452
	20-25	10,386	-10,386
	21-26	10,7	-10,7
	22-27	-5,011	5,011

Portique Transversal

Niv	Poteaux	$N_{S1H}^{\rightarrow} (t)$	$N_{S1H}^{\leftarrow} (t)$
I	1-3	-1,245	1,245
	2-4	0,215	-0,215
II	2'-4'	0	0
	3-5	-2,49	2,49
III	4-6	0,236	-0,236
	4'-6'	0	0
IV	5-7	-3,966	3,966
	6-8	0,376	-0,376
V	6'-8'	0	0
	7-9	-5,599	5,599
VI	8-10	0,359	-0,359
	8'-10'	0	0
VII	9-11	-7,158	7,158
	10-12	$-9 \cdot 10^{-3}$	$9 \cdot 10^{-3}$
III	10'-12'	0	0
	11-13	-9,425	9,425
	12-14	0,373	-0,373
	12'-14'	0	0
	11'-15'	-9,425	9,425
II	13-16	-10,725	10,725
	14-17	0,578	-0,578
	14'-17'	0	0
	14"-17"	-1,155	1,155
	15-18	-11,302	11,302
I	16-19	-4,853	4,853
	17-20	0	0
	17'-21	0	0
	17"-22	-0,146	0,146
	18-23	-9,851	9,851

Superposition des sollicitations

Moments fléchissants dans les poutres sous SP1

Portique Transversal

Niv	Travé	M_E (t.m)	M_W^a (t.m)	M_E^a (t.m)
T	1-2	0,657	0,478	0,357
	2-2'	0,600	0,478	0,478
VII	3-4	0,718	0,491	0,421
	4-4'	0,689	0,491	0,491
VI	5-6	0,717	0,491	0,425
	6-6'	0,689	0,491	0,491
V	7-8	0,717	0,491	0,425
	8-8'	0,689	0,491	0,491
IV	9-10	0,717	0,491	0,425
	10-11'	0,689	0,491	0,491
III	11-12	0,717	0,491	0,425
	12-12'	0,689	0,491	0,491
II	13-14	0,717	0,491	0,425
	14-14'	0,689	0,491	0,491
	-16		12,891	
	16-17	0,358	1,523	1,523
	17-17'	0,727	0,491	0,401
	17-17''	0,689	0,491	0,491
	17-18	0,717	0,480	0,491

Portique Longitudinal

Niv	Travé	M_E (t.m)	M_W^a (t.m)	M_E^a (t.m)
T	1-2	5,971	3,458	2,888
	2-2'	0,812	2,703	2,703
VII	3-4	6,1540	3,742	3,433
	4-4'	1,458	1,800	1,800
VI	5-6	6,524	3,756	3,466
	6-6'	1,478	1,771	1,771
V	7-8	6,524	3,756	3,466
	8-8'	1,478	1,771	1,771
IV	9-10	6,524	3,756	3,466
	10-10'	1,478	1,771	1,771
III	11-12	6,524	3,756	3,466
	12-12'	1,478	1,771	1,771
II	13-14	12,176	8,204	6,952
	14-15	6,060	3,756	4,811
I	15-16	1,481	1,770	1,770
	16-17	6,524	3,466	3,756
I	-18		11,881	
	18-19	11,177	7,465	10,638
	19-20	6,087	3,756	4,691
	20-21	1,481	1,770	1,770
	21-22	6,524	3,466	3,756

Moments fléchissants et efforts tranchants
dans les poutres sous SP2

Transversal

Longitudinal

NIV	Travé	M_c^a max t.m	M_t^a max t.m	M_w^a max t.m	$T_{x=0}^a$ t	$T_{x=\ell}^a$ t	Travé	M_c^a max t.m	M_t^a max t.m	M_w^a max t.m	$T_{x=0}^a$ t	$T_{x=\ell}^a$ t
T	1-2	-2,758	0,994	-2,169	2,14	-2,51	1-2	-6,866	6,516	-5,913	8,07	-8,94
	2-2'	-2,169	0,582	-2,169	2,19	-2,23	2-2'	-6,737	0,757	-6,737	7,47	-7,47
	2"-1'	-2,169	0,994	-2,758	2,14	-2,51	2"-1'	-5,976	6,516	-6,766	8,07	-8,94
VII	3-4	-4,893	1,063	-4,189	3,38	-3,75	3-4	-10,493	6,961	-9,213	8,59	-9,42
	4-4'	-2,189	0,644	-4,189	3,4	-3,44	4-4'	-12,055	1,319	-12,055	10,99	-10,99
	4"-3'	-4,189	1,063	-4,893	3,38	-3,75	4"-3'	-9,213	6,961	-10,493	8,59	-9,42
VI	5-6	-7,57	1,293	-6,393	4,86	-5,23	5-6	-14,68	6,971	-13,13	10,30	-11,11
	6-6'	-6,393	0,644	-6,393	4,73	-4,73	6-6'	-19,159	1,339	-19,159	16,48	-16,48
	6"-5'	-6,393	1,293	-7,57	4,86	-5,23	6"-5'	-13,13	6,971	-14,68	10,30	-11,11
V	7-8	-12,236	1,264	-9,116	6,491	-6,862	7-8	-17,8	7,055	-16,089	11,58	-12,39
	8-8'	-9,116	0,644	-9,116	6,393	-6,383	8-8'	-24,56	1,339	-24,56	8,73	-8,73
	8"-7'	-9,116	1,264	-10,236	6,491	-6,862	8"-7'	-16,08	7,055	-17,8	11,58	-12,39
IV	9-10	-12,202	0,687	-12,295	8,050	-8,421	9-10	-20,38	7,531	-17,7	12,46	-13,27
	10-10'	-12,295	0,644	-12,295	8,31	-8,31	10-10'	-27,526	1,339	-27,526	22,91	-22,91
	10"-9'	-12,295	0,687	-12,202	8,050	-8,421	10"-9'	-17,7	7,531	-20,38	12,46	-13,27
III	11-12	-16,571	1,287	-15,406	10,317	-10,698	11-12	-22,18	7,673	-19,8	13,44	-14,25
	12-12'	-15,424	0,644	-15,424	10,195	-10,195	12-12'	-31,46	1,33	-31,46	25,94	-25,94
	12"-11'	-15,406	1,287	-16,571	10,317	-10,698	12"-11'	-19,88	7,67	-22,18	13,44	-14,25
II	13-14	-19,054	1,625	-17,213	11,617	-11,988	13-14	-12,341	14,443	-18,186	11,04	-12,56
	14-14'	-17,213	0,644	-17,213	11,29	-11,29	14-15	-21,31	6,527	-18,187	14,54	-11,60
	14"-14"	-3,213	0,644	-17,213	11,29	-11,29	15-16	-29,8	1,34	-29,8	24,69	-24,69
I	14"-15	-13,213	1,625	-19,054	11,617	-11,988	16-17	-18,987	9,885	-26,366	14,80	-13,99
	-16	0	-28,077	0	-13,16	-18	0	-28,753	0	-19,15	-18,08	
	16-17	-17,975	0,19	-16,175	15,43	-13,47	18-19	-18,18	10,96	-17,258	13,08	-10,86
I'	17-17'	-16,396	0,697	-16,483	10,52	-10,85	19-20	-18,155	7,087	-14,75	12,92	-10,31
	17"-17"	-16,483	0,644	-16,483	10,57	-10,80	20-21	-22,1	1,34	-22,1	18,74	-18,74
	17"-18	-16,483	0,913	-16,9	10,88	-10,85	21-22	-13,98	8,050	-14,698	11,71	-10,9

Moments dans les poteaux sous SP1
 Portique Transversal Portique Longitudinal

Niv	Poteaux	M_{sup} t.m	M_{inf} t.m
T	1-3	0,357	-0,216
	2-4	0	0
VII	3-5	0,205	-0,212
	4-6	0	0
VI	5-7	0,212	-0,212
	6-8	0	0
V	7-9	0,212	-0,212
	8-10	0	0
IV	9-11	0,212	-0,212
	10-12	0	0
III	11-13	0,212	-0,212
	12-14	0	0
II	13-16	0,212	-4,931
	14-17	0	-0,285
	14'-17'	0	0
	14"-17"	0	0
	15-18	0,212	-0,212
I	16-19	4,931	0
	17-20	0,285	0
	17'-21	0	0
	17"-22	0	0
	18-23	0,212	0

Niv	Poteaux	M_{sup} t.m	M_{inf} t.m
T	1-3	2,888	1,615
	2-4	1,400	-0,914
VII	3-5	1,818	-1,732
	4-6	1,028	-0,992
VI	5-7	1,732	-1,732
	6-8	0,992	-0,992
V	7-9	1,732	-1,732
	8-10	0,992	-0,992
IV	9-11	1,732	-1,732
	10-12	0,992	-0,992
III	11-14	1,732	-1,698
	12-15	0,992	-0,992
II	13-18	6,952	-0,621
	14-19	1,698	-1,387
	15-20	0,992	-0,992
	16-21	0,992	-0,992
	17-22	1,732	-1,732
I	18-23	0,621	0
	19-24	1,387	0
	20-25	0,992	0
	21-26	0,992	0
	22-27	1,732	0

Moments dans les poteaux sous SP2

Portique Transversal

Niv	Poteaux	M_{sup} max f.m	M_{inf} max f.m
T	1-3	3,24	-0,717
	2-4	4,391	-1,747
VII	3-5	5,081	-2,297
	4-6	7,117	-4,784
VI	5-7	6,706	-3,705
	6-8	9,431	-7,716
V	7-9	8,497	-5,733
	8-10	13,034	-10,664
IV	9-11	8,829	-7,260
	10-12	17,954	-14,69
III	11-13	12,544	-12,542
	12-14	21,156	-21,156
II	13-16	10,24	-27,839
	14-17	19,026	-23,526
I	14'-17'	19,026	-23,526
	14"-17"	19,026	-23,254
	15-18	10,24	-14,994
	16-19	19,572	-3,1024
	17-20	15,283	-3,1024
	17'-21	15,011	-3,1024
	17"-22	15,011	-3,1024
	18-23	5,206	-3,1024

Portique Longitudinal

Niv	Poteaux	M_{sup} max f.m	M_{inf} max f.m
T	1-3	3,674	-2,388
	2-4	10,112	-5,575
VII	3-5	9,553	-4,998
	4-6	15,482	-12,890
VI	5-7	11,961	-7,199
	6-8	21,528	-17,784
V	7-9	13,511	-9,556
	8-10	26,593	-21,93
IV	9-11	14,241	-11,951
	10-12	27,943	-27,943
III	11-14	14,686	-21,174
	12-15	29,261	-29,261
II	13-18	13,491	-21,224
	14-19	16,641	-19,691
I	15-20	24,91	-24,91
	16-21	24,91	-24,91
	17-22	9,774	-13,138
	18-23	11,53	-25,663
	19-24	12,073	-25,092
	20-25	14,911	-25,946
	21-26	14,911	-25,946
	22-27	4,576	-26,39

Efforts normaux dans les poteaux sous SP1

Portique Transversal

Niv	Po.	N_G E	N_P E	N_{PP} E	$N_G + N_{PP}$ + 1,2 N_P	N^c E
T	1-3	1,153	0,080	2,25	3,499	3,499
	2-4	2,204	0,202	2,25	4,696	4,696
VII	3-5	0,975	0,201	2,25	3,466	6,965
	4-6	1,896	0,508	2,25	4,756	9,452
VI	5-7	0,974	0,201	2,25	3,465	10,430
	6-8	1,897	0,508	2,25	4,757	14,209
V	7-9	0,974	0,201	2,25	3,465	13,895
	8-10	1,897	0,508	2,25	4,757	18,966
IV	9-11	0,974	0,201	2,25	3,465	17,360
	10-12	1,897	0,508	2,25	4,757	23,723
III	11-13	0,974	0,201	2,25	3,465	20,825
	12-14	1,897	0,508	2,25	4,757	28,448
II	11-15	0,974	0,201	2,25	3,465	20,825
	13-16	0,974	0,201	2,25	3,465	24,290
I	14-17	1,897	0,508	2,25	4,757	33,237
	15-18	0,985	0,236	2,25	3,518	24,343
I	16-19	4,937	3,665	2,25	11,595	35,875
	17-20	2,777	1,347	2,25	6,1643	39,980
I	17-21	1,876	0,52	2,25	4,750	37,987
	17-22	1,858	0,409	2,25	4,599	37,836
I	18-23	1,013	0,167	2,25	3,463	27,806

Portique Longitudinal

Niv	Po.	N_G E	N_P E	N_{PP} E	$N_G + N_{PP}$ + 1,2 N_P	N^c E
T	1-3	6,044	0,631	2,25	9,051	9,051
	2-4	10,322	1,067	2,25	13,864	13,864
VII	3-5	4,28	1,6	2,25	8,450	17,501
	4-6	7,086	2,649	2,25	12,515	26,379
VI	5-7	4,285	1,602	2,25	8,457	25,958
	6-8	7,081	2,647	2,25	12,507	38,886
V	7-9	4,285	1,602	2,25	8,457	34,415
	8-10	7,081	2,647	2,25	12,507	51,393
IV	9-11	4,285	1,602	2,25	8,457	42,872
	10-12	7,081	2,647	2,25	12,507	63,900
III	11-14	4,285	1,602	2,25	8,457	51,329
	12-15	7,081	2,647	2,25	12,507	76,407
II	13-18	6,068	2,268	2,25	11,040	11,040
	14-19	13,243	4,784	2,25	21,942	21,975
I	15-20	5,716	8,137	2,25	10,530	86,937
	16-21	7,081	2,647	2,25	12,507	88,914
I	17-22	4,285	1,602	2,25	8,457	59,786
	18-23	11,818	5,903	2,25	20,312	31,372
I	19-24	11,464	4,113	2,25	18,1650	91,225
	20-25	5,927	2,193	2,25	10,709	97,646
I	21-26	7,081	2,647	2,25	12,507	101,421
	22-27	4,285	1,602	2,25	8,457	68,243

Forts normaux dans les poteaux sous SP2

Portique Transversal

N°v	Pot.	$C+P+SIH \rightarrow$		$G+P+SIH \leftarrow$		$0,8G+SIH \rightarrow$		$0,8G+SIH \leftarrow$		$G+P+1,2SIH \rightarrow$		$G+P+1,2SIH \leftarrow$	
		N	Nc	N	Nc	N	Nc	N	Nc	N	Nc	N	Nc
T-	1-3	2,24	2,24	4,73	4,73	1,48	1,48	3,97	3,97	1,99	1,99	4,98	4,98
	2-4	4,87	4,87	4,44	4,44	3,78	3,78	3,35	3,35	4,91	4,91	4,40	4,40
	2'-4'	4,66	4,66	4,66	4,66	3,56	3,56	3,56	3,56	4,66	4,66	4,66	4,66
VI	3-5	0,94	3,17	5,92	10,64	0,09	1,57	5,07	9,04	0,44	2,43	6,41	11,39
	4-6	4,89	9,76	4,42	8,96	3,55	7,33	3,08	6,43	4,94	9,85	4,37	9,77
	4'-6'	4,65	9,31	4,65	9,31	3,32	6,88	3,32	6,88	4,65	9,31	4,65	9,31
V	5-7	-0,54	2,63	7,39	18,04	-1,39	0,18	6,54	15,58	-1,33	1,09	8,18	19,58
	6-8	5,03	14,79	4,28	13,14	3,69	11,03	2,94	9,37	5,11	14,96	4,20	12,97
	6'-8'	4,66	13,97	4,66	13,97	3,32	10,20	3,32	10,20	4,66	13,97	4,66	13,97
VII	7-9	-2,17	0,46	9,02	27,06	-3,02	-2,84	8,18	23,76	-3,29	-2,20	10,14	29,72
	8-10	5,01	19,81	4,30	17,43	3,68	14,70	2,96	12,33	5,09	20,04	4,29	17,20
	8'-10'	4,66	18,62	4,66	18,62	3,32	13,52	3,32	13,52	4,66	18,62	4,66	17,62
VIII	9-11	-3,73	-3,27	10,58	37,64	-4,58	-7,42	3,74	33,50	-5,16	-7,37	12,02	41,73
	10-12	4,65	24,45	4,66	22,10	3,31	18,01	3,33	15,66	4,64	24,69	4,67	21,86
	10'-12'	4,66	23,28	4,67	23,28	3,32	16,83	3,32	16,83	4,66	23,28	4,66	23,28
IX	11-13	-6	-9,27	12,85	50,49	-6,95	-14,27	12,0	45,50	-7,88	-15,25	14,74	56,47
	12-14	5,03	23,48	4,98	26,38	3,69	21,70	2,94	18,60	5,10	28,79	4,21	26,07
	12'-14'	4,66	23,93	4,66	23,93	3,32	20,15	3,32	20,15	4,66	27,93	4,66	27,93
I	11'-15	-6	-9,27	12,85	50,49	-6,85	-14,27	12,0	45,50	-7,89	-15,25	14,74	56,47
	13-16	-7,3	-16,57	14,15	64,64	-8,15	-22,41	13,30	58,80	-9,45	-24,70	16,30	72,71
	14-17	4,23	33,77	3,08	29,46	3,10	24,80	1,94	20,54	4,35	34,14	2,96	29,03
I	14'-17'	4,66	32,59	4,66	32,59	3,32	23,47	3,32	23,47	4,66	32,59	4,66	32,59
	14"-17"	3,5	32,98	5,84	32,19	2,16	12,99	4,47	23,08	3,27	33,06	6,04	32,11
	15-18	-7,73	-17,11	14,77	65,27	-8,71	-22,98	13,79	59,39	-10,09	-25,34	17,03	73,50
I	16-19	6,0	-10,54	15,71	80,35	0,9	-21,81	10,6	69,41	5,03	-19,67	16,67	89,43
	17-20	6,37	40,09	6,39	35,85	4,02	28,82	4,02	24,56	6,37	40,51	6,37	35,41
	17'-21	4,64	33,23	4,66	37,23	3,30	26,72	4,65	37,23	4,65	37,23	4,65	37,23
I	17"-22	4,37	37,35	4,66	36,88	3,14	16,13	3,43	26,51	4,34	34,40	4,69	36,80
	18-23	-6,42	-23,53	13,28	78,55	-7,24	-30,22	12,46	71,85	-7,39	-33,73	15,25	65,72

Portique Longitudinal:

Niv	P-t.	G+P+ $\bar{S}IH$		G+P+ $\bar{S}IH$		0,1G+ $\bar{S}IH$		0,1G+ $\bar{S}IH$		G+P+1,2 $\bar{S}IH$		G+P+1,2 $\bar{S}IH$	
		N	Nc	N	Nc	N	Nc	N	Nc	N	Nc	N	Nc
T	1-3	7,53	7,53	10,32	10,32	5,24	5,24	8,03	8,03	7,25	7,25	10,60	10,60
	2-4	11,41	11,41	15,87	15,87	7,84	7,84	12,30	12,30	10,98	10,98	16,33	16,33
VII	3-5	8,42	12,95	10,84	21,16	2,51	7,75	7,94	15,99	4,88	12,13	11,38	21,98
	4-6	6,74	18,15	17,23	23,10	2,22	10,06	12,72	25,01	5,39	16,66	19,28	34,61
VI	5-7	3,72	16,67	12,55	33,71	0,82	8,57	9,64	25,63	2,84	14,97	13,43	35,41
	6-8	2,95	21,09	21,01	44,10	-1,57	8,49	16,50	41,51	1,14	17,80	23,82	57,42
V	7-9	2,44	19,12	13,83	47,84	-0,45	8,10	10,92	36,55	1,30	16,27	14,97	59,38
	8-10	-1,93	19,16	21,89	66,10	-4,45	4,04	19,38	60,89	-2,32	15,49	26,27	83,70
IV	9-11	1,56	20,68	14,71	62,26	-7,35	8,75	11,81	48,36	0,25	16,52	16,03	66,41
	10-12	-1,35	17,81	25,30	91,30	-5,86	-1,82	20,79	81,68	-4,01	11,48	27,97	111,66
III	11-14	0,59	21,26	15,69	77,94	-2,32	4,43	12,78	61,14	-0,92	15,60	17,20	83,61
	12-15	-3,38	14,44	27,53	118,64	-7,89	-9,70	22,82	104,49	-6,45	5,03	30,40	142,07
II	12-16	27,34	45,15	-3,38	87,92	22,72	21,01	-7,89	73,18	39,41	41,89	-6,45	105,21
	13-18	7,89	7,89	13,29	13,29	3,95	3,95	9,36	9,36	7,35	7,35	13,83	13,83
I	14-19	16,21	37,48	30,36	108,30	8,32	12,75	16,47	77,60	15,40	30,99	25,18	108,79
	15-20	-4,78	9,66	24,98	143,62	-9,51	-18,21	21,25	125,75	-7,75	-2,72	27,96	170,02
I	16-21	25,53	70,68	-1,57	86,36	21,01	42,02	-6,08	67,1	28,23	70,72	-4,29	100,93
	17-22	0,03	21,29	16,24	94,16	-2,18	1,55	13,33	74,47	-1,59	14,01	17,86	101,48
I	18-23	21,74	29,63	16,81	30,10	13,72	17,17	8,79	18,15	22,23	28,58	16,31	50,14
	19-24	15,39	52,85	20,48	128,58	8,52	21,29	13,42	91,03	14,89	45,88	20,77	129,56
I	20-25	-0,12	9,55	20,66	164,27	-3,92	-22,13	16,85	142,59	-2,19	-4,92	22,73	192,76
	21-26	22,68	93,75	1,28	87,63	18,17	69,19	-3,24	63,87	24,82	94,94	-0,86	100,07
I	22-27	3,13	24,42	13,15	107,33	9,22	1,77	10,24	14,71	2,12	16,13	14,15	115,63

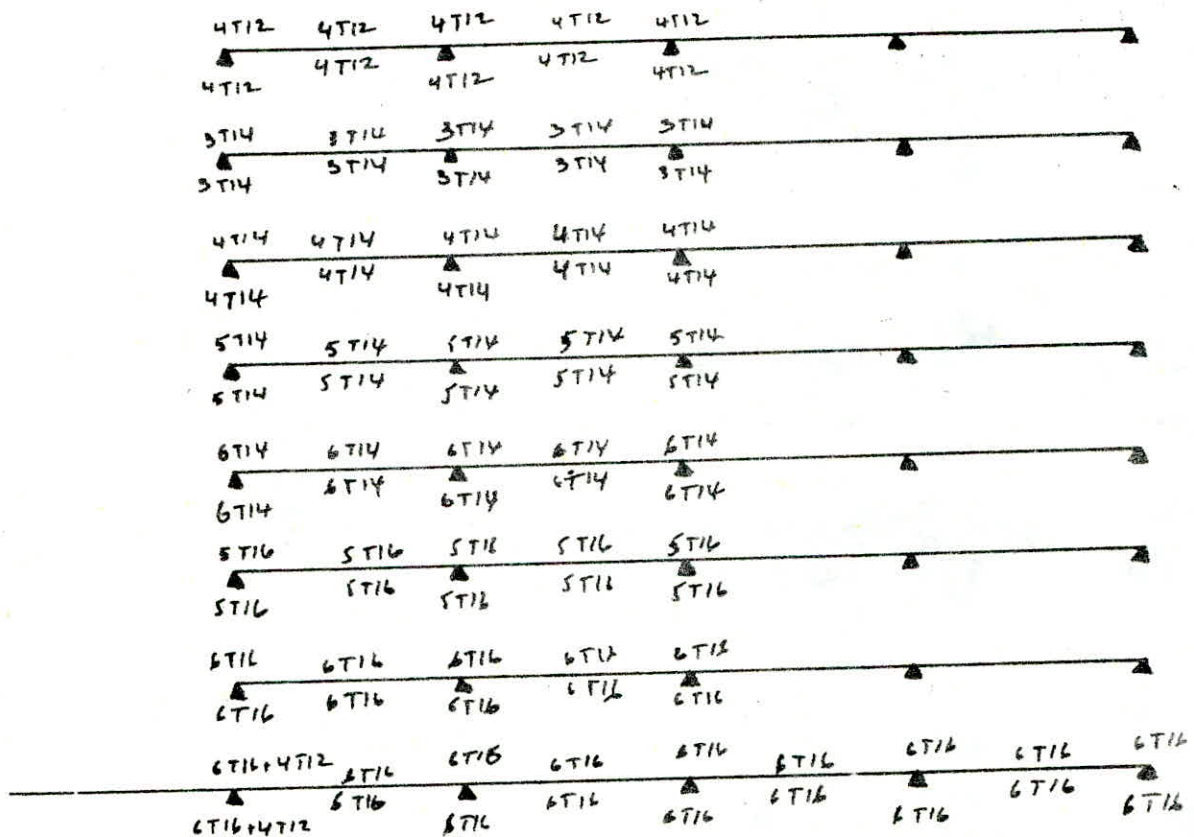
Portique Transversal (Moments pris en considération)

Détermination des armatures longitudinales

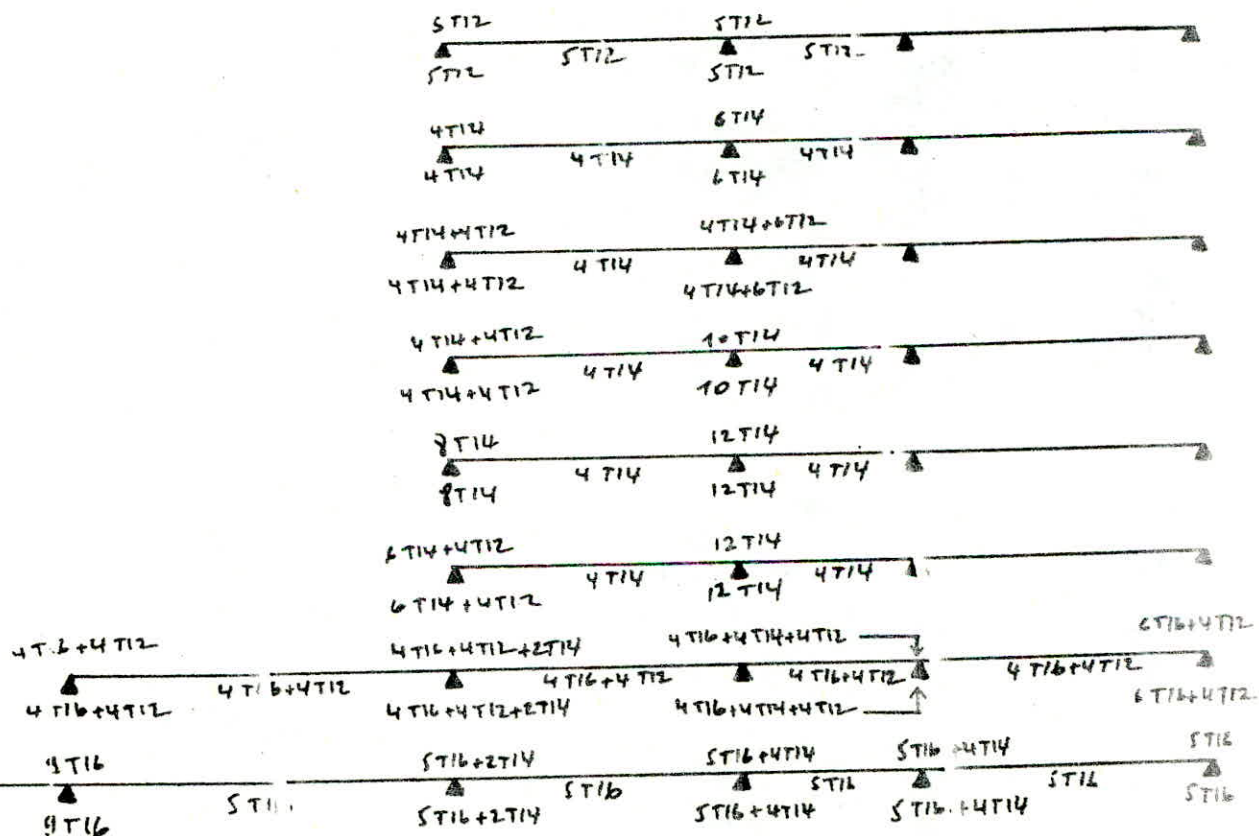
Établissement des portiques

Ferraillage adopté

Portique Transversal



portique Longitudinal



Verifications

* Verification de la flèche. (art. 61 CCBA 68)

$$\frac{A}{b_0 h} \leq \frac{43}{f_{\text{en}}} \quad (\text{la plus restrictive}).$$

$$\left. \begin{array}{l} h_t = 50 \quad (d=4) \Rightarrow h = 4b \\ b_0 = 30 \\ f_{\text{en}} = 4200 \text{ kg/cm}^2 \end{array} \right\} \text{d'où } A \leq \frac{43 b_0 h}{f_{\text{en}}} = 14,13 \text{ cm}^2$$

vérifié pour toutes les sections en travée

* Condition de non fragilité:

$$A \geq 0,69 b h \quad \frac{f_b}{f_{\text{en}}} = 0,69 \times 30 \times 4b \times \frac{5,5}{4200} = 1,34 \text{ cm}^2 \quad (\text{Vérifié})$$

* Vérification de l'adhérence:

$$\tau_d \leq \bar{\tau}_d \quad \text{avec} \quad \bar{\tau}_d = 2 \gamma_d \cdot \bar{f}_b = 2 \times 1,5 \times 5,9 = 17,7 \text{ kg/cm}^2$$

$$\tau_d = \frac{T^{\max}}{n p z}$$

n: nbre de barres
 $z = \frac{7}{8} h = 40,25 \text{ cm}$
 $p = \pi \phi.$

	Niv	T	IV	V	VI	VII	III	II	I
	ϕ	12	14/14	14	14	14	14,16	12,16	16
Transversal	T^{\max} (t)	2,51	3,75	5,23	6,862	8,421	10,688	14,988	15,43
	τ_d	4,13	7,06	9,85	11,69	9,5	10,57	9,88	8,47
Longitudinal	T^{\max} (t)	8,94	10,99	16,48	12,39	22,91	25,94	24,69	18,74
	τ_d	11,78	10,35	10,18	10	10,78	12,21	11,62	10,29

* Condition aux appuis :

$$\text{on doit avoir : } c \geq \frac{2T}{b\bar{\epsilon}_{bo}'} \quad \text{avec } c = a - (d+r)$$

$$d = 4$$

$$r = 5,5\phi$$

$$a = \begin{cases} 40 \text{ m} \\ 60 \end{cases}$$

	Niv φ	T 12	VII 14	VI 14	V 14	IV 14	III 14,16	II 16	I 16
Transversal	T ^{max}	2,51	3,75	5,23	6,862	8,421	10,688	11,988	13,43
	$\frac{2T}{b\bar{\epsilon}_{bo}'}$	2,43	3,63	5,06	6,64	8,15	10,35	11,61	14,9
	C	29,4	28,3	28,3	28,3	28,3	28,2	28,2	28,2
Longitudinal	T ^{max}	8,94	10,99	16,48	12,39	22,91	25,94	24,69	18,74
	$\frac{2T}{\bar{\epsilon}_{bo}' b}$	8,66	10,64	15,96	12,0	22,18	25,12	23,91	18,15
	C	49,4	48,3	48,3	48,3	48,3	48,3	47,2	47,2

* Condition de non écrasement du béton :

(art 30.6.2 CCBA 68)

$$r \geq 0,10\phi \quad \frac{\bar{\epsilon}_a}{\bar{\epsilon}_{bo}'} \left(1 + \frac{\phi}{d_1}\right) \beta = r_0$$

$$\text{avec } \beta = 1$$

$$d_1 = 5\phi + d$$

	Niv φ	T 12	VII 14	VI 14	V 14	IV 14	III 16	II 16	I 16
	r = 5,5φ	6,6	7,7	7,7	7,7	7,7	8,8	8,8	8,8
	r ₀	5,53	6,49	6,49	6,49	6,49	7,45	7,45	7,45

* Armatures inférieures aux niveau des appuis
(art. 35.32 CCBA 68)

$$A \geq \frac{1}{6a} (T + \frac{M}{\bar{z}})$$

	Niveau	Noeud	M	T	$\frac{1}{6a} (T + \frac{M}{\bar{z}})$	Apprise
Transversal	T	1	2,156	-2,57	0,68	4,52
	VI	3	4,859	-3,75	1,62	4,62
	V	5	6,995	-5,23	2,84	6,76
	IV	7	9,581	-6,862	4,03	7,70
	III	10	11,531	-8,421	4,82	9,23
	II	11	15,916	-10,688	6,87	10,05
	II	13	18,399	-11,988	8,03	12,06
	I	18	16,246	-13,47	6,4	16,58
Longitudinal	T	1	6,866	-8,94	4,06	5,65
	VI	4	12,055	-10,99	4,51	9,23
	V	6	19,159	-16,48	7,41	12,94
	IV	8	24,566	-12,39	11,58	15,39
	IV	10	27,526	-22,91	10,83	18,47
	III	12	31,46	-25,94	12,43	18,47
	II	15	29,18	-24,69	11,75	18,72
	I	18	28,753	-18,74	12,55	18,09

* Vérification de l'ancrage :

Niv	T	VI	V	IV	III	II	I
ϕ	12	14	14	14	14	16	16
$L_1 = c$	30,4	29,3	29,3	29,3	29,3	28,2	28,2
$L_3 = 8\phi$	9,6	11,2	11,2	11,2	11,2	12,8	12,8
$L_d = \frac{\phi}{4} \cdot \frac{L_3}{\phi_d}$	47,46	55,37	55,37	55,37	55,37	63,28	63,28
r	61,6	7,7	7,7	7,7	7,7	8,8	8,8
$L_1 + 2,56 L_3$	54,98	57,97	57,97	57,97	57,97	60,97	60,97
$L_d - 3,92 r$	25,99	25,19	25,19	25,19	25,19	28,78	35,97
$L_1 = c$	49,4	48,3	48,3	48,3	48,3	47,2	47,2
$L_1 + 2,56 L_3$	73,98	76,97	76,97	76,97	76,97	79,97	79,97
$L_d - 3,92 r$	21,59	25,19	25,19	25,19	25,19	23,74	35,97

* Verification à la fissuration

$$\sigma_1 = \frac{K_n}{\phi} \frac{\tilde{w}_f}{1+10\tilde{w}_f}$$

$$\sigma_2 = 2,4 \sqrt{\frac{K_2}{\phi} \frac{\bar{F}_b}{F_b}}$$

	Niv	A	B_f	\tilde{w}_f	σ_1	σ_2	$\bar{\sigma}_a$
Transversal	T	4,52	240	0,0188	3165	2659,2	2800
	VII	4,62	240	0,0193	2829	2461,9	2800
	VI	6,15	240	0,0258	3434	2461,9	2800
	V	6,75	240	0,0286	3494	2461,9	2800
	IV	9,23	240	0,0384	4754,4	2461,9	2800
	III	10,05	240	0,0419	4429,2	2302,94	2800
	II	12,06	240	0,050	5000,0	2302,94	2800
	I	12,06	240	0,050	5000,0	2059,8	2800
Longitudinal	T	5,65	240	0,0231	3881,8	2659,2	2800
	VII	9,23	240	0,0384	4851,5	2464	2800
	VI	12,34	240	0,0539	6129	2464	2800
	V	15,39	240	0,0641	6835,8	2464	2800
	IV	18,47	240	0,0765	7607,4	2464	2800
	III	18,47	240	0,0769	7607,4	2464	2800
	II	18,72	240	0,0781	6710	2304,8	2800
	I	18,09	240	0,0714	6571,2	2304,8	2800

* Verification des Contraintes : (Sections avec $A' \neq 0$)

	Appuis	A	A'	y	I	M	σ'_1	F'_a	F_a
Longitudinal	10	18,17	18,47	17,09	3289+-	27,53	143	1643	3229
	12	18,17	18,47	17,09	3286,42	31,46	163,5	1879	4149
	15	18,12	18,72	17,15	3322,15	29,18	153,6	1767	3876
	17	16,18	16,58	16,64	3001,31	26,37	146,2	1666	3869
	18	18,09	18,09	17,10	3231,14	28,75	159,24	1735	3870
Trans.	16	16,58	16,58	16,64	3001,31	28,08	155,7	1774	4121

Sections avec $\alpha' = 0$

	Niv	Appuis	M	A	\tilde{w}	E	K	δ_a	δ_b
Transversal	T	1	-2,758	4,52	0,327	0,9108	41	1458,4	35,6
	VII	3	-4,899	4,62	0,335	0,9098	40,4	2533,7	62,7
	VI	5	-7,57	6,15	0,446	0,8984	34,2	2978,4	87,1
	IV	7	-10,236	7,69	0,557	0,8886	29,9	3256,4	109,9
	IV	9	-12,202	9,23	0,668	0,8848	26,8	3248,1	121,2
	III	11	-16,571	10,05	0,728	0,8765	25,5	3914,3	153,5
	II	13	-19,054	12,06	0,874	0,8674	22,7	3336,3	147
	I	18	-16,9	12,06	0,974	0,8674	22,7	3512,1	154,7
Longitudinal	T	1	-6,866	5,65	0,4094	0,9020	36	2928,8	81,36
	VIII	3	-10,493	6,16	0,4464	0,8984	34,2	4121,8	120,5
		4	-12,055	9,23	0,6688	0,8804	26,8	3225	120,9
	VI	5	-14,691	10,63	0,7739	0,8734	24,5	3421,5	139,7
		6	-19,159	12,94	0,9377	0,8638	21,7	3726,2	171,4
	V	7	-17,8	10,68	0,7739	0,8734	24,5	4148,4	169,3
		8	-24,56	15,39	1,1152	0,8551	19,5	4057,7	208,06
	IV	9	-20,38	12,31	0,8920	0,8663	22,4	4154,5	185,5
	III	11	-22,8	13,75	0,9964	0,8607	20,9	4188,2	200,4
	II	14	-21,31	15,64	1,1333	0,8542	19,3	3467,6	179,7
		19	-14,258	13,13	0,9514	0,8634	21,6	3309,5	153,2
	I	20	-22,1	16,2	1,1739	0,8525	18,9	3478,3	184,1
		22	-14,698	10,05	0,7283	0,8762	25,4	3628,5	148,9

Armatures transversales

$$\tau_b^{\max} = \frac{T^{\max}}{b \cdot z}$$

$$b = 30 \text{ cm}$$

$$z = \frac{7}{8} \cdot h = 40,25 \text{ cm}$$

T^{\max} : Effort tranchant max sous SPA.

$$\text{on vérifie : } \tau_b^{\max} \leq 3,5 \bar{\tau}_b \text{ si } \sigma'_b < \bar{\sigma}'_{b_0}$$

$$\tau_b^{\max} \leq \left(4,5 - \frac{\sigma'_b}{\bar{\sigma}'_{b_0}} \right) \bar{\tau}_b \text{ si } \bar{\sigma}'_{b_0} < \sigma'_b < 2\bar{\sigma}'_{b_0}$$

	Niv.	T	VII	VI	V	IV	III	II	I
Transversal	T^{\max}	1,249	1,265	1,283	1,283	1,283	1,293	1,268	7,813
	$\bar{\tau}'_b$	23,73	41,8	58,06	72,6	80,8	102,3	98	103,1
	τ_b^{\max}	1034	1,048	1,063	1,063	1,063	1,063	1,050	6,47
	$\bar{\tau}_b$	20,65	20,65	20,65	20,33	19,63	17,78	18,15	17,71
Longitudinal	T^{\max}	7,191	7,068	7,060	7,060	7,060	7,060	10,393	10,393
	$\bar{\tau}'_b$	54,2	80,6	114,3	138,7	123,7	133,6	119,8	122,7
	τ_b^{\max}	6,37	5,85	5,85	5,85	5,85	5,85	8,61	8,61
	$\bar{\tau}_b$	20,65	19,64	16,76	14,66	15,95	15,10	16,28	16,04

La quantité d'armature est donnée par :

$$A_t = 0,003 \cdot \lambda' \cdot b_1 \quad (\text{RPA 81}) \quad \text{avec } s' \leq \frac{h_b}{2} = 25 \text{ cm} \rightarrow \lambda' = 20$$

b_1 : largeur du poteau.

Trans: D'où $A_t \geq 0,003 \times 20 \times 60 = 3,6 \text{ cm}^2$

Long: $A_t \geq 0,003 \times 20 \times 40 = 2,4 \text{ cm}^2$

on choisit 2 cadres + 2 claviers $\phi 10 \rightarrow \begin{cases} A_t = 4,71 \text{ cm}^2 \\ 6 \text{ cm} = 4200 \end{cases}$

* Espacements

1) Zone nodale: $\Delta \leq \min\left(\frac{h_b}{4}, 12\phi\right) = \min(12,5; 12)$
soit $\Delta = 10 \text{ cm}$

2) Zone courante: $\Delta' \leq \frac{h_b}{2} = 25$, soit $\Delta' = 20 \text{ cm}$

Ferraillage des poteaux

Tableaux donnant: $N^{\max} \rightarrow M^{\text{corr.}}$ (sous SP2)

Portique long:

$$\text{Poteau: } 40 \times 60 : e_1 = \frac{h_b}{6} = 10 \text{ cm}$$

Portique Trans:

$$e_1 = \frac{40}{6} = 6,67 \text{ cm}$$

Niv	Pot.	N^{\max}	$M^{\text{corr.}}$	e_0	\bar{e}'_b	obs.
T	1-3	10,59	7,67	72,4	206,5	SPC
	2-4	16,33	10,11	61,9	206,5	"
VII	3-5	21,98	9,55	43,5	206,5	"
	4-6	34,61	15,48	44,7	206,5	"
VI	5-7	35,41	11,96	33,8	206,5	"
	6-8	57,42	21,53	37,5	206,5	"
V	7-9	50,38	13,51	26,8	130,4	"
	8-10	83,69	26,59	31,8	206,5	"
IV	9-11	66,41	14,24	21,4	118,0	"
	10-12	111,66	27,94	25,0	126,3	"
III	11-14	83,67	21,17	25,3	127	"
	12-15	142,07	29,26	20,6	116,2	"
	12-16	105,21	28,26	27,8	132,7	"
II	13-18	13,83	21,22	153,5	206,5	"
	14-19	108,79	19,69	18,1	110,5	"
	15-20	170,02	24,91	14,7	102,7	"
	16-21	100,93	24,99	24,7	128,6	"
	17-22	101,48	13,14	12,9	98,5	"
	18-23	30,14	25,66	85,4	206,5	"
I	19-24	129,56	25,09	19,4	113,4	"
	20-25	192,76	25,95	13,5	99,9	"
	21-26	100,07	25,95	25,9	128,4	"
	22-27	115,63	26,39	22,8	121,3	"

Niv	Pot.	N^{\max}	$M^{\text{corr.}}$	e_0	\bar{e}'_b	obs.
T	1-3	4,98	3,24	65,1	206,5	SPC
	2-4	4,87	3,08	63,3	"	"
	2'-4'	4,66	3,08	66,2	"	"
VII	3-5	11,39	5,08	44,6	"	"
	4-6	9,85	7,18	72,9	"	"
	4'-6'	9,31	7,18	77,1	"	"
VI	5-7	19,58	6,71	34,3	"	"
	6-8	14,96	9,43	63,1	"	"
	6'-8'	13,97	9,43	67,5	"	"
V	7-9	29,78	8,50	28,6	"	"
	8-10	20,04	13,03	65,0	"	"
	18'-10'	18,62	13,03	70	"	"
IV	9-11	41,73	8,83	21,2	"	"
	10-12	24,69	17,95	72,7	"	"
	10'-12'	23,28	17,95	77,1	"	"
III	11-13	56,47	12,54	22,2	"	"
	12-14	29,79	21,16	71,0	"	"
	12'-14'	27,93	21,16	75,7	"	"
II	13-16	72,76	27,84	38,3	"	"
	14-17	34,14	22,98	67,3	"	"
	14'-17'	32,59	23,53	72,2	"	"
	14"-17"	33,06	23,25	70,3	"	"
	15-18	65,27	18,53	19,2	135	"
	16-19	89,43	39,76	43,8	"	"
I	17-20	40,51	35,02	86,5	"	"
	17'-21	38,96	35,02	89,9	"	"
	17"-22	34,13	35,02	102,6	"	"
	18-23	78,55	28,19	37,2	"	"

Tableaux donnent $N^{\min} \rightarrow M^{\text{corr.}}$ (sous SP2)

Longitudinal : $e_1 = 10\text{cm}$

Transversal : $e_1 = 6,67$

Niv	Pot.	N^{\min}	$M^{\text{corr.}}$	e_0	$\bar{\tau}'_b$	obs.
I	1-3	5,24	6,87	139	206,5	SPC
	2-4	7,84	8,66	110,4	"	"
II	3-5	7,75	8,25	106,4	"	"
	4-6	10,06	13,06	129,9	"	"
III	5-7	8,57	10,24	119,5	"	"
	6-8	8,49	18,10	213,1	"	"
IV	7-9	8,10	11,53	142,3	"	"
	8-10	4,05	22,32	551,7	"	"
V	9-11	6,75	12,14	179,8	"	"
	10-12	11,48	26,06	227,1	"	"
VI	11-14	4,43	17,91	404,3	"	"
	12-15	5,03	27,38	544,5	"	"
VII	12-16	21,0	24,54	116,8	"	"
	13-18	3,95	17,78	449,7	"	"
VIII	14-19	12,75	16,63	130,4	"	"
	15-20	9,66	19,33	200,1	"	"
IX	16-21	4,202	20,92	49,8	"	"
	17-22	1,55	9,22	593,9	"	"
X	18-23	17,67	21,39	121	"	"
	19-24	21,28	20,91	98,3	"	"
	20-25	9,55	21,62	226,5	"	"
	21-26	60,19	21,62	35,9	"	"
	22-27	1,77	21,99	1242,5	"	"

Niv	Pot.	N^{\min}	$M^{\text{corr.}}$	e_0	$\bar{\tau}'_b$	obs.
I	1-3	1,48	2,16	146,0	"	"
	2-4	3,35	3,65	109	"	"
	2'-4'	3,56	3,15	87,3	"	"
II	3-5	1,57	3,96	252,5	"	"
	4-6	6,43	5,98	93	"	"
	4'-6'	6,88	5,28	86,9	"	"
III	5-7	0,18	5,29	294,1	"	"
	6-8	9,37	7,86	93,9	"	"
	6'-8'	10,20	7,86	77,1	"	"
IV	7-9	0,46	6,71	146,16	"	"
	8-10	12,33	10,86	78,1	"	"
	8'-10'	13,52	10,86	80,4	"	"
V	9-11	33,50	7,31	21,8	"	"
	10-12	15,66	14,96	95,6	"	"
	10'-12'	12,83	14,96	89,9	"	"
VI	11-13	45,50	10,16	223	"	"
	12-14	18,60	17,63	94,8	"	"
	12'-14'	20,15	17,63	87,5	"	"
VII	13-16	58,81	19,73	33,6	"	"
	14-17	20,54	19,55	95,1	"	"
	14'-17'	23,47	19,55	83,3	"	"
	14"-17"	12,988	19,211	147,9	"	"
	15-18	53,39	12,45	21	"	"
VIII	16-19	10,57	28,19	276	"	"
	17-20	24,56	28,19	118,8	"	"
	17'-21	26,77	28,19	109	"	"
	18-22	16,13	28,19	181	"	"
	18-23	65,12	35,02	53,3	"	"

Tableaux donnant $N \rightarrow M^{\max}$ (sous SP1)

 Longitudinal : $e_1 = 10 \text{ cm}$

 Transversal : $e_1 = 6,67 \text{ cm}$

Niv	Pot.	N	M^{\max}	e_0	\bar{G}_b	obs.
T	1-3	9,05	2,89	31,9	137,7	SPC
	2-4	13,86	1,40	10,1	92,7	SPC
VI	3-5	17,50	1,82	10,4	92,8	SPC
	4-6	26,38	1,03	3,9	77,9	SEC
VII	5-7	25,96	1,73	6,7	84,3	SEC
	6-8	39,89	0,99	2,6	74,9	SEC
IV	7-9	34,42	1,73	5,0	80,4	SEC
	8-10	51,39	0,99	1,9	73,3	SEC
IV	9-11	42,87	1,73	4,0	78,1	SEC
	10-12	63,9	0,99	1,6	72,6	SEC
III	11-14	51,33	1,73	3,4	76,7	SEC
	12-15	76,41	0,99	1,3	71,9	SEC
II	12-16	76,41	0,99	1,3	71,9	SEC
	13-17	11,04	6,95	63,0	137,7	SPC
II	14-18	72,53	1,70	2,3	74,2	SEC
	15-20	86,94	0,99	1,1	71,4	SEC
I	16-21	88,91	0,99	1,1	71,4	SEC
	17-22	59,79	1,73	2,9	75,6	SEC
I	18-23	31,35	0,62	2,0	114,8	SEC
	19-24	91,23	1,39	1,5	72,3	SEC
	20-25	97,65	0,99	1,0	91,9	SEC
	21-26	101,42	0,99	1,0	91,9	SEC
	22-27	68,24	1,73	2,5	74,6	SEC

Niv	Pot.	N	M^{\max}	e_0	\bar{G}_b	obs.
T	1-3	9,50	0,36	10,2	104,0	SPC
	2-4	4,69	0	0		CS
	2'-4'	4,69	0	0		CS
VI	3-5	6,96	0,21	3,0	79,2	SPC
	4-6	9,45	0	0		CS
	4'-6'	9,45	0	0		CS
VI	5-7	10,43	0,21	2	75,18	SEC
	6-8	14,21	0	0		CS
	6'-8'	14,21	0	0		CS
V	7-9	13,89	0,21	1,5	74,1	SEC
	8-10	18,97	0	0		CS
	8'-10'	18,97	0	0		CS
IV	9-11	17,36	0,21	1,2	73,0	SEC
	10-12	23,72	0	0		CS
	10'-12'	23,72	0	0		CS
III	11-13	20,83	0,21	1,0	72,3	SEC
	12-14	28,48	0	0		CS
	12'-14'	28,48	0	0		CS
II	13-16	24,23	0,21	0,8	72,0	SEC
	14-17	33,24	0,29	0,9	72,0	SEC
	14'-17'	33,24	0	0		CS
	14"-17"	33,24	0	0		CS
	15-18	24,34	0,21	0,9	72,0	SEC
I	16-19	35,88	4,93	13,7	116,1	SPC
	17-20	39,88	0,29	0,7	71,3	SEC
	17'-21	37,99	0	0		CS
	17"-22	37,84	0	0		CS
	18-23	27,81	0,21	0,8	71,7	SEC

Choix du ferrailage

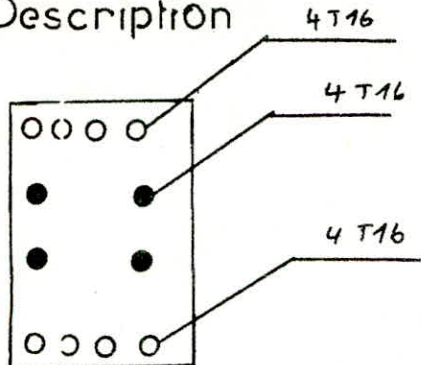
Longitudinal

Niv	Pot.	A'_{cal}	A_{cal}	A'_{chasic}	A_{chasic}
T	1-3	0	2,15	4T16	4T16
	2-4	0	3,05	4T16	4T16
VII	3-5	0	2,87	4T16	4T16
	4-6	0	4,92	4T16	4T16
VI	5-7	0	3,73	4T16	4T16
	6-8	0	7,57	4T16	4T16
V	7-9	0	4,40	4T16	4T16
	8-10	0,85	10,15	4T16	4T16
IV	9-11	0	4,85	4T20 +2T14	4T20 2T14
	10-12	12,72	11,24	4T20 2T14	4T20 2T14
III	11-14	1,01	7,93	8T20 +2T14	8T20 2T14
	12-15'	26,77	12,60	8T20 +2T14	8T20 2T14
	12'-16	9,26	9,46	8T20 2T14	8T20 2T14
II	13-18	0	8,55	14T20	14T20
	14-19	13,53	6,38	14T20	14T20
	15-20	40,56	8,05	14T20	14T20
	16-21	0,75	9,27	14T20	14T20
	17-22	12,42	4,04	14T20	14T20
I	18-23	0	9,07	16T20	16T20
	19-24	21,85	7,59	16T20	16T20
	20-25	50,69	9,21	16T20	16T20
	22-26	7,62	3,88	16T20	16T20
	22-27	14,84	10,24	16T20	16T20

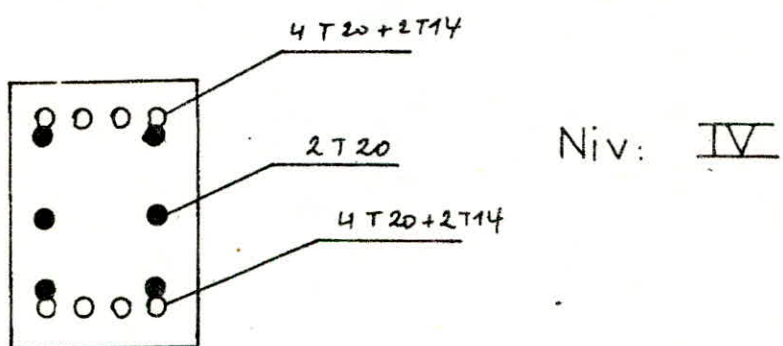
Transversal.

Niv	Pot.	A'_{cal}	A_{cal}	A'_{chasic}	A_{chasic}
T	1-3	0	1,31	4T16	4T16
	2-4	0,37	2,15	4T16	4T16
VII	2'-4'	0,37	1,76	4T16	4T16
	3-5	0	2,59	4T16	4T16
VI	4-6	0,74	3,98	4T16	4T16
	4'-6'	0,74	4,05	4T16	4T16
V	5-7	0	3,74	4T16	4T16
	6-8	1,11	5,10	4T16	4T16
IV	6'-8'	1,11	5,22	4T16	4T16
	7-9	0	4,75	4T16	4T16
III	8-10	1,48	6,51	4T16	4T16
	8'-10'	1,48	7,50	4T16	4T16
II	9-11	0	4,89	3T20 +2T14	3T20 2T14
	10-12	1,85	9,32	3T20 2T14	3T20 2T14
	10'-12'	1,85	10,86	3T20 2T14	3T20 2T14
I	11-13	0	7,23	5T20 2T14	5T20 2T14
	12-14	2,22	11,11	5T20 2T14	5T20 2T14
	12'-14'	2,22	12,93	5T20 2T14	5T20 2T14
II	13-16	4,80	8,44	8T20	8T20
	14-17	5,51	17,42	8T20	8T20
	14'-17'	2,59	13,92	8T20	8T20
	15-18	7,76	10,44	8T20	8T20
I	16-19	2,2	21,23	8T20	8T20
	17-20	16,72	22	8T20	8T20
	17'-21	16,16	22,3	8T20	8T20
	17'-22	15,33	22,77	8T20	8T20
	18-23	17,06	13,14	8T20	8T20

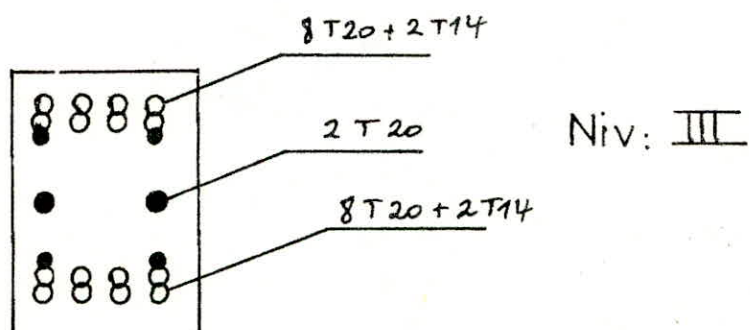
Description



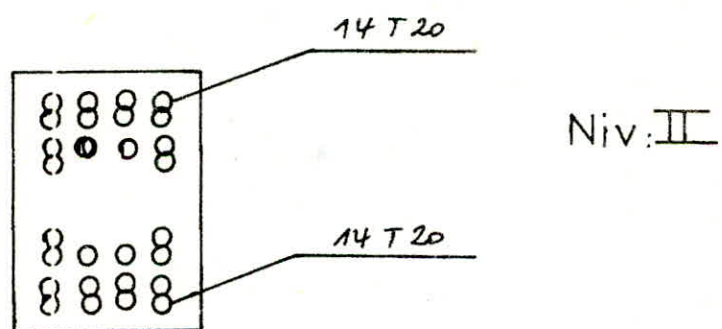
Niv: T-VII-VI-V



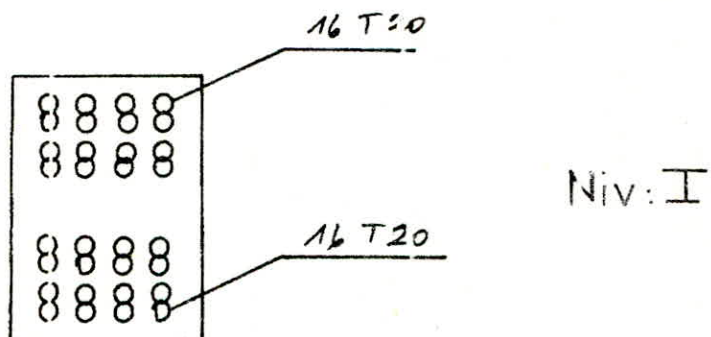
Niv: IV



Niv: III



Niv: II



Niv: I

Armatures transversales

Le RPA 81 (art. 42.312) exige un pourcentage minimum des aciers transversaux en zone II:

$$A_t = 0,4\% \cdot t \cdot b$$

les armatures utilisées sont des cadres et étriers fermés.

Espacement admissible : RPA 81.

$$\bar{t} \leq \min(10\phi_L, 15\text{cm}) \text{ zone nodale.}$$

$$\bar{t} \leq 12\phi_L \text{ zone courante.}$$

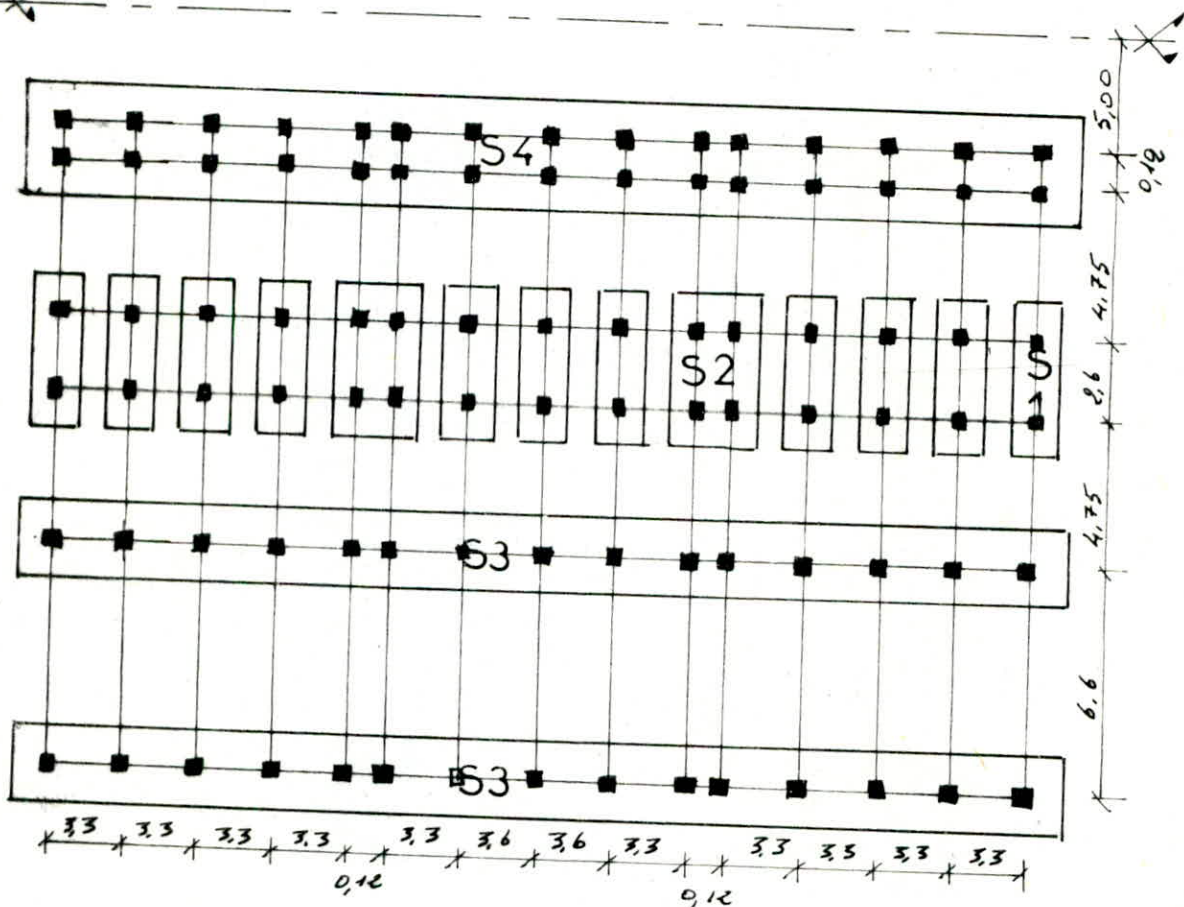
L'écartement t de calcul est donné par: $\frac{A_t}{t} = \frac{1,25T}{h \text{cm}}$

$T = 2 \times$ Effort tranchant de calcul (RPA 81).

Niveau	$2T$ (t)	A_t cm^2	cadre + étriers	t cm	z. courante t adopté	z. nodale t adopté	$\ell_d = 50\phi$ cm
T	5,604	3,01	1 cadre + 2 étriers	101,06	15	15	80
VI	10,99	3,01	"	51,53	15	15	80
V	15,596	3,01	"	36,31	15	15	80
IV	19,434	3,01	"	29,14	15	15	80
III	22,502	3,01	"	25,17	15	15	100
II	23,6	3,01	"	24,00	15	15	100
I	19,974	3,01	"	28,35	15	15	100
	20,848	3,01	"	27,17	15	15	100

Fondations

~~Vue en plan de la structure:~~

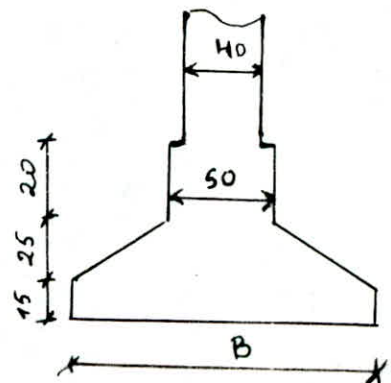
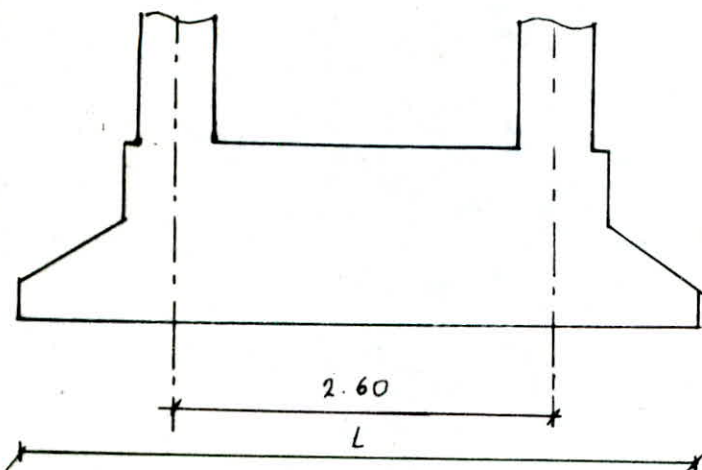


Types - Semelle sous époteaux S1

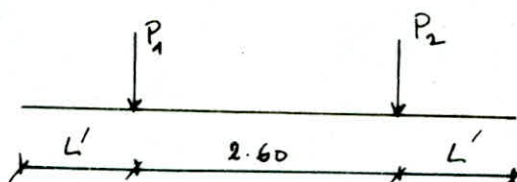
- Semelle sous époteaux S2
- Semelle continue sous 15 poteaux S3
- Semelle continue sous 2x15 poteaux S4

remarque: la semelle S4 ne sera pas étudiée dans ce chapitre car n'ayant pas terminé l'étude du bloc nous ne pourrons pas donner une valeur à l'effort de compression à la base de ce bloc pour pouvoir dimensionner notre semelle.

Semelle sous deux poteaux S1 :



Schema statique :



$$P_1 = P_2 = 101,421 \text{ t} \text{ (sous SP1)}.$$

Predimensionnement :

$$\text{soit } L' = 1,00 \text{ m} \longrightarrow L = 4,60 \text{ m}$$

$$R = P_1 + P_2 = 2 \cdot 101,421 = 202,842 \text{ t}$$

B : Largeur de la semelle ;

$$B \cdot L \geq \frac{R}{f_s} \longrightarrow B \geq \frac{202842}{460 \cdot 3,5 \cdot 1,02} = 123,5 \text{ cm} \text{ soit } B = 150 \text{ cm}$$

Poutre de rigidité :

$$h_t \geq \frac{L}{6} = \frac{4,60}{6} = 43,3 \text{ cm} \text{ soit } h_t = 60 \text{ cm}.$$

Poids propre de la semelle :

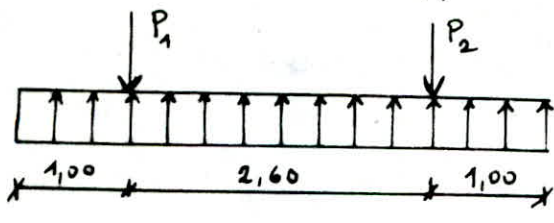
$$N_o = 2,5 [1,50 \times 0,40 \times 4,60 + 0,2 \times 0,50 \times 3,2 - 0,25 \times 4,60 \times 0,50]$$

$$N_o = 6,263 \text{ t}$$

$$N_t = R + N_o = 209,105 \text{ t}$$

$$\sigma = \frac{N_t}{B \cdot L} = \frac{209105}{150 \times 460} = 3,03 \text{ kg/cm}^2 < \bar{f}_s$$

Determination des efforts:



$$0 \leq x \leq 1$$

$$M(x) = q \frac{x^2}{2}$$

$$T(x) = q \cdot x$$

$$1 \leq x \leq 2,3$$

$$M(x) = 22,05x - 101,421x + 101,421$$

$$T(x) = 44,1x - 101,421$$

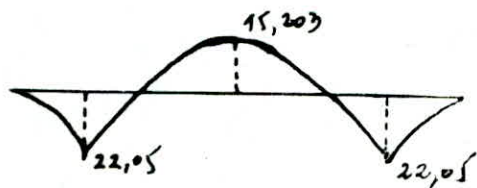
$$M(1) = 22,05$$

$$M(2,3) = -15,203$$

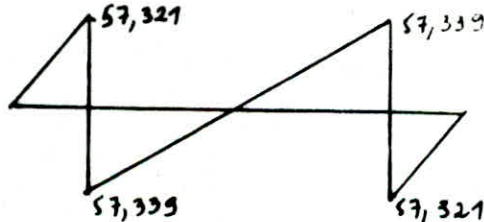
$$T(1) = -57,321$$

$$T(2,3) = 57,339$$

(M)



(T)



• Calcul des armatures longitudinales:

Section aux appuis : $M = 22,05 \text{ t.m}$

$$\mu = \frac{15 M}{\bar{\tau}_a b h^2} = \frac{15 \times 22,05 \cdot 10^5}{2800 \cdot 50 \cdot 55^2} = 0,0781$$

$$\begin{aligned} K &= 29 \\ E &= 0,8864 \end{aligned}$$

$$\epsilon_b' = \frac{\epsilon_a}{K} = \frac{2800}{29} = 96,55 < \bar{\epsilon}_b' = 137,7 \rightarrow A' = 0$$

$$A = \frac{M}{\bar{\tau}_a E h} = \frac{22,05 \cdot 10^5}{2800 \cdot 0,8864 \cdot 55} = 16,15 \text{ cm}^2 \rightarrow 6 \text{ T 20 } (A = 18,84)$$

$$\bullet \text{ Condition aux appuis: } A \geq \frac{1}{\bar{\tau}_a} \left(T + \frac{M}{3} \right) = \frac{1}{2800} \left(57339 - \frac{22,05 \cdot 10^5}{\frac{7}{3} \cdot 55} \right) = 4,11$$

Entrainement des armatures: $T_d = \frac{T^{\max}}{n_p z} = \frac{57339}{6\pi \cdot 2 \cdot \frac{7}{8} \cdot 35} = 7,9 \text{ kg/cm}^2$

$$\bar{T}_d = 2 \psi_d \bar{t}_b = 2 \times 1,5 \times 7,9 = 17,7 \text{ vérifié}$$

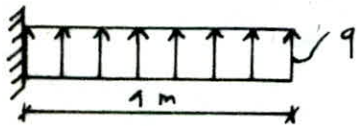
Section en travéé: $M = 15,203 \text{ t.m}$

$$\mu = \frac{15 \times 15,203 \cdot 10^5}{2800 \cdot 50 \cdot 35^2} = 0,0538 \longrightarrow K = 36,6 \\ E = 0,9031$$

$$\bar{t}'_b = \frac{\bar{t}_a}{K} = \frac{2800}{36,6} = 76,5 < \bar{t}'_b \quad A' = 0$$

$$A = \frac{15,203 \cdot 10^5}{2800 \cdot 0,9031 \cdot 35} = 10,93 \text{ cm}^2 \longrightarrow 6T20 (A = 12,06)$$

• Calcul des armatures perpendiculaires à la poutre de rigidité:



$$q = 44,1 \text{ t/m} \\ h_t = 40 \text{ cm} \quad h = 35 \text{ cm}$$

$$M_A = \frac{q \frac{1}{2}^2}{2} = \frac{44,1 \times 1}{2} = 22,05 \text{ t.m}$$

soit $b = 100$ $\mu = \frac{15 \times 22,05 \cdot 10^5}{2800 \cdot 100 \cdot 35^2} = 0,0877 \longrightarrow K = 26,9 \\ E = 0,8807$

$$\bar{t}'_b = \frac{\bar{t}_a}{K} = \frac{2800}{26,9} = 104,08 < \bar{t}'_b \longrightarrow A' = 0$$

$$A = \frac{22,05 \cdot 10^5}{2800 \cdot 0,8807 \cdot 35} = 25,55 \text{ cm}^2 \longrightarrow 6T20 + 4T16 (A = 26,88)$$

• Contrainte de cisaillement au niveau de l'encastrement:

$$\bar{T}_b = \frac{T}{b \cdot z} = \frac{57339}{100 \cdot \frac{7}{8} \cdot 35} = 18,77 \text{ kg/cm}^2 < \bar{T}_b = 20,65$$

• Calcul des armatures Transversales pour la poutre de rigidité

$$T_b = \frac{59339}{50 \cdot \frac{7}{8} \cdot 35} = 24,66 > \bar{T}_b, \text{ soit pour } b = 60, \text{ ça vérifie.}$$

on utilise des armatures perpendiculaires à la ligne moyenne,

soit 2 Cadres + 2 etriers T8 ($A_t = 4,02 \text{ cm}^2$) $\rightarrow t = \frac{A_t \cdot \gamma \cdot f_{at}}{T}$

$$\text{avec } \Delta_{at} = \left(1 - \frac{19,38}{9 \times 3,9}\right) \times 4200 = 2667,12 \rightarrow t = 8,69 \text{ cm}$$

$$\bar{t} = \max(t_1, t_2) \quad t_1 = 0,2 \cdot h = 0,2 \cdot 35 = 11 \text{ cm} \quad t_2 = \left(1 - 0,3 \cdot \frac{20,65}{3,9}\right) \cdot 35 < 0$$

soit $t = 10 \text{ cm}$

Semelle sous deux poteaux S2

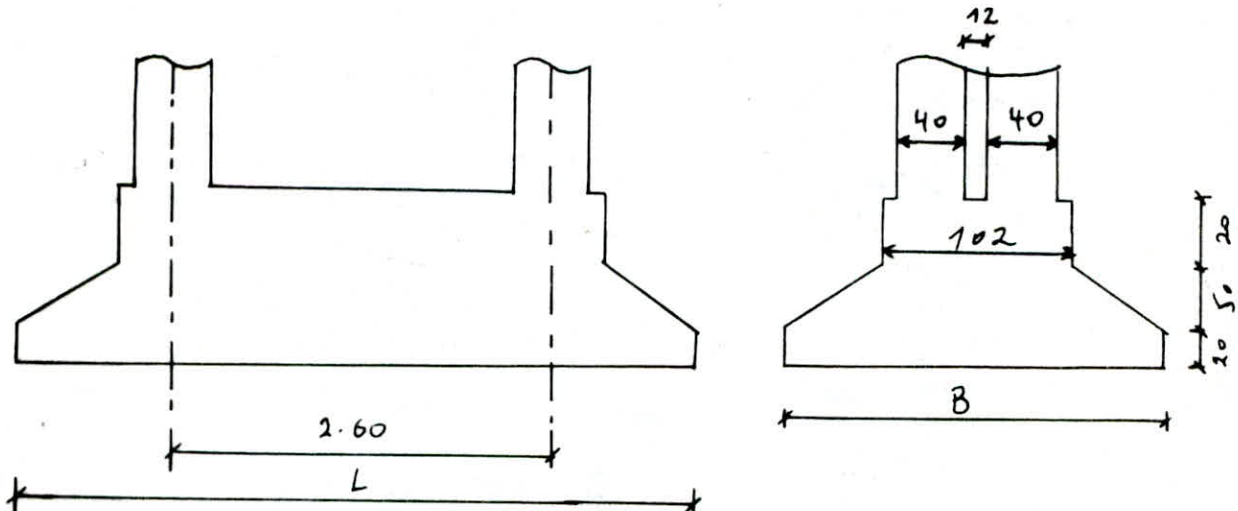
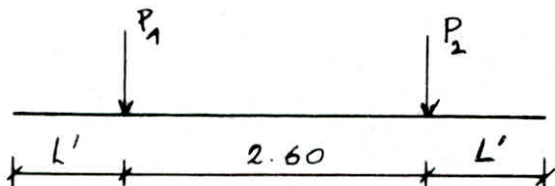


Schéma statique :

$$P_1 = P_2 = 201,941 \text{ t}$$



Prédimensionnement :

$$\text{soit } L' = 1,00 \longrightarrow L = 4,60 \text{ m}$$

$$R = P_1 + P_2 = 2 \cdot 201,941 = 403,882 \text{ t}$$

$$B \geq \frac{R}{L \cdot \bar{\sigma}_s} = \frac{403,882}{460 \cdot 3,57} = 2,459 \text{ m} \quad \text{soit } B = 2,60 \text{ m}$$

Poutre de rigidité :

$$h_t \geq \frac{l}{6} = \frac{260}{6} = 43,33 \text{ cm} \quad \text{soit } h_t = 90 \text{ cm}$$

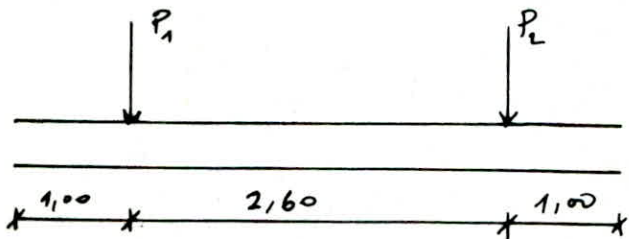
Poids propre de la semelle :

$$N_o = 2,5 \left[2,60 \times 0,70 \times 4,60 + 0,2 \times 1,02 \times 3,2 - 0,4 \times 0,54 \times 4,60 \right] = 8,031 \text{ t}$$

$$N_t = R + N_o = 403,882 + 8,031 = 411,913 \text{ t}$$

$$\zeta = \frac{N_t}{B \cdot L} = \frac{411,913}{260 \cdot 4,60} = 3,44 \text{ kg/cm}^2 < \bar{\sigma}_s$$

Determination des efforts:



$$P_1 = P_2 = 201,941 \text{ t}$$

$$q = \frac{201,941}{4,60 \left(\frac{4,60}{2} - 1 \right)} = 87,8 \text{ t/m}$$

$$0 \leq x \leq 1$$

$$M(x) = q \frac{x^2}{2}$$

$$T(x) = q \cdot x$$

$$M(0) = 0$$

$$M(1) = 43,9 \text{ t.m}$$

$$T(0) = 0$$

$$T(1) = 87,8 \text{ t}$$

$$1 \leq x \leq 2,3$$

$$M(x) = 43,9x - 201,941x + 201,941$$

$$T(x) = 87,8x - 201,941$$

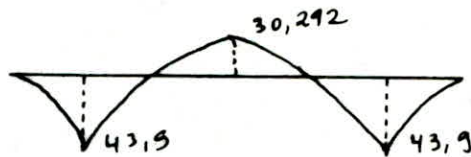
$$M(1) = 43,9$$

$$M(2,3) = -30,292$$

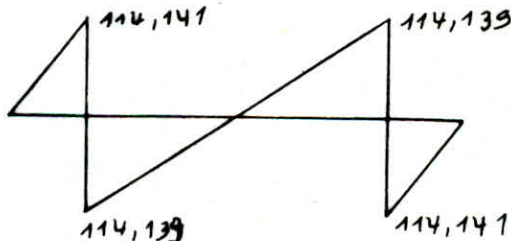
$$T(1) = -114,141$$

$$T(2,3) = 114,131$$

(M)



(T)



Calcul des armatures longitudinales:

Section aux appuis : $M = 43,9 \text{ t.m}$

$$\mu = \frac{15 \times 43,9 \cdot 10^5}{2800 \cdot 102 \cdot 85} = 0,0319 \longrightarrow K = 50$$

$$\varepsilon = 0,9231$$

$$\tau_b' = \frac{2800}{50} = 56 \text{ kg/cm}^2 \longrightarrow A' = 0$$

$$A = \frac{43,9 \cdot 10^5}{2800 \cdot 0,9231 \cdot 85} = 19,98 \text{ cm}^2 \longrightarrow 10 T 16 (A = 20,10 \text{ cm}^2)$$

$$\text{Condition aux appuis: } A \geq \frac{1}{2800} \left(114141 - \frac{43,9 \cdot 10^5}{\frac{7}{8} \cdot 85} \right) = 19,68 \text{ vérifiée.}$$

$$\text{Entrainement des armatures: } \bar{\tau}_d = \frac{\bar{\tau}^{\max}}{n \pi \phi \cdot \frac{7}{8} \cdot 85} = \frac{114141}{10 \pi 1,6 \cdot \frac{7}{8} \cdot 85} = 30,53$$

$$\bar{\tau}_d = 2 \times 1,6 \times 5,9 = 17,7 \text{ non vérifié.}$$

$$\bar{\tau}_d \leq 17,7 \quad \frac{114141}{n \pi \phi \cdot \frac{7}{8} \cdot 85} \leq 17,7 \rightarrow n \phi \geq 27,6 \quad \text{soit } 14T20$$

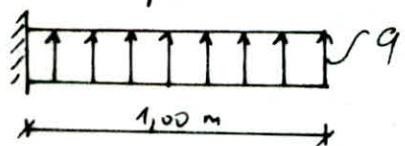
Section en Travéé : $M = 30,292$

$$\mu = \frac{15 \cdot 30,292 \cdot 10^5}{2800 \cdot 102 \cdot 85^2} = 0,0220 \rightarrow K = 620 \\ \epsilon = 0,9351$$

$$\bar{\tau}_b' = \frac{2800}{62} = 45,16 \rightarrow A' = 0$$

$$A = \frac{30,292 \cdot 10^5}{2800 \cdot 0,9351 \cdot 85} = 13,61 \rightarrow 4T20 + 2T14 (A = 15,64)$$

Calcul des armatures longitudinales perpendiculaires à la poutre rigidité :



$$q = 87,8 \text{ t/m}$$

$$h_t = 65$$

$$M_A = q \frac{l^2}{2}$$

$$\text{soit } b = 1,00 \quad M_A = 43,9 \text{ t.m}$$

$$\mu = \frac{15 \cdot 43,9 \cdot 10^5}{2800 \cdot 100 \cdot 65^2} = 0,0557 \rightarrow K = 35,8 \\ \epsilon = 0,9016$$

$$\bar{\tau}_b' = \frac{2800}{35,8} = 78,21 \rightarrow A' = 0 \quad A = \frac{43,9 \cdot 10^5}{2800 \cdot 0,9016 \cdot 65} = 26,75 \text{ cm}^2$$

$$\text{soit } 8T20 + 2T14 \quad (A = 28,21)$$

Contrainte de cisaillement au niveau de l'encastrement :

$$\bar{\tau}_b = \frac{114141}{100 \cdot \frac{7}{8} \cdot 65} = 20,07 < \bar{\tau}_b'$$

Armatures Transversales pour la poutre de rigidité :

$$\bar{\tau}_b = \frac{114141}{102 \cdot \frac{7}{8} \cdot 85} = 15,05 < \bar{\tau}_b'$$

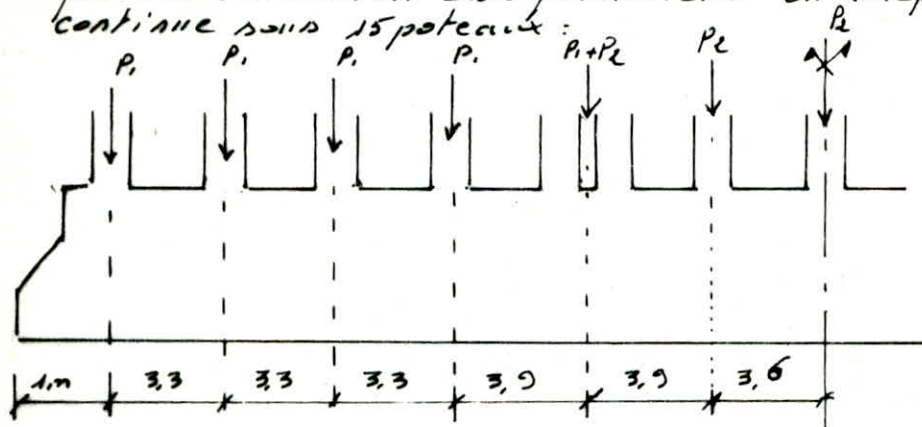
$$\text{soit 2 cadres + 2 extrémités T8 } (A_b = 4,02) \quad t = \frac{A_b \cdot g \cdot f_{et}}{\bar{\tau}} \text{ avec } f_{et} = 3009,6$$

$$\text{d'où } t = 7,88 \text{ cm} \quad \bar{f}_1 = 0,2 \cdot 85 = 17$$

$$\bar{f}_2 = (1 - 0,3 \frac{15,05}{5,9}) \cdot 85 = 19,9 \quad \text{soit } t = 10 \text{ cm}$$

Semelle sous 15 poteaux

Les autres axes étant petits maximum = 3,6 m et dans le but de faciliter l'exécution des fondations on adopte une semelle continue sous 15 poteaux :



$$P_1 + P_2 = 91,23 + 90,06 = 181,29 t$$

$$P_1 = 91,23 t$$

$$P_2 = 90,06 t$$

Predimensionnement:

$$L = 44,6 m$$

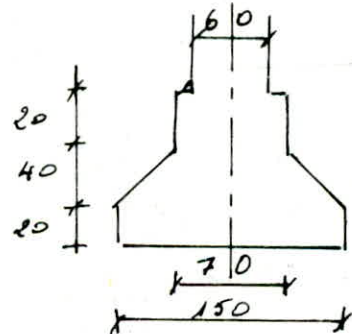
$$R = \sum P_i = 1362,6 t$$

\Rightarrow

$$B \geq \frac{R}{L \cdot \sigma_s} = \frac{1362,6 / 10^3}{44,6 / 10^2 \times 3,5 \times 10^2} = 85,5 \text{ cm}$$

on prend $B = 150 \text{ cm}$

sont N_o = poids de la semelle :



$$N_o = (0,7 \times 0,2 \times 44,6 + 150 \times 0,2 \times 44,6) 2,5 + (0,4 \times 0,4 \times 44,6) 2,5$$

$$N_o = 66,9 t$$

$$N = R + N_o = 1362,6 + 66,9 = 1429,5 t$$

$$G = \frac{N}{BL} = \frac{1429,5}{150 \times 44,6 / 10^2} = 2,14 \text{ kg/cm}^2 < G_n = 3,5$$

L_e = longueur élastique :

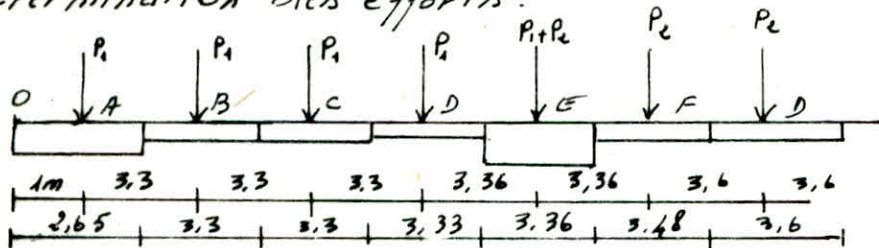
$$L_e = \sqrt{\frac{4EI}{K \cdot B}} = \sqrt{\frac{4 \times 210^5 \times 150 \times 80^3 / 12}{4 \times 150}} = 303,94 \text{ cm}$$

$$\frac{\pi}{2} L_e = \frac{\pi}{2} \cdot 303,94 = 4,77 \text{ m}$$

$l_{max} = 3,9 \text{ m} < \frac{\pi}{2} L_e \rightarrow$ donc on considère que la répartition des contraintes est linéaire :

X

Determination des efforts:



$$q_1 = \frac{91,23}{3,65} = 24,43 \text{ t/m f}$$

$$q_2 = \frac{91,23}{3,3} = 27,65 \text{ t/m f}$$

$$q_3 = \frac{91,23}{3,33} = 27,40 \text{ t/m f}$$

$$q_4 = \frac{91,23 + 90,06}{3,36} = 53,96 \text{ t/m f}$$

$$q_5 = \frac{90,06}{3,48} = 25,98 \text{ t/m f}$$

$$q_6 = \frac{90,06}{3,6} = 25,02 \text{ t/m f.}$$

dimension de la-poutre de rigidité

$$b = 70 \text{ cm}$$

$$h_f = 80 \text{ cm}$$

$$d = 4 \text{ cm.}$$

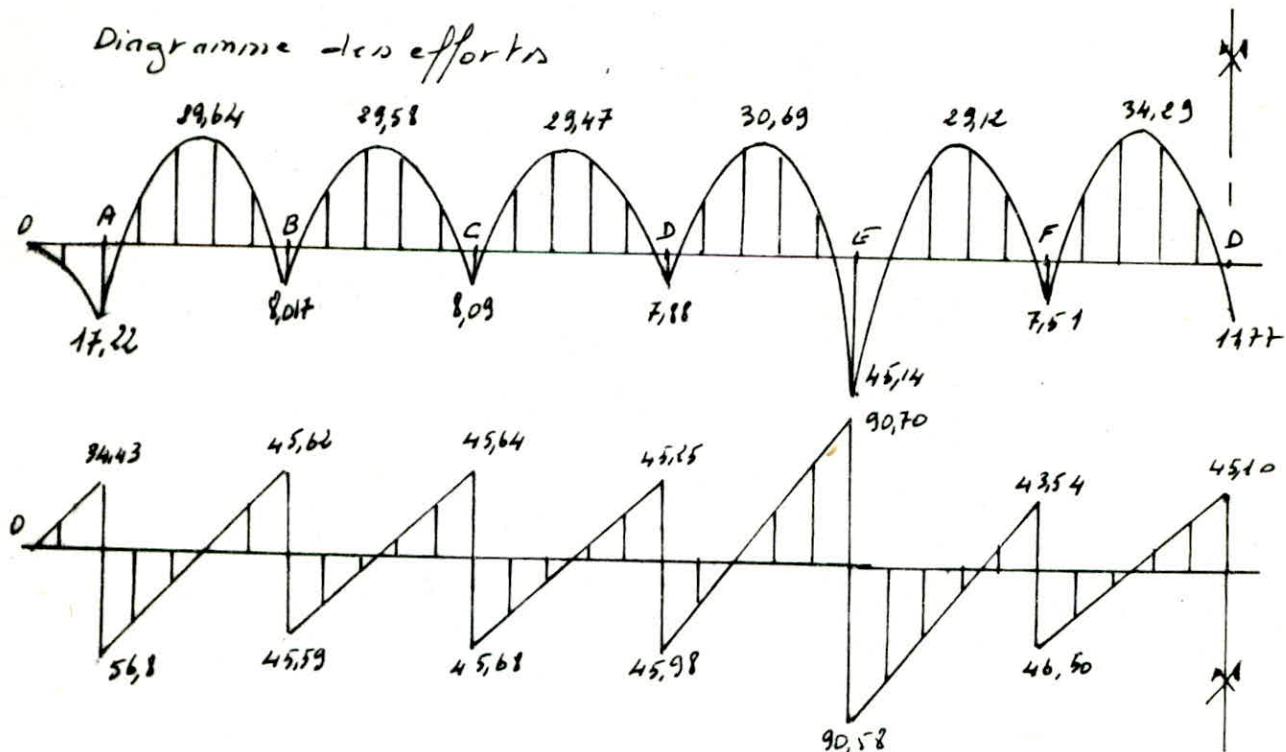
	OA $0 \leq x \leq 1$	AB $1 \leq x \leq 4,3$	BC $4,3 \leq x < 7,6$	CD $7,6 \leq x \leq 10,9$	DE $10,9 \leq x \leq 14,26$
$x (\text{m})$	0	1	4,3	7,6	10,9
$M (\text{tm})$	0	17,22	-29,64	8,017	-29,58
$T (\text{t})$	0	34,43	-56,8	0	45,10

	EF $14,26 \leq x \leq 17,62$	FD $17,62 \leq x \leq 21,22$				
$x (\text{m})$	14,26	15,94	17,62	17,62	19,40	21,22
$M (\text{tm})$	45,26	-39,18	7,51	7,51	-34,89	11,77
$T (\text{t})$	-90,58	0	43,54	-46,5	0	45,10

Armature longitudinale:

Section	γT (tm)	γ	E	K	G_b'	A_{col} cm^2	A_{aolopt}
Travée	+34,20	0,0454	0,9101	40,6	68,97	17,71	6720 $A=18,84$
appui	45,26	0,0596	0,8988	34,14	81,40	23,66	10720 $A=31,41$

Diagramme des efforts



Verifications:

conditions aux appuis:

$$A = 18,84 \text{ cm}^2 \geq \frac{1}{\frac{\pi}{6}a} \left(T_{\max} + \frac{\pi}{3} \right) = \frac{1}{2800} \left(90,710^3 - \frac{4514105}{\frac{\pi}{76}} \right)$$

$$A = 18,84 \text{ cm}^2 \geq 8,15 \text{ cm}^2$$

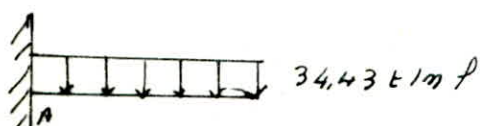
entraînement des armatures:

$$\bar{I}_{d1} = 2 \cdot t_{d1} \cdot \bar{b}_b = 2 \times 1,5 \times 5,9 = 17,7 \text{ kg/cm}^2$$

$$\tau_d = \frac{T_{\max}}{\frac{\pi}{3} P_3} = \frac{90,710^3}{10 \times \pi \times 2 \times \frac{\pi}{8} \cdot 76} = 21,76 \text{ kg/cm}^2 > 17,7 \text{ kg/cm}^2$$

donc je prendrai 14 T20 $\Rightarrow T_{d1} = \frac{90,710^3}{14 \times \pi \times 2 \times \frac{\pi}{8} \times 76} = 15,51 < 17,7 \text{ kg/cm}^2$

Armatures perpendiculaires à la poutre de rigidité:



soit $b = 100 \text{ cm}$
 $h_L = 60 \text{ cm}$
 $d = 4 \text{ cm}$

$$P_a = 34,43 \times \frac{1^2}{2} = 17,22 \text{ kN}$$

$P_a (\text{kN})$	γ	ϵ	K	\bar{b}'_{kg/cm^2}	$A_{cold} \text{ cm}^2$	A_{adapt}	e
17,22	0,0316	0,9237	50,5	55,45	1233	8T16/mf $A = 16,08$	12

contrainte de cisaillement au niveau de l'enca斯特rement.

$$\bar{I}_b = \frac{\bar{I}}{b_3} = \frac{344310^3}{100 \times \frac{7}{8} 56} = 7,03 \text{ kg/cm}^2 < \bar{T}_b = 20,65 \text{ kg/cm}^2$$

Vérification du poinçonnement:

$$\bar{\sigma}_b = \frac{1,5 Q}{P_c \cdot h_t} \leq 1,2 \bar{\sigma}_b$$

$$Q = \text{charge max des portiques} \\ = 181,2 \text{ t} \\ h_t = 80 \text{ cm}$$

$$P_c = 2(60+40+2 \times 80) = 520 \text{ cm}$$

$$P_c = 2(b_x + b_y + 2h_t)$$

$$\bar{\sigma}_b = \frac{1,5 \times 181,2 \cdot 10^3}{520 \cdot 80} = 6,54 \text{ kg/cm}^2 < 1,2 \times 5,9 = 7,08 \text{ kg/cm}^2$$

Armatures transversales:

pour le-poutre de rigidité:

$$\bar{I}_b = \frac{\bar{I}_{\text{arm}}}{b \cdot 3} = \frac{90,710^3}{70 \times \frac{7}{8} 76} = 19,48 < 20,65 \text{ kg/cm}^2$$

on choisisse Ecardres + Lettriers en T8 $A_t = 4,02 \text{ cm}^2$

$$\bar{\sigma}_{at} = f_{st} \cdot \bar{\sigma}_{en} = \frac{f}{3} \cdot 4200 = 2800 \text{ kg/cm}^2$$

$$t \leq \frac{A_t \cdot 3 \cdot \bar{\sigma}_{at}}{\bar{T}} = \frac{402 \cdot 76 \cdot \frac{7}{8} \cdot 2800}{90,710^3} = 8,25 \text{ cm}$$

on prendra $t = 8 \text{ cm}$ la longueur de le-poutre.

Verification au renversement

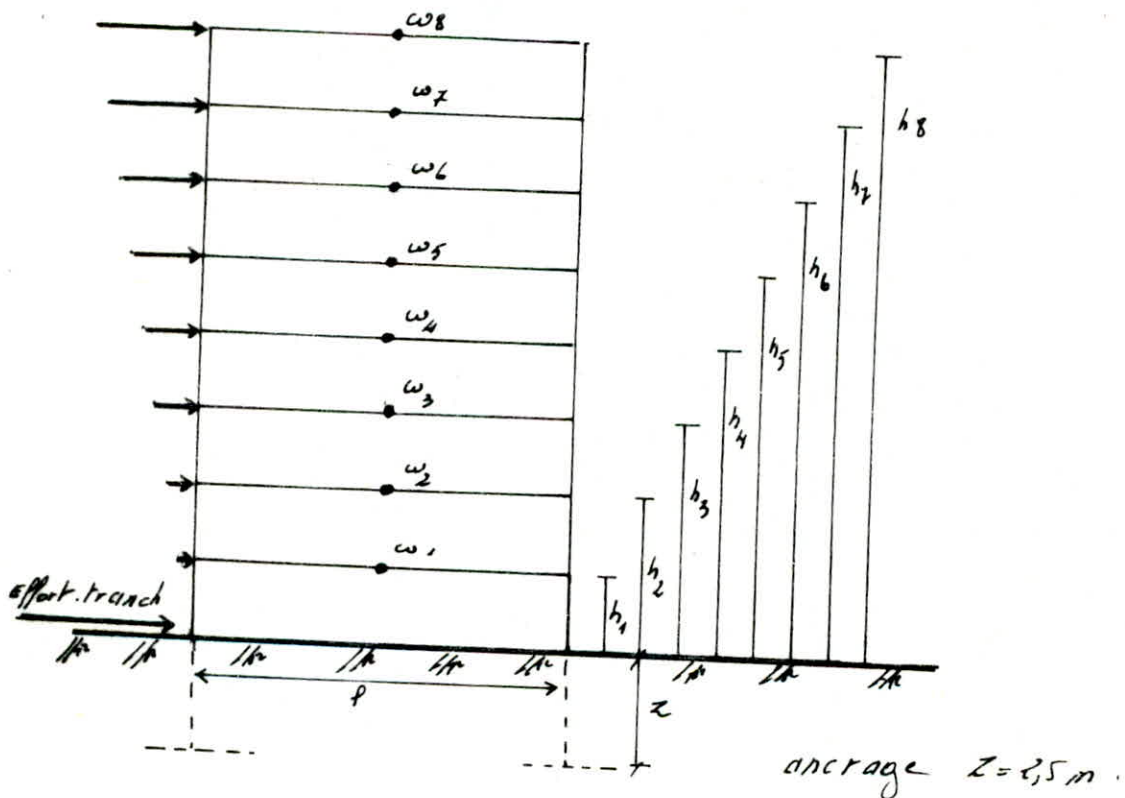
chaque structure doit être calculée afin de résister aux efforts de renversement qui peuvent être engendrés par les efforts sismiques.

le moment de renversement est défini comme suit.

$$M_{\text{renv}}^t = M_t^t \text{ est encaissé }_{(\text{RDC})} \rightarrow \text{effort tranchant}_{(\text{base})} \times z$$

pour que notre bâtiment soit stable il faut vérifier.

$$M_{\text{resist}}^t \geq 1,5 M_{\text{renv}}$$



$$M_{\text{encaissé}}^t = \sum_{i=1}^8 F_i h_i =$$

$$\text{effort tranchant à la base: } T = \sum_{i=1}^8 F_i$$

$$\text{moment résistant: } M_r = b \cdot \sum_{i=1}^8 w_i \quad b = \frac{P}{T}$$

	Sens	M_{resist}^t tm	M_{renv}^t tm	$\frac{M_{\text{resist}}}{M_{\text{renv}}}$	Vérification
BLOC A	Longitudinal	14 864,06	3517,26	4,23	Vérifiée
	Transversal	10 969,20	4071,29	2,69	Vérifiée
BLOC B	Longitudinal	12116,8	4030,8	3,01	Vérifiée
	Transversal	11159,9	4001,79	2,778	Vérifiée

Calcul des longrines

Les longrines sont placées au niveau des semelles qu'elles relient entre elles, elles doivent être calculées pour résister à la traction ou à la compression sous l'action d'une force égale à 10% de l'effort normal.

La longrine a une section 45×45 et elle est soumise à $10\% N = 10,14 \text{ t}$

$$\text{En compression: } A_L \geq \frac{1}{n} \left(\frac{N'}{\frac{E}{6a}} - B \right) = \frac{1}{15} \left(\frac{10,14 \cdot 10^3}{68,85} - 45 \times 45 \right) < 0$$

$$\text{En traction: } A_L \geq \frac{N}{\frac{E}{6a}} = \frac{10,14 \cdot 10^3}{68,85} = 3,62 \text{ cm}^2$$

Condition de non fragilité:

$$A \geq 0,69 b h \frac{\overline{6b}}{6en} \cdot 0,69 \times 45 \times 40 \frac{5,9}{4800} = 1,75 \text{ cm}^2 \text{ vérifiée}$$

on prend: $4T14 \quad A = 6,16 \text{ cm}^2$
pour les armatures transversales on prend des canots $\phi 8$ avec $t = 20 \text{ cm}$

Calcul du voile périphérique

D'après le règlement préconisé par le CTC. dans le RDC on dispose des murs périphériques en B.A qui ceinturent le bâtiment, ces murs reprennent les efforts du séisme au niveau du RDC et assurent une grande stabilité à l'ensemble du bâtiment. La hauteur du voile doit être telle que:

$$h \geq \max \left(\frac{1}{10} H, 0,8 \text{ m} \right) \text{ RPA 81 3.3.8.5} \quad \rightarrow h = 3,8 \text{ m.} \\ e = 30 \text{ cm (épaisseur)}$$

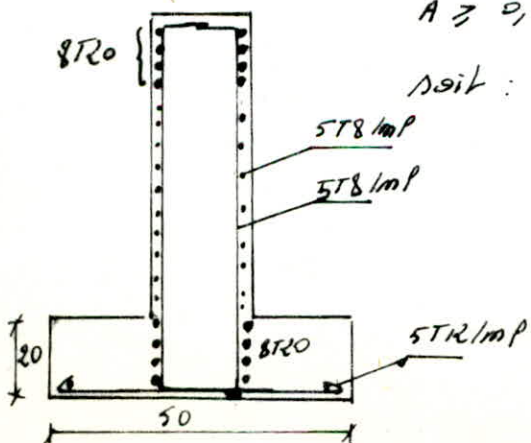
Ferrailage:

Armature longitudinale filante surp et inf:

$$A \geq 0,20\% S_t \quad S_t = h \cdot e \text{ (section transversale)}$$

$$A \geq 0,002 \cdot 380 \cdot 30 = 19,2 \text{ cm}^2$$

soit: $8T20$.



Armature longitudinale de hauteur de section $\geq 2 \text{ cm}$ par face et par ml. de hauteur
soit 5T12

